
Conventazzo (Torrenova/ME): Archäologie und Geschichte (FWF-Projekt P 14997)

Bericht über die Aktivitäten 2001–2003

VORGELEGT VON EWALD KISLINGER (PROJEKTLEITER) – SUSANNE METAXAS – IRIS OTT
MIT WEITEREN BEITRÄGEN VON CHRISTIAN ANSORGE – WOLFGANG NEUBAUER
BARBARA MENCARELLI – PHILIP NIGST – GABRIELE SCHARRER-LIŠKA – SIRRI SEREN

Einleitung (101–105) – 1. Die historisch-archäologischen Gegebenheiten, 1.1. Der mittelalterliche Val-Demone-Raum und sein Griechentum, 1.2. Zur byzantinischen Archäologie Siziliens (105–118) – 2. Die Grabungskampagnen I (2002) und II (2003) beim Conventazzo-Oktogon, 2.1. Die Georadar-Prospektion im Herbst 2001, 2.2. Zielsetzungen und methodische Vorgangsweise der Grabung, 2.3. Beschreibung der einzelnen Schnitte, 2.4. Funde (inkl. Münzen, Freskenfragmente), 2.5. Ergebnisse (118–142) – 3. Das Conventazzo-Oktogon – Baubeschreibung und Abfolge der Bauphasen, 3.1. Bauaufnahme, 3.2. Bauanalyse, 3.3. Kulturhistorische Interpretation (142–157) – Anhang (Methodische Grundlagen des Georadars, Dreidimensionales Geländemodell, Digitale Befunddokumentation) (157–166) – Abkürzungsverzeichnis (166–169) – Verzeichnis der Textabbildungen und Tafeln (169–170) – Chronik und MitarbeiterInnen der Grabungskampagnen (170–171).

Am 22. Februar 1549 vollendete Theophylaktos Kontostablynas, ein Mönch aus Rhodos, ein griechisches Meßbuch, welches er im Auftrag des Petros und Paulos Klosters nahe San Marco (d'Alunzio) in Nordostsizilien dort eigenhändig zusammengestellt hatte. Das Werk, der heutige Codex Vaticanus gr. 2032, bildet eines der spätesten Zeugnisse der insularen Gräzität¹, die im 16. Jahrhundert ihrem Ende zuzuging, nachdem sie ihre Anfänge im achten vorchristlichen Jahrhundert mit den ersten Kolonien an der Ostküste (Taormina, Syrakus, Lentini, Zankle/Messina) genommen hatte². Im Vergleich zur Geschichte der antiken Poleiswelt des süditalienischen Großgriechenland und der insularen Mischkultur im *imperium romanum*³ harrt die mittelalterliche Folgezeit des sizilianischen Griechentums noch einer eingehenden Erforschung. Dies gilt sowohl für die Epoche seiner eigenen Herrschaft als Teil des oströmisch-byzantinischen Kaiserreiches (6.–9./10. Jahrhundert)⁴ als auch

¹ KISLINGER, Tarda testimonianza 116–118.

² (In knapper Auswahl) Thomas J. DUNBABIN, *The Western Greeks. The History of Sicily and South Italy from the Foundation of the Greek Colonies to 480 BC*. Oxford 1948; Jacques BÉRARD, *La colonisation grecque dell'Italie méridionale et de la Sicilie dans l'antiquité*. Paris 1957; *Bibliografia topografica della colonizzazione greca in Italia e nelle isole tirreniche, I–XVI*, diretta da Giuseppe NENCI (†) e Georges VALLET (†). Pisa–Roma–Napoli 1977–2001; Giuseppe PUGLIESE CARRATELLI, *Megale Hellas*. Milano 1983.

³ *S. pars pro toto* die Beiträge im Sammelband *Aufstieg und Niedergang der römischen Welt (ANRW)*. Teil II: Principat, Band 11, 1. Teilband: Sizilien und Sardinien. Hrsg. von Hildegard Temporini. Berlin – New York 1988; WILSON, *Sicily*; Giacomo MANGANO, *Greco nei pagi e latino nelle città della Sicilia "romana" tra I e VI sec. d. C.* In: *L'epigrafia del villaggio (Epigrafia e antichità 12)*. Faenza 1992, 543–594; Irma BITTO, *Latino e greco nella Sicilia imperiale e tardo-antica: processi di acculturazione e loro incidenza*, in: *Magna Grecia e Sicilia. Stato degli studi e prospettive di ricerca. Atti dell'incontro di studi, Messina 1996*. A cura di M. Barra Bagnasco, E. De Miro, A. Pinzone. Messina 1998, 483–493.

⁴ PACE, *Barbari e Bizantini*; GUILLOU, *Sicile*; CRACCO-RUGGINI, *Sicilia*; BURGARELLA, *Bisanzio in Sicilia*; RAVEGNANI, *Bizantini*; TALBI 380–536; Silvano BORSARI, *L'amministrazione del tema di Sicilia*. *Rivista storica italiana* 66 (1954) 133–151; Ewald KISLINGER – Gerhard WIRTH – Pasquale CORSI, *Sizilien/Spätantike, Byzantinische Herrschaft*. *Lexikon des Mittelalters* VII 1950–1954 (mit weiterführender Literatur).

hinsichtlich der anschließenden Saecula ethnischer Existenz⁵ unter Arabern, Normannen, Staufern, französischen Anjou und Spaniern. Derartige Studien leiden an der unzureichenden Dichte schriftlicher Zeugnisse. Ihre Zahl wurde durch die provinzielle Lage fernab des konstantinopolitanischen Kaiserhofes, späterhin die lateinische Dominanz der Machthaber und natürlich die auch hier auftretenden Quellenverluste stark eingeschränkt. Es bedarf deshalb komplementärer Informationen aus dem Bereich der erhaltenen Baumonumente⁶ (samt deren künstlerischer Gestaltung⁷) und der Sachgüter⁸, die zum

⁵ Alberto VARVARO, *Lingua e storia in Sicilia (Dalle guerre puniche alla conquista normanna)*. Palermo 1981; VON FALKENHAUSEN, *Presenza dei greci*; DIES., *Il popolamento: etnie, fedi, insediamenti*, in: *Terra e uomini nel Mezzogiorno normanno-svevo (Centro di studi normanni-svevi. Atti 7)*. Bari 1987, 39–73; Francesco GIUNTA, *Bizantini e bizantinismi nella Sicilia normanna*. Palermo 1974; Illuminato PERI, *Uomini, città e campagne in Sicilia dall'XI al XIII secolo*. Roma-Bari 1990; Benito SPANO, *La grecità bizantina e i suoi riflessi geografici nell'Italia meridionale e insulare*. Pisa 1965; SCADUTO, *Monachesimo*; DISTILO-JACOB, *Omelia*; KISLINGER, *Monumenti 23–24*; Gerhard ROHLFS, *Historische Sprachschichten im modernen Sizilien (Bayer. Akad. Wiss., phil.-hist. Kl., Sitzungsberichte 1975/3)*. München 1975.

⁶ ORSI; PACE, *Barbari e Bizantini*; BONACASA CARRA, *Archeologia cristiana*; FILANGERI, *Monasteri*; Giuseppe AGNELLO, *I monumenti bizantini della Sicilia*. Firenze 1951; MAURICI, *Castelli*; DERS., *Sicilia bizantina. Gli insediamenti del Palermitano. Archivio Storico Siciliano, ser. IV 20 (1994) 27–93*; DERS., *Medioevo trapanese. Gli insediamenti nel territorio della provincia di Trapani dal tardo antico alle soglie dell'età moderna*. Palermo 2002; Giuseppe BELLAFFIORE, *Architettura in Sicilia nelle età islamica e normanna (827–1194)*. Palermo 1990; Giuseppe DI STEFANO – Wolfgang KRÖNIG, *Monumenti della Sicilia normanna*. Palermo ²1979; Salvatore FAZIO – Sabrina GUAZZOTTI, *Progetto territoriale e processo tipologico delle strutture religiose di periodo normanno in Valdemone (Sicilia nord-orientale)*, in: *Sicilia cristiana e Sicilia musulmana da San Basilio a San Benedetto attraverso l'islam. Atti a cura di S. Fazio – S. Guazzotti (Basilica Santo Stefano. I quaderni dell'abbazia 2, 1997)*. Bologna 1997/1998, 27–82. Vgl. WILSON, *Sicily*; BEJOR, *Insedimenti*; Federico e la Sicilia. *Dalla terra alla corona. Archeologia e architettura*. A cura di C. Angela di Stefano – A. Cadei. Palermo 1995.

⁷ Aldo MESSINA, *Le chiese rupestri del Siracusano*. Palermo 1979; DERS., *Le chiese rupestri del Val di Noto*. Palermo 1994; DERS., *Le chiese rupestri del Val Demone e del Val di Mazara*. Palermo 2000; Otto DEMUS, *The Mosaics of Norman Sicily*. London 1950; Ernest KITZINGER, *I mosaici del periodo normanno in Sicilia, I–V*. Palermo 1992–1996; DERS., *I mosaici di Santa Maria dell'Ammiraglio a Palermo*. Washington, D. C. – Palermo 1990; Marina FALLA CASTELFRANCHI, *I modelli culturali di Ruggero I con particolare riferimento alla decorazione pittorica del monastero italo-greco di S. Filippo di Fragalà*, in: *Ruggero I, Serlone e l'insediamento normanno in Sicilia*, a cura di I. Giannetto – M. Ragusa – S. Tramontana. Troina 2001, 153–177.

⁸ Giuseppe AGNELLO, *Le arti figurative nella Sicilia bizantina*. Palermo 1962; Raffaella FARIOLI CAMPANATI, *La cultura artistica nelle regioni bizantine d'Italia dal VI al XI secolo*, in: *I Bizantini in Italia*. Milano 1982, 137–426. DANNHEIMER, *Grabfunde*; RIEMER, *Grabfunde 435–465*; PATTUCCI-UGGERI, *Ceramica* (vgl. SAGUI, *Ceramica*); Salvina FIORILLA, *Le ceramiche medievali dai pozzi di Piazza S. Giacomo (Monumenti di Sicilia. Val di Noto 1)*. Messina 1996; Ferdinando MAURICI, *Nuovi orecchini a cestello dalla Sicilia (Marineo, PA)*. *Jahrbuch der österreichischen Byzantinistik* 48 (1998) 293–302; Giacomo MANGANARO, *Documenti di devozione della Sicilia bizantina. Cassiodorus 1 (1995) 51–77*; DERS., *Arredo personale del Bizantino in Sicilia (fibbie, spille, anelli)*, in: *Congresso Sicilia Bizantina 475–511*; Claudia PERASSI, *Pesi monetali bizantini in vetro dal territorio siciliano, ebendort 439–474*; Vitalien LAURENT, *Une source peu étudiée de l'histoire de la Sicile au haut moyen age: la sigillographie byzantine*, in: *Byzantino-Sicula (I)*. Palermo 1966, 22–50; Ewald KISLINGER – Werner SEIBT, *Sigilli bizantini di Sicilia. Addenda e corrigenda a pubblicazioni recenti. Archivio Storico Messinese 75 (1998) 5–33*; NICHANIAN – PRIGENT, *stratèges*; Giuseppe GUZZETTA, *La circolazione monetaria in Sicilia dal IV al VII secolo. Bolletino di numismatica 25 (1995, ersch. 1998) 7–30*; Aldina TUSA CUTRONI, *Monetazione e circolazione monetaria nella Sicilia bizantina*, in: *Congresso Sicilia Bizantina 413–437*. Vgl. Franco D'ANGELO (Hrsg.), *Aspetti*

Teil in Archiven, Sammlungen und Museen bewahrt werden, zum Teil erst archäologisch neu zu heben sind, was bislang nur sporadisch geschah⁹.

Der letzte Überrest des eingangs erwähnten Klosters, ein außen oktogonaler, innen runder, mit Nischen versehener Bau mit dem sprechenden Namen Conventazzo (verlassener Konvent)¹⁰ in der heutigen Gemeinde Torrenova (rund 120 km westlich Messina an der tyrrhenischen Küste), sein unmittelbares Umfeld und das Umland boten ausgezeichnete Voraussetzungen, um eine derartige Forschungssynthese paradigmatisch anhand eines Kleinraumes in einem mehrjährigen Projekt erfolgreich zu realisieren. Schriftliche Dokumente vom 12. Jahrhundert an und Oberflächenfunde ließen vorab schon eine örtliche Siedlungskontinuität in der Flur Santo Pietro über ein Jahrtausend von der Spätantike bis in die frühe Neuzeit erkennen. Für ein detailliertes Bild bedurfte es archäologischer Studien vor Ort, wozu dem Projektträger per 19. Jänner 2000 eine fünfjährige Grabungskonzession der zuständigen Soprintendenza von Messina für das Conventazzo-Umfeld vom 300 Radialmetern (parcella 261 FMC 15 Torrenova) erteilt wurde. Das darin situierte Kloster lag einem Lokalzentrums nahe, dem schon erwähnten San Marco d'Alunzio (auf einem Bergkegel oberhalb von Santo Pietro di Deca), welchem sowohl in byzantinischer als auch arabischer und frühnormannischer Zeit zeitweilig gesteigerte Bedeutung aus militärischen, politischen und ökonomischen Gründen zukam; sein Territorium – begrenzt vom Meer, den Flüssen Fitalia/Zapulla und Rosmarino östlich bzw. westlich und landeinwärts der Nebrodi-Bergkette – bildet den erweiterten Rahmen des Projektes.

Der Klosterbereich von Santo Pietro/Conventazzo in seiner zugleich religiösen und wirtschaftlichen Funktion ist, eingebettet in diese sowohl geographisch-siedlungsmäßige als politisch-kulturelle Gebietseinheit, der sie angehörte, zu analysieren. Dem bewährten Konzept der Tabula Imperii Byzantini für historische Topographie¹¹ folgend, sind die Monumente (Kirchen, Befestigungen, einstige Siedlungsplätze) und Verkehrsverbindungen zu erfassen, in

della vita materiale in epoca normanna in Sicilia. Palermo 1984; Federico e la Sicilia. Dalla terra alla corona. Arti figurative e arti suntuarie. A cura di M. Andaloro. Palermo 1995.

⁹ S. dazu hier den Abschnitt 1.2. Zur byzantinischen Archäologie Siziliens.

¹⁰ Zum Bauwerk s. Antonio SALINAS, Escursione archeologica a S. Marco, S. Fratello, Patti e Tindari, in: Notizie degli scavi di antichità, comunicato dal socio G. Fiorelli. *Atti della R. Accademia dei Lincei, anno CCLXXVII (1879/80), terza serie, Memoria V454–455* (Reprint in DERS., *Scritti scelti*. Palermo 1976, I 302–304); Domenico RYLOLO, Contributi alla conoscenza delle architetture paleocristinane (*sic!*) e araba in Sicilia. *Bollettino del Centro di Studi per la Storia dell'Architettura* 24 (1976) 31–41, hier 34–36; Giuseppe UGGERI, La Sicilia nella "Tabula Peutingeriana". *Vichiana* 6/2 (1969) 30/146; FILANGERI, *Monasteri* 55–61; DERS., *agora* 31; KISLINGER, *Moneta* 293–294; DERS., *Monumenti* 7–8; Vittorio GIUSTOLISI, *Alla ricerca di Lipari bizantina*, I. Palermo 2001, 105–107 und rezent Salvatore GIGLIO, *Sicilia bizantina. L'architettura religiosa in Sicilia dalla tarda antichità all'anno mille*. Acireale-Rom 2003, 201–206.

¹¹ Johannes KODER, Perspektiven der Tabula Imperii Byzantini. Zu Planung, Inhalt und Methode. *Geographia Antiqua* 5 (1996) 75–86; DERS., Byzanz als Raum. Zum Symposium der Tabula Imperii Byzantini, in: Byzanz als Raum. Zu Methoden und Inhalten der historischen Geographie des östlichen Mittelmeerraumes, hrsg. von K. Belke et alii (*Österr. Akad. Wiss., phil.-hist. Kl., Denkschriften* 283 = *Veröffentl. der Komm. für die Tabula Imperii Byzantini* 7). Wien 2000, 15–19; Klaus BELKE, Tabula Imperii Byzantini. Un progetto di topografia storica e le sue prospettive per la Sicilia, in: *Congresso Sicilia Bizantina* 73–87. Eine Bearbeitung des byzantinischen Sizilien ist Teil des mittelfristigen Gesamtkonzeptes der Kommission für die Tabula Imperii Byzantini der Österreichischen Akademie der Wissenschaften.

Bezug zu setzen zum schriftlichen Material speziell aus normannischer Zeit¹², ergänzt um historische Toponyme¹³. Letztlich soll dies alles mit der eigentlichen Grabung als Kern ein Gesamtbild ergeben¹⁴, das über den Einzelfall hinaus Aussagekraft für ähnliche Strukturen andernorts hat.

Der zeitliche und inhaltlich ausgedehnte Forschungsansatz, welcher einem griechisch dominierten Kleinraum unter mehreren Herrschaftssystemen und beeinflussenden Kulturen gilt, ließ es bereits vom Beginn an ratsam erscheinen, auf die zu erwartenden Problem- und Fundbreite vorbereitet zu sein. Neben den leitenden und koordinierenden Byzantinisten waren daher stets Vertreter der Klassischen und Mittelalter-Archäologie, Mediävisten, Kunsthistoriker und historische Bauforscher im Team präsent, für Fresken(konservierung), Keramikfunde und geologische Fragen werden ergänzend Spezialisten herangezogen.

Grundsätzlich will und hat das Conventazzo-Projekt (geleitet von E. Kisinger, in Zusammenarbeit mit F. Daim/RGZM Mainz und H. Buschhausen, finanziert vom FWF als P 14997) Neuland in zweierlei Hinsicht betreten:

Die archäologische Grabung (Leitung I. Ott) selbst (bislang wurden zwei vier- bzw. fünfwöchige Kampagnen durchgeführt¹⁵) zum einen ist das erste derartige Vorhaben hinsichtlich eines byzantinisch-basilianischen Klosters auf Sizilien, ganz abgesehen davon, daß byzantinische Kontexte auch anderswo auf Sizilien bislang, wie bereits angesprochen, nur peripher erforscht wurden. Hier nun sind einschlägige Erfahrungen zu sammeln und Impulse zu setzen.

Zum anderen wurden, hoffentlich beispielgebend für weitere Vorhaben, neue bis neueste technisch-naturwissenschaftliche Verfahren bei den Projektarbeiten herangezogen, sind sie doch zeitsparend und gewährleisten eine bessere und raschere Dokumentation und Auswertung (etwa vielseitige Abfrage) des gewonnenen Materials. Diesbezüglich seien besonders die einleitende

¹² Dies sind vor allem die griechischen und lateinischen Urkundenbestände des Klosters S. Filippo di Fragalà (rund 5 km Luftlinie östlich San Marco), edd. CUSA, *Diplomi greci 383–468* bzw. Giuseppe SILVESTRI, *Tabulario di S. Filippo di Fragalà e Santa Maria di Maniaci, parte prima: pergamene latine (Documenti per servire alla storia di Sicilia, prima serie: diplomatica XI)*. Palermo 1887. S. weiters VON FALKENHAUSEN, *Testamente; Visitationsberichte des 14. Jahrhunderts in Raffaele CANTARELLA, Codex Messanensis graecus 105 (Memorie e documenti di storia siciliana II 2)*. Palermo 1937 (Reprint Palermo 1985).

¹³ Allg. Girolamo CARACAUSI, *Dizionario onomastico della Sicilia, I-II. (Lessici siciliani 7–8)*. Palermo 1990. Auf das zu untersuchende Gebiet bezogen s. Salvatore FRANCHINA, *Dalle vicende della Sicilia nord orientale a quelle di Tortorici. Appunti per una storia critica*. Messina 1996; Vincenzo SARDO INFIRRI, *Vagando per il Valdemone. Toponimi, tradizioni, scomparse geografie*. Capo d'Orlando 1994.

¹⁴ Vgl. (für andere Regionen und Epochen) Alessandra MOLINARI, *Segesta II. Il castello e la moschea (scavi 1989–1995)*. Palermo 1997; DIES., *Insediamiento rurale e fortificazioni nella Sicilia occidentale in età bizantina*, in: *Congresso Sicilia Bizantina 323–353*. Jean-Marie PESEZ, Brucato. *Histoire et archéologie d'un habitat médiéval en Sicile, I–II*. Roma 1984. Zu Entella und seinem Umland s. die Grabungsberichte in *Annali della Scuola Normale di Pisa, ser. III* 16 (1986) – 29 (1999). Vittorio GIUSTOLISI, *Vulcano. Introduzione alla storia e all'archeologia dell'antica Hiera*. Palermo 1995; DERS., *Atlante delle antiche strutture rupestri dell'isola di Vulcano, I–II*. Palermo 1966. Antonino DI VITA, *Archeologia ed identificazione di un antico centro nella Sicilia Orientale. Archivio Storico per la Sicilia Orientale* 47 (1951) 35–82. Maria Costanza LENTINI (Hrsg.), *Naxos di Sicilia in età romana e bizantina ed evidenze dai Peloritani*. Bari 2001. Zum benachbarten Kalabrien s. Adele COSCARELLA, *Insediamenti bizantini in Calabria. Il caso di Rossano*. Cosenza 1996.

¹⁵ Zu den Daten und jeweiligen Teilnehmern s. unten 170–171.

Geo-Radar-Prospektion von Herbst 2001 (dazu unter 2.1.) und die bevorstehende Einbindung der gesamten schriftlich/bildlichen Grabungsdokumentation in ein Geoinformationssystem („ArcView“ GIS) erwähnt (Näheres dazu im Anhang).

In diesem Zwischenbericht¹⁶, auf den nach zwei weiteren Kampagnen und begleitenden Studien zum Umland eine umfassende Abschlußpublikation im Rahmen der „Veröffentlichungen der Kommission für die Tabula Imperii Byzantini (VTIB)“ folgen wird, gilt es, drei Aufgabenbereiche des Projektes in ihren bisherigen Resultaten übersichtsartig zu präsentieren: Die eigentliche Grabung im Klosterbereich von Santo Pietro di Deca, die Bauaufnahme und Baugeschichte des ihm zugehörigen, von seinen Anfängen her wohl älteren Oktogons und einleitend den Wissensstand über den Kleinraum – die *chora* von San Marco d’Alunzio (späteres Val-Demone Kerngebiet) –, dessen Entwicklung der monastische Komplex im geschichtlichen Verlauf interaktiv teilte.

E. Kislinger

1. Die historisch-archäologischen Gegebenheiten

In Epochen oder Regionen, deren Vergangenheit schriftliche Quellen unzureichend erhellen, ist die Archäologie besonders gefordert, die bestehenden Lücken partiell zumindest zu füllen, weil ja die materielle Evidenz längerfristige Trends gleich abrupten Einschnitten des Ganges der Geschichte widerspiegelt. Derartige Entwicklungen bis Fakten aus dem archäologischen Befund interpretativ gewinnen zu können, setzt aber zweierlei voraus,

- a) quasi spiegelbildlich komplementär das erzielbare Wissen um die historischen Vorgänge im Studienfeld, soweit selbige eben auch nur rudimentär aus dem sonstigen Quellenbestand abzulesen bis abzuleiten sind
- b) eine möglichst breite Vergleichsbasis von (wissenschaftlich aufgearbeiteten) ähnlichen bis analogen Fundkontexten zwecks Optimierung der eigenen Analyse.

In diesem Sinne sei der jeweilige Erkenntnisstand in knapper Form den Darlegungen zu den Ausgrabungen und sonstigen Projektaktivitäten rund um den und am Conventazzo vorangestellt.

1.1. DER MITTELALTERLICHE VAL-DEMONE-RAUM UND SEIN GRIECHENTUM

Agathyrnon, Alontion und Apollonia hießen die drei Hauptorte, welche in der griechisch-römischen Antike die nähere und weitere Umgebung des späteren Conventazzo dominierten¹⁷. Die Lokalisierung kann als weitestgehend gesichert gelten: Alontion ist dem heutigen San Marco gleichzusetzen¹⁸, dessen da-

¹⁶ Vgl. bereits Ewald KISLINGER, Byzantinisch-mittelalterliche Archäologie am Beispiel des „Conventazzo“ (Torrenova/Italien) (FWF-Projekt P 14997). *Historicum. Zeitschrift für Geschichte*. Winter 2001/2002, 38–39; DERS., Il Conventazzo (Torrenova) – 1500 anni di storia siciliana, in: Torrenova. Un territorio da conoscere e salvare. Palermo 2003, 47–60.

¹⁷ MANNI, *Geografia fisica* 138–139, 141–142, 145; Barrington Atlas of the Greek and Roman World. Map by Map directory, I–II. Ed. R. J. A. Talbert. Princeton-Oxford 2000, 712, 715; Ignazio CONCORDIA, *La Sicilia antica nelle fonti letterarie*, I: Gli abitanti e il territorio. Alcamo 1998.

¹⁸ WILSON, *Sicily 149–150*; Giacomo SCIBONA, Halontion, in: *The Princeton Encyclopedia of Classical Sites*, ed. R. Stilwell. Princeton, N. J. 1976, 376–377; KISLINGER, *Monumenti* 2.

mals zugehöriges Gebiet (*chora*) dem der Untersuchung entspricht; Agathyrnon lag östlich davon bei Capo d'Orlando/San Gregorio¹⁹, wogegen Apollonia gleich San Fratello die westliche Begrenzung bildete²⁰. Allesamt waren in der gesamten griechisch-römischen Antike bloß von lokaler Bedeutung, was nicht zuletzt in den landschaftlichen Voraussetzungen begründet lag. Der fruchtbare, aber schmale Küstenstreifen und die dahinter steil aufsteigenden Nebrodi-Bergkämme boten ein unzureichendes Hinterland, um eine demographisch-wirtschaftliche Expansion und damit zunehmende Bedeutung wie bei anderen Städtegründungen im sizilianischen Osten zu ermöglichen. Die Einfälle der Vandalen von Nordafrika aus, mit denen um die Mitte des 5. Jahrhunderts eine lange friedvolle Periode Siziliens inmitten des Römischen Reiches endete²¹, betrafen den Nordosten der Insel kaum, gleichwohl verlieren sich die Spuren aller drei Siedlungen in den schriftlichen Quellen. Einzig Alontion (lateinisch Haluntium) begegnet einem noch bei Stephanos von Byzanz (6. Jahrhundert), die Erwähnung dort basiert allerdings auf einer zwar sinnvollen, aber doch den überlieferten Text korrigierenden Korrektur des Editors²². Das sonstige Schweigen über die Zone sollte keineswegs als Indiz einer Entvölkerung gedeutet werden. Im Gegenteil weisen die römischen Villen von Bagnoli und Patti²³ (gleich weiteren Beispielen in anderen Inselteilen²⁴) sogar auf ein wachsendes Volumen agrarischer Produktion hin, das wiederum in der erneuten Rolle Siziliens als Getreidelieferant für Rom begründet lag. Die bisherigen Lieferungen aus Ägypten beanspruchte ab dem 4./5. Jahrhundert zunehmend das neue Rom am Bosporus, die Hauptstadt Konstantinopel²⁵, Nordafrika war unter vandalischer Herrschaft ein unzuverlässiger Ersatz.

Die bedeutsame Rolle Siziliens für die Versorgung des italischen Raumes dauerte fort. Unter Theoderich und seinen Goten galt die Insel als *nutrix Getarum* und genoss im Gegenzug weitgehende Autonomie²⁶. Als das oströmisch-byzantinische Reich unter Justinian nach Westen ausgriff, eroberte es 535 rasch Sizilien²⁷. Im darauffolgenden Kampf bis 552 mit den Ostgoten um den Besitz von Italien fungierte Sizilien abermals als Getreideversorger nun der byzantinisch gewordenen Gebiete und sichere Etappe der kaiserlichen Truppen²⁸. Um diese Basis des Gegners zu schädigen, verheerten ostgotische Scha-

¹⁹ Giacomo SCIBONA, Capo d'Orlando, in: *Bibliografia topografica della colonizzazione greca in Italia e nelle isole tirreniche*, IV, diretta da Giuseppe Nenci e Georges Vallet. Pisa-Roma 1985, 425–428; BEJOR, *Insedimenti* 493.

²⁰ KISLINGER, *Regionalgeschichte* 158, 160; WILSON, *Sicily* 378, Anm. 19.

²¹ Francesco GIUNTA, *Genserico e la Sicilia*. Palermo 1958; KISLINGER, *Vandalen* 33–42; Pascasio di Lilibeo e il suo tempo a 1550 anni dal Concilio di Calcedonia, a cura di Mariano Crociata e Maria Grazia Griffo. Caltanissetta–Roma 2002. Allg. Christian COURTOIS, *Les Vandales et l'Afrique*. Paris 1955 (Reprint Aalen 1964).

²² Stephan von Byzanz, *Ethnika* 106 (Meineke). BIANCO, *Monete* 158–159 mit Anm. 8.

²³ Vgl. 1.2. Zur byzantinischen Archäologie Siziliens, 116–117 mit Anm. 110 bzw. 124.

²⁴ WILSON, *Sicily* 195–196, 203, 204–206, 218–223, 334–336.

²⁵ Jean DURLIAT, *De la ville antique à la ville byzantine. Le problème des subsistances*. Rome 1990; Peter HERZ, *Studien zur Römischen Wirtschaftsgesetzgebung. Die Lebensmittelversorgung (Historia. Einzelschriften 55)*. Stuttgart 1988.

²⁶ Jordanes, *Getica*, cap. 60 (137 Mommsen). KISLINGER, *Vandalen* 44–45.

²⁷ Walter E. KAEGI, *The Capability of the Byzantine Army for Military Operations in Italy*, in: *Teodorico e i Goti tra Oriente e Occidente*, a cura di Antonio Carile. Ravenna 1995, 79–99; Bruno LAVAGNINI, *Belisario in Italia. Storia di un anno (535–5369. Atti dell'Accademia di Scienze, Lettere e Arti di Palermo, ser. IV 8/2 (1947, ersch. 1948) I–L, 1–70 (Reprint in DERS., *Scritti di storia sulla Grecia antica, bizantina e moderna*, a cura di Renata Lavagnini. Caltanissetta 1997).*

²⁸ *Quellenbelege* in KISLINGER, *Vandalen* 50, Anm. 140–142.

ren 550/551 das offene Land²⁹. Zweifellos ergab das bevölkerungsmäßig beträchtliche Verluste, wozu noch die vielen Opfer der ab 541 in immer wiederkehrenden Wellen grassierenden Pest kamen³⁰.

Sizilien verblieb dennoch im mediterranen Vergleich weiterhin eine Insel der Seligen, zu der im siebenten Jahrhundert viele Flüchtlinge aus anderen Regionen strebten, auf der Flucht vor Arabern, Awaren und Slawen oder Langobarden³¹. Ein punktuelles Zeugnis dieses vielseitigen Zustroms bewahrt die sogenannte Chronik von Monembasia, welche über die frühmittelalterliche Entwicklung auf der Peloponnes³² berichtet. Vor mordbefleckten (*miaiphonous*) Eindringlingen fliehend „verließen damals auch die Lakonier (scil. Einwohner des Raumes von Sparta) den väterlichen Boden. Ein Teil von ihnen segelte weg zur Insel Sizilien und befindet sich bis jetzt auf ihr, an einem Ort Demenna. Sie werden Dementai anstatt Lakedaimonitai genannt und bewahren die den Lakoniern eigene Mundart“³³. Die zitierte Quelle wurde im frühen 10. Jahrhundert niedergeschrieben³⁴, die Aussage „bis jetzt“ (*eis eti*) zeigt eine zeitgenössische Situation an, welche seit rund dreihundert Jahren bestand. In der Chronik selbst wird die Lage von Demenna nicht präzisiert, wir verfügen jedoch aus dem 10. bis 12. Jahrhundert über unabhängige Textzeugnisse auf Griechisch, Arabisch und Hebräisch, deren Kombination eine solche Identifizierung gestattet³⁵. Die Siedlung auf hochaufragendem Berg unweit des Meeres, bekannt für ihre Seidenproduktion³⁶ ist am Platz des antiken Alontion/Haluntium entstanden. Offen bleibt lediglich, ob die Benennung der Neuankömmlinge den alten Namen verdrängte (dies wäre, wie noch zu zeigen sein wird, kein Einzelfall) oder eine wirkliche Neugründung an einem verlassenen Ort stattfand.

Eine byzantinische Präsenz ebendort bestätigen – dies vorerst ohne systematische Ausgrabungen – komplementär Funde aus dem neunten Jahrhundert, und zwar Münzen des Basileios I. (reg. 867–886) und seines Sohnes und Nachfolgers Leon VI. (reg. 886–912)³⁷. Eine weitere Goldmünze, diesmal

²⁹ Prokop, *Bellum gothicum* II 39, 2–4, III 40, 18–19.29, IV 24, 1–3 (II 471, 479, 481, 616 Haury – Wirth).

³⁰ Dionysios Ch. STATHAKOPOULOS, *Famine and Pestilence in the late Roman and Early Byzantine Empire. A Systematic Survey of Subsistence Crises and Epidemics* (*Birmingham Byzantine and Ottoman Monographs* 9). Aldershot 2004, v. a. 277–294, 382–384.

³¹ Silvano BORSARI, *La migrazione dall’Oriente in Italia nel VII secolo. La parola del passato* 6 (1951) 133–138; Peter CHARANIS, *On the Question of the Hellenization of Sicily and Southern Italy during the Middle Ages. American Historical Review* 42 (1946) 74–86 (Reprint in DERS., *Studies on the Demography of the Byzantine Empire. Collected Studies*. London 1972, Nr. XIV); Ewald KISLINGER, *Magna Graecia Medii Aevi: Von den sizilianischen Anfängen hin zum kalabrisch-apulischen Griechentum* (6.–9. Jahrhundert), in: *Griechische Migration in Europa. Geschichte und Gegenwart*. Hrsg. von Evangelos Konstantinou. Frankfurt/M. 2000, 135–151, hier 136–140.

³² Anna AVRAMEÁ, *Le Péloponnèse du IV au VIIIe siècle. Changements et persistances* (*Byzantine Sorbonensia* 15). Paris 1997.

³³ Chronik von Monembasia, Fassung/Handschrift Ivron 329, ed. Paul LEMERLE, *La chronique improprement dite de Monemvasie: le contexte historique et légendaire. Revue des Etudes Byzantines* 11 (1961) 1–49, hier 10, Fassung/Handschrift Kutlumusiu 220, ed. Nikos BEES in *Byzantis* 1 (1909) 64.

³⁴ KISLINGER, *Regionalgeschichte* 101–108.

³⁵ *Zusammenschau* in KISLINGER, *Regionalgeschichte* 110–154, 165–169.

³⁶ Ewald KISLINGER, *I Normanni, la seta bizantina e San Marco d’Alunzio*, in: *Miscellanea Nebroidea* (*Contributi alla conoscenza del territorio dei Nebrodi* III). S. Agata Militello 1999, 101–113.

³⁷ BIANCO, *Monete* 159–160 und 161, Anm. 20.

von Kaiser Michael II. (reg. 820–829) wurde 1984 aus dem Mauerwerk des Conventazzo-Oktogons ausgeschwemmt³⁸. Durch sie ist zumindest ein *terminus ad quem* für die Existenz des Monumentes gegeben³⁹. Seine tatsächliche Entstehung ist nach dem einhelligen Urteil aller damit befaßten ForscherInnen jedoch bereits in der Spätantike anzusetzen, wobei die Meinungen über die ursprüngliche Funktion von Memorialbau⁴⁰ bis Teil einer Thermenanlage⁴¹ reichen.

Die christliche Nutzung trat demnach sekundär ein. Eine erste potentielle Basis dazu lag im vom 5. Jahrhundert an zunehmenden kirchlichen Großgrundbesitz, was dem Entstehen von Klöstern auf solchen Latifundien sicher förderlich war⁴².

Ein Areal unweit von S. Pietro di Deca/Conventazzo ist nach seinem Zentrum, einem befestigten Gutshof, S. Pietro di Roma benannt⁴³. Möglicherweise drückt der jeweilige Zunamen die aufgrund des beiden gemeinsamen „S. Pietro“ erforderliche Differenzierung nach Flur bzw. einstigem Eigentümer aus. Das Briefcorpus von Gregor dem Großen (590–604) widerspiegelt die generelle Situation in zahlreichen Sizilien betreffenden Einträgen, der Papst selbst stiftete übrigens Klöster auf vordem familiären Besitztümern⁴⁴.

In keinem einzigen Fall ist jedoch ein kontinuierliches Bestehen über viele Jahrhunderte gesichert. Mochten die ca. 700 erfolgte Eingliederung Siziliens in die administrative Themenordnung⁴⁵ mit dem Zuweisen von Grund an die Milizsoldaten, sodann der Wechsel der kirchlichen Oberhoheit von Rom nach Konstantinopel (vor oder um die Mitte des 8. Jahrhunderts)⁴⁶ diesbezüglich nur Modifikationen bedingt haben, bedeutete die arabische Eroberung⁴⁷ ab 827 gewiß einen tieferen Einschnitt.

³⁸ KISLINGER, Moneta 295.

³⁹ Zu einschlägigen Studien s. oben Anm. 10.

⁴⁰ KISLINGER, Moneta 294.

⁴¹ UGGERI (wie Anm. 10).

⁴² Silvano BORSARI, Il monachesimo bizantino nella Sicilia e nell'Italia meridionale prenormanne. Napoli 1963, 23–26; Vera von FALKENHAUSEN, Il monachesimo greca in Sicilia in: La Sicilia rupestre nel contesto delle civiltà mediterranee. A cura di Cosimo Damiano Fonseca. Galatina 1986, 135–174, hier 136–138.

⁴³ FILANGERI, Agora 34–46.

⁴⁴ Roberta RIZZO, La cristianizzazione della Sicilia attraverso il „registrum epistolarum“ di Gregorio Magno, in: *Congresso Sicilia bizantina* 119–146; Georg JENAL, Italia ascetica atque monastica. Das Asketen- und Mönchtum in Italien von den Anfängen bis zur Zeit der Langobarden (ca. 150/250–604) Stuttgart 1995, 292–300; Gaetano PUGLISI, Aspetti della trasmissione della proprietà fondiaria in Sicilia. La massa ecclesiastica nell'epistolario di Gregorio Magno, in: GIARDINA, Società 521–529, 847–857.

⁴⁵ NICHANIAN – PRIGENT 98–101; KISLINGER, Regionalgeschichte 121 mit Anm. 1091.

⁴⁶ Theophanes, Chronographia 410, 11–14 (I De Boor). CRACCO-RUGGINI, Sicilia 44–47; Milton V. ANASTOS, The Transfer of the Illyricum, Calabria and Sicily to the Jurisdiction of the Patriarchate of Constantinople in 732–33. *Studi bizantini e neoellenici* 9 (1957) 14–31; Venance GRUMEL, L'annexion de l'Illyricum oriental, de la Sicile et de la Calabre au Patriarchat de Constantinople. *Recherches de Science Religieuse* 40 (1951/52) 191–200; Peter SCHREINER, Der byzantinische Bilderstreit: Kritische Analyse der zeitgenössischen Meinungen und das Urteil der Nachwelt bis heute, in: Bisanzio, Roma e l'Italia nell'Alto Medioevo, I (*Settimane di studio del centro italiano di studi sul'Alto Medioevo* XXXIV). Spoleto 1988, 319–407, hier 375–379.

⁴⁷ Grundlegende Darstellungen des Verlaufes bei AMARI, Storia; TALBI 405–509, 509–524, und Alexander A. VASILEV – Henri GRÉGOIRE – Marius CANARD, Byzance et les Arabes, I-II/1–2. Bruxelles 1934–1968, I 61–88, 127–137, 143–144, 187–188, 204–208, 219–222, 260–264, II/1 21–26, 50–52, 70–79, 105–109, 142–152, 365–378.

Der insuläre Nordosten ist von den Kämpfen erst in den letzten Dezenien des 9. Jahrhunderts betroffen gewesen, als Demenna – wohl samt seinen Vorwerken Piano Grilli (östlich oberhalb des Conventazzo), Pizzo Asa gegen Westen⁴⁸ und vielleicht Pizzo Mueli landeinwärts⁴⁹ – gemeinsam mit Rometta (bei Messina) und Taormina ein Festungsdreieck bildete. Während die beiden anderen Eckpunkte schließlich dem Großangriff 902 erlagen, wurde Demenna in diesem Jahr verlassen vorgefunden⁵⁰. Bereits 911 waren aber die Araber erneut zu einer vergeblichen Belagerung gezwungen⁵¹. Trotz der mancherorts zähen Gegenwehr (das erneut christliche Rometta behauptete sich bis 964/65⁵²) konnte Demenna nicht dauerhaft der arabischen Übermacht trotzen. Bezeichnenderweise verließen der von dort gebürtige Lukas und weitere fromme Männer vor der Jahrhundertmitte die sizilianische Heimat und führten ihr heiligmäßiges Leben fortan im byzantinischen Kalabrien⁵³.

Der Wechsel zur arabischen Oberhoheit bedeutete für Demenna als Siedlung kein Ende, jüdische Kaufleute frequentierten es wegen der ebenda produzierten Seide. Anno 1046 deponierte Musa b. Alluſ dort für einen Gläubiger 300 Vierteldinare, ein anderer Händler erzielte 1052/1053 einen Gewinn von 25 Vierteldinaren⁵⁴. Diese und weitere Belege offenbaren wirtschaftliche Aktivitäten an einem bestimmten Ort (sonst wäre nicht Geld präzise hinterlegbar gewesen), der nur ein Jahrzehnt danach wieder neue Eroberer sieht.

Als die süditalienischen Normannen 1061 erstmals über Messina hinaus vorstießen⁵⁵, errichteten sie auf sizilianischem Boden als ersten Stützpunkt das *castrum Sancti Marci*⁵⁶. Der gewählte Name war keineswegs zufällig, vielmehr knüpfte man an San Marco Argentano an, von welcher Gründung (1051/54) das byzantinische Kalabrien bis 1059/60 vollständig erobert worden war⁵⁷. Sein sizilianisches Pendant, welches bis heute selbigen Namen (im 19. Jahrhundert ergänzt um „d’Alunzio“⁵⁸) trägt, kontrollierte zugleich die Route westwärts nach Palermo und ins Landesinnere zum Ätna-Gebiet einerseits und nach Troina und Enna andererseits⁵⁹. Nebst der geschützten Lage auf einem Felskegel und mit tief einschneidenden Tälern an den Flanken durf-

⁴⁸ KISLINGER, Regionalgeschichte 163–164.

⁴⁹ MAURICI, Castelli 129, 332.

⁵⁰ TALBI 519–528; AMARI, Storia II 99–111; KISLINGER, Regionalgeschichte 128; Salvatore SERIO, Ipotesi sul territorio di Demenna ed origini del castello di Longi. Longi 1985, 14–16.

⁵¹ AMARI, Storia II 169–170.

⁵² Kleinchronik 45, Notizen 53 und 54 (I 338–339 Schreiner). AMARI, Storia II 299–310.

⁵³ G. DA COSTA-LOUILLET, Saints de Sicile et d’Italie méridionale aux VIIIe, IXe et Xe siècles. *Byzantion* 29/30 (1959/60) 89–173, hier 125–142; KISLINGER, Regionalgeschichte 115–118; von FALKENHAUSEN, Monachesimo (wie Anm. 42) 163–168.

⁵⁴ Shlomo SIMONSOHN, The Jews in Sicily, I: 383–1300 (*Studia post-biblica* 48.3). Leiden–New York–Köln 1997, 112–114, 125–126. Moshe GIL, Sicily 827–1072, in the light of the Geniza documents and parallel sources, in: Italia Judaica. Gli ebrei in Sicilia sino all’espulsione del 1492 (*Pubblicazioni degli Archivi di Stato. Saggi* 32). Roma 1995, 96–171, hier 133–134, 148. BIANCO, monete 160–162.

⁵⁵ CHALANDON, Domination normande I 194–197.

⁵⁶ MAURICI, Castelli 94, 364.

⁵⁷ CHALANDON, Domination normande I 147–155.

⁵⁸ Michele MANFREDI-GIGLIOTTI, San Marco di Alfonso, provincia di Messina, in: DERS., *Variae historiae fragmenta*. Palermo 2003, 17–18; MELI, San Marco 15–16, 384.

⁵⁹ Giovanni UGGERI, Il sistema viario romano in Sicilia e le sopravvivenze medievali, in: *La Sicilia rupestre nel contesto delle civiltà mediterranee*, a cura di C. D. Fonseca. Galatina 1986, 85–112, Lucia ARCIFA, Viabilità e politica stradale in Sicilia (sec. XI–XIII), in: *Federico e la Sicilia. Dalla terra alla corona. Archeologia e architettura*, a cura di A. Di Stefano – A. Cadei. Palermo 1995, 27–33.

ten die zahlenmäßig schwachen Normannen⁶⁰ auf die Unterstützung durch die einheimischen Christen griechisch-orthodoxer Prägung hoffen, die *in Valle Deminae manentes* bisher *sub Sarracenis tributarii* waren und auf Befreiung warteten.

Völlig konträr zur bisherigen Siedlungsbezeichnung tritt einem Demenna historiographisch bei Gaufredus Malaterra⁶¹ und dem lokalen Urkundenmaterial ab 1090 als klarer, vorerst eng begrenzter Territorialname gegenüber. Wie ist ein solcher Wandel zu erklären? Nun, die günstige Lage von San Marco als fester Platz war von den Normannen ganz und gar nicht als ersten erkannt worden, die griechischen Kolonisten der Antike, die lakonischen Migrant*innen des 7. Jahrhunderts, die arabischen Eroberer hatten dort viel früher ebenfalls Fuß gefaßt. Das *castrum Sancti Marci* bedeutete anfangs nur die beherrschende Burg am höchsten Platz der Siedlung, welche einst Alontion und dann Demenna benannt war. Der rasche Erfolg der normannischen Waffen (1091 war ganz Sizilien gewonnen)⁶², die zeitweilige Funktion ihrer sizilianischen Erstgründung als Residenz (1101–1112)⁶³ förderte dessen Entwicklung und ließ den Namen des ursprünglichen Kastelles bald auf die ganze Siedlung ringsum übergehen, aus Demenna wurde San Marco im zugehörigen Gebiet (*chora*) von Demenna⁶⁴.

In diesem Kleinraum erlebte das griechisch-basilianische Mönchtum und Klosterwesen im ausgehenden 11. und frühen 12. Jahrhundert eine abermalige Blüte, geduldet bis gefördert von den Normannen, die (obgleich selbst der lateinischen Glaubensform zugetan) um den Wert der lokalen Christen östlicher Prägung für die eigene Machtbehauptung wußten. Klöster wie S. Barbaros „im Umland von Hagios Markos zu Demenna“ oder der Theodoros-Konvent in Mirto (ebenfalls in der *chora* von Demenna gelegen) zählen zu den kleineren Vertretern. San Filippo di Fragalà hatte hingegen, gefördert durch die charismatische Persönlichkeit seines Abtes Gregorios⁶⁵, eine führende Stellung inne, erwarb Ansehen und Ländereien, besaß zugehörige Kirchen gleich Filialklöstern (*metochia*).

Eine der Petros-Kirchen, welche im zweiten Gregorios-Testament von 1105 als S. Filippo unterstellt aufgeführt sind, mag S. Pietro di Deca/Conventazzo entsprechen⁶⁶. Als 1131/33 jedoch das Archimandritat zu Messina als Oberbehörde aller basilianischen Klöster Ostsiziliens und des südlichen Kalabrien eingerichtet wird, war ihm Santo Pietro (gleich S. Barbaros) direkt unterstellt⁶⁷; im September 1178 soll dieses Kloster von Königinmutter Marga-

⁶⁰ KISLINGER, Regionalgeschichte 139 mit Anm. 1254.

⁶¹ De rebus gestis Rogerii Calabriae et Siciliae comitis et Roberti Guiscardi ducis fratris eius, ed. E. Pontieri. Bologna 1927, II 14–16 (33–34). Vgl. Amato von Montecassino, Storia de' Normanni, volgarizzata in antico francese. A cura di V. de Bartholomaeis. Rom 1935, V 25 (244–245).

⁶² CHALANDON, Domination normande I 191–211, 327–340; Salvatore TRAMONTANA, La Sicilia dall'insediamento normanno al vespro (1061–1282), in: Storia della Sicilia III. Napoli 1980, 181–199 (La conquista normanna); G. A. LOUD, Betrachtungen über die normannische Eroberung Süditaliens, in: Forschungen zur Reichs-, Papst- und Landesgeschichte. Peter Herde zum 65. Geburtstag, ed. K. Borchardt und E. Bunz. Stuttgart 1998, 115–131 (Reprint in DERS., Conquerors and Churchmen in Norman Italy. Aldershot 199, Nr. IV).

⁶³ VON FALKENHAUSEN, Regentschaft.

⁶⁴ KISLINGER, Regionalgeschichte 165–169.

⁶⁵ VON FALKENHAUSEN, Testamente; KISLINGER, Regionalgeschichte 140–146.

⁶⁶ SCADUTO, Monachesimo 106–108.

⁶⁷ SCADUTO, Monachesimo 183, 186.

rethe von Navarra eine Landschenkung im Gebiet von Caronia (antik Kalakte) erhalten haben⁶⁸. Ein dem *abbati Sancti Petri de Deca* vermachtes Legat nennt 1323 das Kloster parallel zu (und unabhängig von) S. Filippo di Fragalà⁶⁹.

Privileg- und Schenkungsurkunden hatten San Filippo bis 1091 mit den geographischen Epitheton (anzunehmen Flurnamen) *tou Melityrou* versehen, das hierauf durch die Pluralform „Demennon“ abgelöst wurde⁷⁰. Selbige wurde im letzten Viertel des 12. Jahrhunderts offenbar zu ungenau, weil Val Demone territorial-inhaltlich über die originäre *chora* von Demenna, anders gesagt das Gebiet von San Marco zwischen den Flüssen Rosmarino und Zapulla hinauswuchs. Diese Entwicklung zeichnete sich erstmals im geographischen Werk des al-Idrisi, *Kitab nuzhat al-mustaq fi ikhtirraq al-afaq* um 1150 ab, wo es heißt, der *iqlim* (das meint eine geographische Einheit) von Demenna beginne zu Caronia, welches etliche Kilometer östlich der bisherigen Begrenzung der *chora Demennon* durch den Rosmarino situiert ist⁷¹.

Das dem Demenna-Begriff im Lateinischen (nicht jedoch in den älteren griechischen Quellen) voranstehende *Val* wurde lange mit *vallis* (Tal) und daraus italienisch *valle* in Sachzusammenhang gebracht⁷². Beide Termini sind allerdings weiblichen Geschlechts, wogegen Val Demone den maskulinen Artikel aufweist. Dies gilt analog für alle anderen Parallelsbezeichnungen aus Sizilien, also Val d'Agrigento, Val di Castrogiovanni, Val di Mazara, Val di Milazzo, Val di Noto⁷³. Bei Mazara und Milazzo ist zudem die Frage höchst berechtigt, wieso bei ihnen von Tälern die Rede sein kann, obwohl das umliegende Territorium der Städte keineswegs diese Charakterisierung nahelegt. Angeregt vom geographischen *iqlim*-Verständnis bei Idrisi sei deshalb alternativ vorgeschlagen, „Val“ auf arabisch *walayah* bzw. *wilayah* für Regierungsbezirk oder administrativen Distrikt in verkürzter bzw. abgeschliffener Übernahme zurückzuführen⁷⁴.

Es wäre allerdings verfehlt, aus der Verwendung eines arabischen Fachterminus abzuleiten, Val Demone habe als größerer Distrikt bereits vor dem 11. Jahrhundert bestanden⁷⁵. Erst in normannischer Zeit ist die sprachlich-faktische Kombination mit der *chora* von San Marco nachweisbar. Der Demenna-Begriff erfuhr zum einen sprachlich eine Emanzipation von seinem (griechischen) Original und er löste sich zum anderen, wie bereits angesprochen, von seinem angestammten Territorium, bis er schließlich ab dem späten Mittelalter ganz Nordost-Sizilien umfaßte und administrativ eines der drei „Täler“ Siziliens (neben Val di Noto und Val di Mazara) bildete.

⁶⁸ Die verleihende Urkunde, welche MELI, San Marco 267–268 noch bei den „padri basiliani di Messina“ gesehen haben will, ist heute verschollen. Die von ihm *loc. cit.* angeführte März-Datierung des Dokuments korrespondiert allerdings nicht mit der ebenfalls angeführten elften Indiktion (= September 1177–August 1178; vgl. KISLINGER, Regionalgeschichte 150 zu einem Parallelfall aus dem Jahre 1175), es dürfte jedoch eine simple Verschreibung seitens Meli vorliegen, vgl. richtig DERS., San Marco 237 „nel settembre, XI Indizione, 1177“.

⁶⁹ BIONDI, Documento inedito 280, Z. 12 bzw. 11.

⁷⁰ KISLINGER, Regionalgeschichte 140–141, 148–149.

⁷¹ Al-Idrisi, *Opus geographicum*. Neapel 1970–1984, 935. KISLINGER, Regionalgeschichte 129.

⁷² EPIFANIO, Valli 7–8.

⁷³ EPIFANIO, Valli 11, 15–16, 19–20, 23, 31, 35.

⁷⁴ KISLINGER, Regionalgeschichte 153–154.

⁷⁵ AMARI, *Storia I* 607–610.

Unser Untersuchungsgebiet, der Val-Demone Kernraum, lag nach der frühen Normannenzeit abseits der großen Geschehnisse auf und um Sizilien (sieht man von der – lokalhistorisch irrelevanten – Seeschlacht vor Capo d'Orlando/Fitalia-Mündung 1299 ab⁷⁶), rezipierte primär die andernorts ausgelösten Veränderungen. Lombardische Neusiedler (tatsächlich Piemontesen) wurden ins Land gerufen⁷⁷, das griechische Bevölkerungselement büßte an Wichtigkeit ein. Der Wegfall des Griechischen als Notariatssprache (ab der staufischen Herrschaft)⁷⁸ reduzierte auch seine diesbezügliche Verwendung im Kleinraum von San Marco. Nur mehr private Rechtsvorgänge wurden nach ca. 1200 darin abgefaßt, bis zuletzt nur mehr griechische Zeugenunterschriften in sonst lateinischen Urkunden übrigblieben⁷⁹. Griechisch behauptete sich länger im kirchlichen Bereich, allein schon vom Klerus her. Mirto besaß 1310 *tres capellani greci*, Symeon war *protopapa grecorum in terra S. Marci*⁸⁰.

Hatte bis 1282 die offene Feindschaft der Anjou-Herrscher (ab 1266) gegenüber Byzanz die Kontakte dorthin behindert⁸¹, so bedeutete dann die Oberherrschaft der sizilianischen Aragonesen über das katalanische Herzogtum von Athen einen potentiellen Konfliktstoff mit den Palaiologen⁸². Wichtiger noch isolierte indirekt der Niedergang griechischer Staatlichkeit im Osten bis zum Fall von Konstantinopel 1453 die sizilianische Gräzität zunehmend.

Die demographische und ökonomische Krise, welche im 14. Jahrhundert ganz Sizilien erfaßte, ausgelöst durch die Pest einerseits, feindliche Invasionen und interne Fraktionskämpfe andererseits⁸³, schadete gewiß auch den griechischsprachigen Gemeinden und ihren geistigen Zentren. Lokal um San Marco wird vielleicht die grundherrschaftliche Kontinuität unter einer Aragon-Seitenlinie (bis 1398) und dann (über Saecula) den Filangeri mildernd gewirkt haben⁸⁴, zudem blieb das Gebiet von größeren Kampfhandlungen verschont.

⁷⁶ John H. PRYOR, The naval Battles of Roger of Lauria. *Journal of Medieval History* 9 (1983) 179–216 (Reprint in DERS., Commerce, Shipping and naval Warfare in the medieval Mediterranean. London 1987, Nr. VI), hier 204–208; H. FINKE, Die Seeschlacht am Kapo Orlando. *Historische Zeitschrift* 134 (1926) 257–266.

⁷⁷ Illuminato PERI, La questione delle colonie „lombarde“ in Sicilia. *Bollettino storico-bibliografico subalpino* 57 (1959) 253–280; Aldo MESSINA, Onomastica „lombarda“ nelle carte normanne di Sicilia. *Bollettino storico-bibliografico subalpino* 94 (1996) 313–331.

⁷⁸ VON FALKENHAUSEN, Presenza dei greci.

⁷⁹ CUSA, Diplomi greci 434–468; BIONDI, Documento inedito 278–285; SILVESTRI, Tabulario di S. Filippo di Fragalà e Santa Maria di Maniaci (wie Anm. 12) 10–12, 75–80. Vgl. allg. BRESC, Economie II 587–590.

⁸⁰ Paolo SELLA, Rationes decimarum Italiae nei secoli XII e XIV (*Studi e testi* 112). Città del Vaticano 1944, Nr. 560 (56), Nr. 803 (64). BIONDI, Documento inedito 285 weist als beurkundende Zeugen 1323 in San Marco vier auf Griechisch unterschreibende Priester auf, darunter einen Protopapas Philippos.

⁸¹ Steven RUNCIMAN, Die sizilianische Vesper. München 1959. Vgl. Ernest Marcos HIERRO, Die byzantinisch-katalanischen Beziehungen im 12. und 13. Jahrhundert unter besonderer Berücksichtigung der Chronik Jakobs I. von Katalonien-Aragon (*Miscellanea Byzantina Monacensia* 37). München 1996, v. a. 252–278, 353–376. – Zum geringen Umfang des Handels zwischen Sizilien und dem Romania-Raum im 14. Jahrhundert s. BRESC, Economie I 281–295, 336–338.

⁸² Kenneth M. SETTON, Catalan Domination of Athens 1311–1388. London ²1975; Johannes KODER – Friedrich HILD, Hellas und Thessalia (*Tabula Imperii Byzantini* 1). Wien 1976, 73–76.

⁸³ EPSTEIN, Island 55–59; Francesco GIUNTA, Il baronaggio e la soluzione catalano-aragonese, in: Storia della Sicilia, III. Napoli 1980, 326–355; Denis MACK SMITH, A History of Sicily. Medieval Sicily 800–1713. London 1969, 76–84.

⁸⁴ Camillo FILANGERI, La Pietra di Roma fra la battaglia di Capo d'Orlando e la „Contea“, in: Torrenova. Un territorio da conoscere e salvare. Palermo 2003, 9–32, v. a. 20–30.

Gleichwohl waren bereits 1328 die Besitzungen von S. Filippo di Fragalà auf zwei Filialklöster reduziert⁸⁵. Philippos, geistlicher Hirte der Gemeinde von Caprileone (unmittelbar östlich von Torrenova) kopierte um 1370 eine Homelie voll liturgischer Formeln und Evangelienzitate in Griechisch, die allerdings immer gleich anschließend in einer Mischsprache aus Latein und frühem Italienisch wiederholt wurden, niedergeschrieben in griechischen Buchstaben⁸⁶.

Das 15. Jahrhundert sah generell abermals einen Aufschwung, gerade durch die florierende Rohseidenproduktion in Nordostsizilien⁸⁷. Damalige, grundsätzlich für die dortige Gräzität positiven Bemühungen um das basilianische Mönchtum im Zuge der kirchlichen Unionsbestrebungen, speziell genannt sei das Wirken des griechisch-lateinischen Kardinals Bessarion⁸⁸, vermochten jedoch deren Niedergang höchstens zu verlangsamen. Das einst dominante Griechisch im Val Demone geht der Schriftlichkeit verlustig, wird letztlich zum außergewöhnlichen, mißtrauisch beäugten Zeichen einer Minderheit: Als 1517 zu San Filippo di Fragalà die Überreste der heiligen Brüder Alphios, Philadelphios und Kyrios aufgefunden wurden, war niemand mehr im Kloster und in der Umgebung imstande, das beiliegende Pergament mit deren griechischem Bios zu lesen⁸⁹. Zwanzig Jahre danach führte Arnaldo Albertino, Bischof von Patti, darüber Klage, es gebe in Gioiosa Guardia seit vielen Jahren einen griechischen Priester, der verheiratet sei, die Sakramente nach griechischen Ritus reiche und in jener Sprache des Lateinischen Kundige anspreche, zum großen Ärgernis und zum Schaden der Seelen⁹⁰.

Dem aus solchen Streiflichtern abzuleitenden Trend trotzte San Pietro di Deca lange Zeit erfolgreich. Die Visitationen von 1542 und 1552 (geleitet von Don Francesco Vento bzw. Giacomo Arnedo) lassen – passend zum klosterinternen Auftrag für ein Missale (s. oben 101) – eine funktionierende *abbazia* erkennen, erst 1557 werden (seitens Giacomo Arnedo) bauliche und kultische Mängel beanstandet⁹¹. Die wachsende Bedrohung durch Attacken nordafrikanischer Korsaren dürfte ihren Teil dazu beigetragen haben, daß der Conventazzo vor 1600 sein monastisches Ende fand⁹². Aus dem Jahre 1585 wird

Vinciguerra di Aragona erließ 1360 dem Abt von San Filippo di Fragalà die Abgaben für einen Weingarten nahe San Marco; 1391 sollte Klosterbesitz durch Bartolomeo und Federico di Aragona vor Übergriffen des Erzbischofs von Messina geschützt werden: SILVESTRI (wie Anm. 79) 68–69, 72–73.

⁸⁵ Visitationsbericht, ed. CANTARELLA (wie Anm. 12), 34. Andererseits erhielt das Kloster mehrfach (1338, 1339, 1398) Grundschenkungen von Privatpersonen: SILVESTRI (wie Anm. 12) 37–39, 45–47, 75–77.

⁸⁶ DISTILO – JACOB, Omelia 415–421, 427.

⁸⁷ BRESC, Economie 70–77; EPSTEIN, Island 63–68, 202–208, 294–296.

⁸⁸ SCADUTO, Monachesimo 329–344. Prosopographisches Lexikon der Palaiologenzeit, IV. Erstellt von Erich TRAPP – Hans-Veit BEYER u. a. Wien 1977, Nr. 2707. – Schon 1404 war in Person des Filippo Ruffo ein erster *magister gramatice grece* zu Messina ernannt worden, s. Maria Bianca FOTI, Il monastero del S. mo Salvatore in lingua phari. Proposte scritte e coscienza culturale. Messina 1989, 121–122.

⁸⁹ Claudio GERBINO, Appunti per una edizione dell'agiografia di Lentini. *Byzantinische Zeitschrift* 84/85 (1991/92) 26–36; Sebastiano PISANO BAUDO, Storia dei martiri e della chiesa di Lentini. Lentini 1898.

⁹⁰ Constitutiones synodales editae a reverendissimo domino Arnaldo Albertino, iuris utriusque doctore, episcopo Pactensi ... Palermo 1544, 79, 48.

⁹¹ Die entsprechenden Berichte darüber im Archivio di Stato (Palermo), Conservatoria di Registro 1305, 1308 (f. 150) und 1309 (f. 520–522) sind noch unedierte; KISLINGER, tarda testimonianza 118–119. SCADUTO, Monachesimo 358–363.

⁹² Salvatore BONO, I corsari barbareschi. Roma 1964, 148–158; KISLINGER, Tarda testimonianza 119 mit Anm. 24.

überliefert, der jährliche Markt (*fiera*) *nel piano della venerabile chiesa di S. Pietro di Deca* sei wegen der Piratengefahr nach S. Marco verlegt worden⁹³.

Die darüber berichtende Ortschronik, verfaßt um die Mitte des 18. Jahrhunderts, spricht auffälligerweise von der „Kirche von S. Pietro“, was anzeigt, daß diese über die Existenz des Klosters hinaus fortbestand; noch 1748 ist sie in Kommende unter dem Arzt Antonino Lo Presti aus S. Marco bezeugt, der als *abate* dem Andrea Filingeri nachgefolgt war⁹⁴. Dieser Kirche entsprechen wahrscheinlich noch die „*ruderi di una chiesa medioevale ad una navata, con in fondo tre absidi, le due piccolissime, costruite di bei mattoni*“, welche A. Salinas bei seiner archäologischen Exkursion 1878 sah, mit der die wissenschaftliche Erforschung des Conventazzo ihren Anfang nahm⁹⁵.

E. Kislinger

1.2. ZUR BYZANTINISCHEN ARCHÄOLOGIE SIZILIENS

Ein archäologisches Interesse am postklassischen Sizilien setzte im ausgehenden 19. Jh. im Zuge einer Spurensuche des frühen Christentums ein. Signifikant ist demnach Führer – Schultze's (1907) Definition, Sizilien sei „das klassische Land des frühchristlichen Grabbaus“⁹⁶, was eine Schwerpunktsetzung anzeigt, die sich so wie an vielen anderen Orten auch der Entdeckung und Aufnahme von Nekropolen widmete⁹⁷. In dieser Tradition stehend, bestimmen Grabfunde noch bis heute das Bild der spätantik-christlichen Archäologie Siziliens⁹⁸, wogegen die Kenntnis über Wohnkontexte sehr gering ist⁹⁹.

Ebenfalls um 1900 erwuchs aus dem wissenschaftlichen Ansatz der Persönlichkeit von Paolo ORSI eine systematische Erforschung des byzantinischen Sizilien¹⁰⁰, das zuvor noch nicht das Interesse anderer Forscher geweckt hatte, geschweige denn überhaupt als Epoche definiert war. Er legte einen Schwerpunkt auf jene drei Jahrhunderte zwischen Vandaleneinfällen und Araberherrschaft, in denen Sizilien politisch zu Byzanz gehörte und begann mit der Erfassung, Beschreibung und Publikation byzantinischer Denkmäler (Kirchen, Klöster, Ne-

⁹³ MELI, San Marco 73, 139, 267. Einen Angriff gar auf S. Marco selbst verzeichnet zum Jahre 1619 die Bildlegende zu einer Ansicht des Ortes vom Meer aus, gezeichnet von Jacques Callot (1592–1636) während einer Sizilienreise 1620: Emmanuele FIDONE – Marco NOBILE, *La Sicilia vista da Jacques Callot. Kalos. Arte in Sicilia* XII 4 (2000) 11–13. Auf der Aquarellzeichnung ist schematisch auch ein Gebäude zu erkennen, welches der Position nach San Pietro di Deca entsprechen dürfte.

⁹⁴ MELI, San Marco 155, 268

⁹⁵ SALINAS (wie Anm. 10) 303.

⁹⁶ Joseph FÜHRER – Victor SCHULTZE, *Die altchristlichen Grabstätten Siziliens (Ergänzungshäfte des Deutschen Archäologischen Institutes 7)*. Berlin 1907 (im Vorwort).

⁹⁷ Friedrich Wilhelm DEICHMANN, *Einführung in die christliche Archäologie*. Darmstadt 1983, 27: „Während man in der zweiten Hälfte des 19. Jhs. fast dahin gekommen ist, dass die christliche Archäologie mit römischer Katakombenkunde gleichzusetzen sei ...“

⁹⁸ Ottavio GARANA, *Le catacombe siciliana e i loro martiri*. Palermo 1961; DANNHEIMER, Grabfunde; BONACASA CARRA, *Archeologia cristiana* 27–62. RIEMER, Grabfunde, bietet eine Zusammenstellung aller bekannten sizilianischen Grabkontexte und -funde.

⁹⁹ Wohnkontexte sind nur durch die Existenz von Villen für die spätrömische Zeit überliefert, es sind aber keine Aussagen über Raumnutzungen bekannt. Material aus Wohnkontexten (Keramik, Lampen, Schmuck, ...) zeigen die ausgestellten Funde der Villa in Marina di Patti, s. *Patti Marina. Il sito archeologico e l'Antiquarium*. Patti o. J. und jene der *Villa Bagnoli/Capo d'Orlando* (dazu Anm. 124); vgl. allgemein zu den Villen Siziliens WILSON, *Sicily* 194–214.

¹⁰⁰ VITALE, *Metodi* 149–151.

kropolen) und Objekte (Schmuck, Lampen, sonstige Kleinfunde)¹⁰¹, die archäologisch bislang „im Dunkeln“ lagen¹⁰². Dieses Spektrum hat er unter *Bizantina Siciliae*¹⁰³ der Öffentlichkeit bekannt gemacht. Bis heute bildet sein Werk die einzige, umfassende Materialsammlung des byzantinischen Kulturkreises für die Insel Sizilien, die aber in den grundsätzlichen Aussagen – betreffend Gürtelschnallen, Ohringe, Fingerringe, Fibeln, Ketten, Gewichte, und viele sonstige Kleinfunde – auf den gesamten byzantinischen Raum übertragbar ist¹⁰⁴. Viele solcher Gegenstände werden oft noch zu wenig beachtet, wo doch gerade sie typische Elemente der materiellen Alltagskultur von Byzanz sind.

Ergebnis dieser Entwicklung und *status quo* für Sizilien ist, dass wir zwar über einen reichen Bestand an Gebrauchsobjekten verfügen, diese aber nur bis ins 7. Jh. n. Chr. genauer datieren können. Das ist ursächlich in den Transformationen im Mittelmeerraum begründet, welche primär durch das Vordringen der arabischen Macht seit 630 bewirkt wurden und womit man einen „Zusammenbruch“ (spät)antiker Strukturen assoziierte. Ein fatales Nebenprodukt war das Ausbleiben der *African Red Slip Ware*¹⁰⁵ seit dem späten 7. Jh., an deren klassifizierten Formen zuvor üblicherweise die Datierung von Fundkontexten festgemacht wird. Seit dem Ende der Produktion/Verbreitung konnte und kann man forschungsmäßig auf keine Keramikchronologie zurückgreifen, womit die Grundlage wegfällt, jüngere Keramik als solche zu identifizieren, geschweige denn zu datieren.

Man hat daraus voreilig ein Ende von antik nachgenutzten Orten abgeleitet¹⁰⁶. Dies gilt ebenso für eine Anzahl von durch Grabungen oder Surveys erschlossenen Fundorten in Sizilien, die der spätrömischen oder frühbyzantinischen Epoche zugeordnet werden¹⁰⁷. Obgleich für Sizilien die Zeit um 700 tat-

¹⁰¹ Umberto ZANOTTI-BIANCO, Prefazione, in: ORSI xii.

¹⁰² Paolo ORSI, Chiese bizantine del territorio di Siracusa. *Byzantinische Zeitschrift* 7 (1898) 1: „... ma se le fortunate vicende della città hanno in esse cancellato ogni ricordo dell'arte che fra il VI ed il IX secolo irradiava dall'Oriente (...) che al paziente investigatore vien fatto di scoprire svariate reliquie dell'età bizantina“; VITALE, *Metodi*.

¹⁰³ Unter diesem Titel erstmals veröffentlicht in *Byzantinische Zeitschrift* 19 (1910) 63–90, 462–475 und *Byzantinische Zeitschrift* 21 (1912) 187–209. Die 1942 von Giuseppe AGNELLO herausgegebene Sammelschrift *Sicilia Bizantina* (= ORSI) vereint Ergebnisse und Objekte aus 20 Publikationen (darunter die beiden genannten) aus den Jahre 1891 bis 1934.

¹⁰⁴ Vgl. Gladys R. DAVIDSON, *Corinth XII. The minor objects*. Princeton 1952; AVRAMEA, *Le Péloponnèse* (wie Anm. 32) 86–104; Chris S. LIGHTFOOD, *Amorium Reports II. Research Papers and Technical Reports (BAR International Series 1170)*. Oxford 2003 (mit Unterkapiteln über Lampen und Gürtelschnallen); James RUSSELL, *Byzantine instrumenta domestica from Anemurium: the significance of context*, in: Robert L. Hohlfelder (Ed.), *City, town and countryside in the early Byzantine era*. New York 1982, 133–163; Isabella BALDINI-LIPPOLIS, *L'oreficeria nell'impero di Constantinopoli tra IV e VII secolo (Bibliotheca Archeologica 7)*. Bari 1999; *Roma dall'antichità al medioevo*; Mechthild SCHULZE-DÖRRLAMM, *Byzantinische Gürtelschnallen und Gürtelbeschläge im römisch-germanischen Zentralmuseum I*. Mainz 2002.

¹⁰⁵ Definiert von HAYES, *Pottery*, 13 *et passim*.

¹⁰⁶ Vgl. DELOGU, *Mondo antico* 7.

¹⁰⁷ Jeweils eine (regionale) Übersicht zu Örtlichkeiten, die spätrömisches und frühbyzantinisches „Fundgut“ erbracht haben, enthalten BEJOR, *Insedimenti*, 463–519; Franco D'ANGELO, *Una carta archaeologica della Sicilia bizantina*, in: *Atti del colloquio internazionale di Archeologia Medievale (Palermo-Erice, 20–22 settembre 1974)*. Palermo 1976, 381–388; BONACASA CARRA, *Archeologia cristiana*; FIORILLA, *Territorio nisseno* 263–266; PANVINI, *Insedimenti*, 201. Vgl. Enrico ZANINI, *La ceramica bizantina in Italia tra VI e VIII secolo. Un sistema informativo territoriale per lo studio della distribuzione e del consumo*, in: *Céramique Médiévale en Méditerranée* 381–394.

sächlich als eine „Krisenzeit“ zu charakterisieren ist¹⁰⁸ – dem entspricht auch die Verkleinerung bisher bewohnter Flächen¹⁰⁹ – lassen Münzstreuung oder Baubefund an manchen Orten erkennen, dass eine Nutzungskontinuität über das 7. Jh. hinaus bestand¹¹⁰. Molinari¹¹¹, Maurici¹¹², Kislinger¹¹³, Fiorilla¹¹⁴ und Rizzo¹¹⁵ zufolge sollten wir darin ein verbreitetes Phänomen sehen.

Von einer bloßen Annahme hin zur fundmäßig gesicherten Aussage hat uns eine moderne „byzantinische Archäologie“¹¹⁶ Siziliens künftig zu führen. Sie bedarf daher vor allem datierter Leitfossilien, mittels derer die Keramik des 8.–10. Jhs.¹¹⁷ einer chronologischen und typologischen Erfassung zugeführt werden kann¹¹⁸. Keramik bildet stets den Hauptbestandteil an Funden, die Grabungen zutage fördern. Dies ist zum einen dadurch bedingt, daß sie multifunktional in Verwendung war (Baukeramik, Vorratsgefäße, Küchenware, Speisegeschirr), und zum anderen, weil sie sich über Jahrhunderte weg

¹⁰⁸ Ewald KISLINGER, Byzantinische Kupfermünzen aus Sizilien (7.–9. Jh.) im historischen Kontext. *Jahrbuch der Österreichischen Byzantinistik* 45 (1995) 30: Nach einem leichten Niveauabfall nach der Regierungszeit Konstans II. sind Münzen der Zeit 695–705 absent; es folgt wieder ein Anstieg mit einem neuen Höhepunkt um 750. Nach einer abermaligen Baisse um 800 gibt es einen letzten Anstieg in der 1. Hälfte des 9. Jhs.

¹⁰⁹ Zu diesem Phänomen im byzantinischen Italien insgesamt s. ZANINI, *Archeologia* 159–164.

¹¹⁰ Giuseppe VOZA, L'attività della Soprintendenza alle antichità della Sicilia orientale: Villa Romana di Patti, *Kokalos* 22–23 (1976–77) 574–579; Giuseppe CASTELLANA – Brian E. MCCONNELL, A rural settlement of Imperial Roman and Byzantine date in Contrada Saraceno near Agrigento, Sicily. *American Journal of Archaeology* 94 (1990) 25–44, 39 und Giuseppe CASTELLANA, Ricerche nel territorio Agrigentino. *Kokalos* 34/35 (1988–1989) 518–524.

¹¹¹ MOLINARI, *Popolamento* 362 mit Anm. 16.

¹¹² Ferdinando MAURICI, L'insediamento medievale in Sicilia: problemi e prospettive di ricerca. *Archeologia Medievale* 22 (1995) 494 mit Anm. 41.

¹¹³ Ewald KISLINGER, Archeologia e storia: ricostruire insieme la Sicilia bizantina, in: *Congresso Sicilia bizantina* 92 und 96.

¹¹⁴ FIORILLA, Territorio nisseno.

¹¹⁵ Maria Serena RIZZO, L'insediamento rurale nell'agrigentino tra tardoantico e alto-medioevo, in: *Congresso Sicilia bizantina*.

¹¹⁶ Einen ersten Ansatz dazu bieten die Beiträge des ersten Kongresses über „byzantinische Archäologie“, der 1998 in Corleone stattfand (= *Congresso Sicilia bizantina*), wengleich sie meist noch das 7. Jh. als Grenze haben, s. hingegen VITALE, *Metodi*, die essentielle Ansätze für eine zukünftige Forschung artikuliert. Vgl. ISLER, *Ietina*.

¹¹⁷ Einzig dazu bisher PATITUCCI-UGGERI, *Ceramica del IX secolo*. Von Bedeutung sind glasierte Waren des 4.–8. Jhs., vgl. PAROLI, *Ceramica invetriata* und (speziell für Sizilien) Pinella MARCHESE, *Ceramica a „vetrina pesante“ rinvenuta alla periferia di Catania nell'insediamento bizantino di Nesima Superiore*, in: *Céramique Médiévale en Méditerranée* 509–512; zum bisherigen Stand der Forschung s. MOLINARI 1992, 361 und 362 mit Anm. 16. Nach den „dunklen Jahrhunderten“ setzt eine Kenntnis der Feinkeramik erst wieder mit der arabischen und normannischen Epoche ein, vgl. etwa Paolo ORSI, *Ceramiche arabe di Sicilia*. *Bollettino d'Arte* (1915) 1–8; Franco D'ANGELO, *Le ceramiche islamiche (fine X inzi XI secolo) conservate nei depositi del Museo Archeologico Regionale A. Salinas di Palermo*. *Quaderni del Museo Archeologico Regionale „Antonino Salinas“* 2 (1996) 131–142; Lucia ARCIFA – Elisabeth LESNES, *Primi dati sulle produzioni ceramiche palermitane dal X al XV secolo*, in: *La céramique médiévale en Méditerranée occidentale (Actes du VI congrès international, Aix-en-Provence 1995)*. Aix-en-Provence 1997, 405–418; Jean Marie PESEZ – Jean Michel POISSON, *Céramique locale et céramique d'importation sur les sites siciliens, XI–XIV siècles*, in: *A cerâmica medieval no Mediterrâneo ocidental (Actas do IV congresso internacional, Lisboa 1990)*. Mertola 1991.

¹¹⁸ FIORILLA, Territorio nisseno 260–261; s. allgemein Leslie BRUBAKER – John HALDON, *Byzantium in the Iconoclast era (ca. 680–850). An annotated survey (Birmingham Byzantine and Ottoman Monographs 7)*. Aldershot 2001, 150–151.

erhält, denn im Gegensatz zu anderen Rohstoffen wie Metall oder Glas war sie nicht wiederverwertbar¹¹⁹. Bisher gibt es nur wenige Fundtypen, die als Zeugen für eine Zeit „nach 700“ herangezogen werden können. Als bedeutender Ansatz, was Sizilien betrifft, ist abermals Orsi anzuführen: der von ihm beschriebene Lampentyp „a rosario“¹²⁰ kann heute durch datierte archäologische Kontexte dem 6.–8. Jh. zugewiesen werden¹²¹, wodurch er zum „Leitfossil“ für die Epoche am Übergang von der Antike zum Mittelalter wird¹²². Ein zweiter, wichtiger Lampentyp namens „lucerne (ovoidale) a ciabatta“, der in der Nachfolge des zuvor genannten Typs steht, stellt zeitlich anknüpfend ein „Leitfossil“ für das 8. und beginnende 9. Jh. dar¹²³.

Diesen Überblick abschließend sei noch auf archäologische Stätten hingewiesen, welche im näheren Umland der Conventazzo-Grabung situiert sind. In erster Linie anzuführen ist hier die spätantik-frühbyzantinische *Villa Bagnoli* bei Capo d'Orlando¹²⁴, die für unsere Ergebnisse die wichtigste Vergleichsbasis offeriert, da dort außer den architektonischen Überresten reiches Fundmaterial existiert. Eine *villa rustica* (angeblich 1./2. Jh.) wurde nahe Mirto (contrada Faccio) festgestellt¹²⁵. Sondagen im Kloster von San Filippo di Fragalà (Frazzanò) deckten nördlich der heutigen Kirche (Anfang 12. Jh.) einen Vorgängerbau auf¹²⁶. Aus dem Gemeindegebiet von San Marco sind bisher zwei Nekropolen bekannt (eine in der *contrada Triari*, die andere in der *contrada Marina*), deren erstere in byzantinische Zeit datiert wird¹²⁷. Im Ort selbst wurden am Vorplatz der Kirche San Teodoro/Badia piccola mehrere Vorratszisternen und ein bichromes Mosaikfragment der Spätantike freigelegt; bei der Kirche S. Basilio kamen spätmittelalterliche bis neuzeitliche Wohnhäuser zutage¹²⁸. Die Funde (darunter eine einräumige „Kapelle“

¹¹⁹ ABADIE-REYNAL, *Céramique* 143.

¹²⁰ ORSI, Grotticelli, 343, „lucerne a navicella con una decorazione a rosario“. Daraus leitet sich die gängige Bezeichnung der „a rosario“-Lampen her. Weitere Bezeichnungen sind „lucerne siciliane“ (so Letizia PANI-ERMINI – Mariangela MARINONE, Museo Archeologico Nazionale di Cagliari. *Catalogo dei materiali paleocristiani e altomedievali*. Roma 1981, 155–156, Nr. 276–279) oder „tipo siciliano“ (*Roma dall'antichità al medioevo* 434).

¹²¹ CECI – PATTERSON, *Lucerne*, 749–754; Helen PATTERSON, Un aspetto dell'economia di Roma e della Campagna Romana nell'altomedioevo: l'evidenza della ceramica, in: Lidia PAROLI – Paolo DELOGU (Ed.), *La Storia economica di Roma nell'Alto Medioevo alla luce dei recenti scavi archeologici* (Atti del seminario, Roma 2–3 aprile 1992). Firenze 1993, 315; *Roma dall'antichità al medioevo* 434–438.

¹²² ORSI, Grotticelli 334–356; VITALE, *Metodi*; Paul ARTHUR – Helen PATTERSON, *Ceramics and Early Medieval central and southern Italy: "a potted history"*, in: FRANCOVICH – NOYÉ 409–411.

¹²³ Otto MAZZUCATO, *La ceramica laziale nell'Altomedioevo*. Roma 1977, 43–45; CECI – PATTERSON, *Lucerne* 754–759; *Roma dall'antichità al medioevo* 439–443; Lidia PAROLI in *Céramique Médiévale en Méditerranée* 590–594.

¹²⁴ Umberto SPIGO, *Capo d'Orlando: il complesso termale di età imperiale romana di Bagnoli-S. Gregorio*. Scavi 1987–1992. *Kokalos* 39/40 (1993–94) 1027–1037; *Agathyrnide*. Antiquarium Capo d'Orlando. Capo d'Orlando 2002.

¹²⁵ Giovanna Maria BACCI, *Ritrovamenti e esplorazioni archeologiche nell'area dei Nebrodi*, in: „Da Tindari ... per Agatirno ... ad Alesa“. *Giornate di archeologia – architettura – storia*. Atti. Capo d'Orlando 1997, 13.

¹²⁶ Antonello PETTIGNANO, *Memorie recuperate*, in: „Da Tindari (wie Anm. 125) 63–64 und fig. 3.

¹²⁷ *Contrada Triari*: Giacomo SCIBONA, *S. Marco d'Alunzio (Messina): campagna di scavi 1979*. *B. C. A. Sicilia* 3 (1983) 149; KISLINGER, *Regionalgeschichte* 161. *Contrada Marina*: Carmela BONNANO, *Scavi e ricerche a Caronia e a San Marco d'Alunzio*. *Kokalos* 39/40 (1993/1994) 975–984.

¹²⁸ Beide Fundkomplexe sind noch unpubliziert.

mit Apsis) zweier Kampagnen (1982, 1992) auf einem Plateau unterhalb von San Marco – Piano Grilli – sind laut den Ausgräbern der kaiserzeitlichen und frühbyzantinischen Epoche zuzuordnen¹²⁹. Zuletzt sei auch noch Pizzo Asa angeführt, das zwar keine grabungsmäßige Fundevidenz aufzuweisen hat, aber von den Bauresten her (Ringmauer und Zisterne) vielleicht wie Piano Grilli in byzantinischer Zeit als Befestigung diente¹³⁰.

S. Metaxas

2. Die Grabungskampagnen I (2002) und II (2003) beim Conventazzo-Oktogon

Wie bereits einleitend dargelegt, bilden die Grabungskampagnen das Kernstück des Gesamtprojektes. Auf ihrer Basis soll – gemeinsam mit der Oktogon-Bauanalyse – die Geschichte des Klosterareals detailliert untersucht werden und in den Rahmen des zentralen Val-Demone-Raumes eingebracht werden, welcher seinerseits historisch und archäologisch Vergleichsmaterial bietet.

Das Areal rund um das Conventazzo-Oktogon ist in seinen ebenen Abschnitten schon an der Oberfläche abundant mit Fragmenten von Ziegeln und Keramik durchsetzt; markante Geländeformen, die auf Baustrukturen schließen lassen, fehlen hingegen. Wo sollten unter diesen Voraussetzungen die Grabungsschnitte derart gelegt werden, auf daß die Aussagekraft möglichst optimiert werde? Ein neues, in Österreich an der Zentralanstalt für Meteorologie und Geodynamik (ZAMG) in Zusammenarbeit mit dem Vienna Institute for Archaeological Sciences (VIAS) verfeinertes Verfahren war hierzu hilfreich.

2.1. DIE GEORADAR-PROSPEKTION IM HERBST 2001

Ausgezeichnete Wetterverhältnisse begünstigten die Messungen in der Zeit vom 21. bis 24. Oktober 2001 (zu den Beteiligten s. unten 171). Der Boden war stark ausgetrocknet, wodurch eine gute Eindringtiefe der elektromagnetischen Wellen zu erwarten war (zum technischen Grundkonzept s. den entsprechenden Beitrag im Anhang). Aufgrund der zahlreichen Steine und Ziegelreste an der Oberfläche des zu vermessenden Bereiches in einem Olivenhain mußte vor Beginn das Areal gesäubert werden, um eine Ankopplung der Georadar-Antennen an die Oberfläche zu gewährleisten. Gute Bedingungen herrschten für die Meßreihen zwischen den einzelnen Baumreihen. Allein im Bereich der Baumreihen selbst verursachten die zahlreichen Hindernisse eine schlechtere Datenqualität.

Für die Messung wurden drei getrennte Flächen mit einem digitalen Tachymeter ausgesteckt und anschließend mittels der vorhandenen Fixpunkte absolut eingemessen. Aufgrund von Sondagen war anzunehmen, daß die Mauerstrukturen bis knapp an die Oberfläche reichen. Um eine entsprechende laterale Auflösung zu gewährleisten, wurden die Messungen mit einer 900 MHz-Antenne durchgeführt, und zwar auf 185 Meßlinien mit 0,5 m seitlichem Abstand und einer Meßpunkt-Abfolge von 0,05 m. Insgesamt sind so auf einer Fläche von 5400 m² mit dem Georadar 216.760 Meßpunkte erfaßt worden.

¹²⁹ KISLINGER, Regionalgeschichte 164 mit Anm. 1460. Eine dritte Kampagne erfolgte 2002.

¹³⁰ FILANGERI, Agora 46–47.

Aus den Georadar-Werten wurde ein dreidimensionaler Datenblock der Amplituden der reflektierten elektromagnetischen Wellen erzeugt. Daraus erzeugte man in Abständen von 0,1 m horizontale Amplitudenflächenpläne in Form digitaler SW-Bilder. Die einzelnen Bilder wurden über die geodätisch gemessenen Rasterpunkte georeferenziert und in das Geographische-Informationssystem (GIS) „ArcView“ integriert.

Für die archäologische Interpretation wurden einzelne Tiefenschnitte mit einer Mächtigkeit von 0,3 m erstellt (Tafel 1, 1–2). Die Mauerstrukturen sind sehr deutlich in den einzelnen Radargrammen zu erkennen.

Es lassen sich je nach Tiefenschnitt vier bis fünf Bereiche mit Gebäudestrukturen herausarbeiten (Tafel 2): Im Norden ist ein Gebäudekomplex erkennbar, der an einer NW-SO verlaufenden Mauer orientiert ist. Dieser Mauerverlauf stimmt mit der Ausrichtung eines bestehenden Gebäudes mit rechteckigem Grundriß überein, welches nördlich davon liegt. – In der Mitte der Meßfläche ist ein zweiter Baukomplex mit kompliziertem Aufbau auszumachen, der dreiseitig um einen Innenhof von ca. 15 × 25 m angeordnet ist. Dieser zentrale Gebäudekomplex verläuft sowohl nach Osten als auch nach Westen über die Meßfläche hinaus. Im Westen konnte ein gut erhaltener Bauteil mit mehreren Räumen über die Messung aufgelöst werden; die Mauerstärke beträgt bis zu 1 m. Der Süden dieses Komplexes wird durch einen Bereich mit mindestens zwei Räumen gebildet, die auf einer Länge von 17,5 m erkennbar sind. Im Osten bestanden wenigstens 5 Räume. – Mit einer Distanz von über 40 m folgt weiter im Süden ein rechteckiger Bau (mit zumindest zwei Räumen und starken Schuttschichten im Inneren), welcher sich ebenfalls über den Meßbereich hinaus erstreckt. Seine Längsachse liegt in N-S-Richtung und weicht damit deutlich von den bisher beobachteten Orientierungen ab. – Durch massiven Innenschutt ist auch ein Gebäude im Nahbereich südöstlich des Conventazzo-Oktogons charakterisiert. Erst in größerer Meßtiefe wird der Befund deutlich und es zeigt sich, dass es sich um die Reste einer Kirche samt Anbau handelt. – Ebenfalls erst in größerer Meßtiefe (beginnend bei 0,6 m) wird südöstlich des zentralen Gebäudekomplexes gegen das Oktogon hin eine weitere (eigenständige?) Struktur faßbar, die mehrere Räume besitzt. Der Fundamentbereich wird hier und in den anderen Gebäudestrukturen bei 0,9 bis 1,2 m Tiefe erreicht, lediglich bei der Kirche reicht er bis zu 1,8 m.

W. Neubauer (unter Mitarbeit von E. Kislinger)

2.2. ZIELSETZUNGEN UND METHODISCHE VORGANGSWEISE DER GRABUNG

Aufbauend auf den Meßergebnissen der Georadar-Prospektion 2001 wurden für die erste Kampagne von vier Wochen im Jahre 2002 zwei Bereiche ausgewählt:

- a) Südöstlich des Conventazzo-Oktogons zeigten die ausgewerteten Radardaten in einer Tiefe von 1,5 bis 1,8 m die Grundrisse einer 8 m breiten und 16 m langen Kirche mit Ostapsis und einem Anbau (3,5 × 4 m) im Südosten. In diesem Bereich wurde Grabungsschnitt 1 auf einer Fläche von 31,5 m² angelegt. Das Nordprofil verläuft in der Mitte der Apsis, das Westprofil liegt annähernd in der Mitte des Kirchenanbaus (Tafel 3, 1).
- b) Nordwestlich des Oktogons war durch die Auswertung der Radarmessungen eine dreiseitige Gebäudegruppe rund um einen 15 × 12 m großen Innenhof zu erkennen. Südöstlich davon wurde in einer Tiefe von 0,6–0,9 m

eine weitere Raumstruktur festgestellt, die aufgrund ihrer Orientierung dem Ensemble von Gebäuden um den Innenhof zugehörig scheint. Diese Struktur wurde für eine archäologische Untersuchung ausgewählt, da sie dem Oktagon/Kirchenkomplex am nächsten liegt und eine stratigraphische Verbindung zur Kirche in diesem Bereich am wahrscheinlichsten ist. Die Grabungsschnitte 2–4 wurden so angelegt, daß ein Raum dieser Gebäudestruktur – fortan „Einheit A“ genannt – auf einer Fläche von 73,5 m² vollständig freigelegt werden konnte (Tafel 3, 2).

Beide Grabungsbereiche sind nur rund 50 m Luftlinie voneinander entfernt, werden aber durch eine asphaltierte Nebenstraße, sie begrenzende Trockenmauern und zwei Gebüschstreifen voneinander getrennt. Laut Georadar-Ergebnissen unterscheidet sich der Bereich der Kirche von dem der dreiseitigen Gebäudegruppe durch das Vorhandensein massiver Schuttpakete innerhalb und außerhalb der Mauerzüge, die bei letzterem völlig fehlen. Auch die Gründe hierfür galt es archäologisch zu hinterfragen und das stratigraphisch/chronologische Verhältnis beider gewählten Schnittareale festzustellen.

Die im Jahr 2002 angelegten Schnitte 1 „Kirche“ und 2–4 „Einheit A“ (mehrräumiges Gebäude) bildeten den Ausgangspunkt für die zweite Kampagne im Mai 2003.

Ziel der fünfwöchigen Grabung war es, den „Kirchenschnitt“ zu erweitern (Schnitt 5), um die Grundstruktur der Kirche zu erfassen, die Kirche selbst und ebenso den Anbau bis auf das jüngste Fußbodenniveau freizulegen und mit Unterstützung durch eine Restauratorin, Frau B. Mencarelli, die bereits 2002 festgestellten Freskenreste im Bereich der Apsis zu bergen und zu bestimmen. Hiefür wurde Schnitt 1 nach Westen hin um eine Fläche von 5 × 5 m (Schnitt 5) ausgedehnt. Das Nordprofil der Grabungsfläche (Schnitt 1+5) wurde weit ins Kirchenschiffinnere verlängert, die zu untersuchende Fläche im südlichen Kirchenanbau um 2 m² vergrößert und eine 3 m² große Zone außerhalb der südlichen Außenmauer der Kirche erfasst. Komplizierte bauliche Details, die sich im Westprofil von Schnitt 1 andeuteten, konnten so flächig gegraben und interpretiert werden.

Bei Schnitt 2–4 erfolgte keine Erweiterung. Die bereits 2002 flächig erfaßte (Gebäude-)Einheit A war bis zum natürlich anstehenden Gestein vollständig zu ergraben, und es galt, die einzelnen Bauphasen mit Unterstützung einer Bauforscherin, Frau Mag. S. Sam, zu analysieren und über die Auswertung des reichen Fundmaterials möglichst auch zu datieren.

Beide Grabungsbereiche, „Kirchenschnitt“ und „Einheit A“ liegen in einem Olivenhain, der heute noch bewirtschaftet wird. Die in regelmäßigen Abständen gepflanzten Bäume stellten sowohl für die Georadar-Prospektion als auch für die Anlage der Grabungsschnitte ein erhebliches Problem dar. Die Bäume sollen wenn möglich nicht gefällt noch deren Wurzeln beschädigt werden. Um die Schnitte optimal zu plazieren, wurde ein lokaler Meßraster von 5 × 5 m ausgesteckt und die vom Radar angezeigten Mauerzüge mit Farbspray im Gelände markiert.

In beiden Grabungszonen wird schichtweise tiefergegangen. Die festgestellten Schichten werden in Stratifikationseinheitsblättern dokumentiert, Sedimentproben jeder Schicht entnommen und bestimmt. Funde werden den einzelnen Stratifikationseinheiten quadratmeterweise zugewiesen. Mag. Ch. Ansorge von der Hochschule für Technik und Wirtschaft zu Dresden erstellte im Herbst 2002 ein dreidimensionales Geländemodell des gesamten Grabungsareals und eine Datenbank für das GIS-Programm „ArchView“. Die Do-

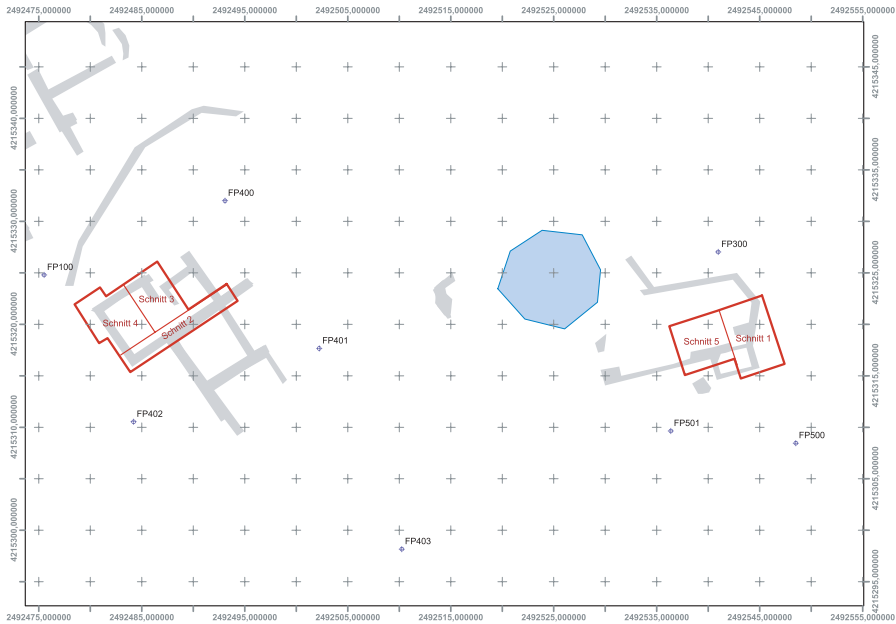


Abb. 1: Lageplan der Grabungsschnitte 1–5 auf Basis der Prospektionsergebnisse

kumentation im Feld wurde in der Kampagne II auf digital umgestellt (zu den technischen Details s. die Beitragsteile von Ch. Ansorge – Ph. Nigst im Anhang). Die gesamte Grabungsdokumentation (Schichtblätter, Digitalphotos, Pläne, Fundinventar, dreidimensionales Geländemodell) wird mit diesem Programm verwaltet¹³¹; derart sind geographische Informationen mühelos mit archäologisch/historischen Daten zu verknüpfen.

I. Ott

2.3. BESCHREIBUNG DER EINZELNEN SCHNITTE

Die folgende Darstellung bietet den aktuellen Stand, der aufbauend aus den beiden Kampagnen I (2002) und II (2003) resultiert. Zwischenergebnisse werden nur dann vermerkt, sofern sie für das Verständnis bzw. die bislang erzielten Ergebnisse von Relevanz sind.

2.3.1. SCHNITT 1+5 („KIRCHENSCHNITT“)

Vor dem Abtragen der Humusschicht wurde ein genaues Flächennivellement durchgeführt, da sich im Bereich des Kirchen-Anbaus schon oberflächlich landwirtschaftlich angeackerte Mauerkronen erkennen ließen. Mauerzüge zeigten sich also entgegen der Georadar-Prognose nicht erst ab 1,8 m Tiefe, sondern bereits nach dem Abstechen der obersten Grassodenschicht. Wie vorausgesagt, lagen innerhalb der Apsis und des Anbaus massive Versturzschichten mit teilweise noch im Verband befindlichen Wandteilen samt Freskenresten. Außerhalb der Kirche ließ sich ein „antiker“ Humushorizont fest-

¹³¹ Alle Befunde sind aber zusätzlich auch zeichnerisch (Handskizzen) und photographisch (Digitalbilder und Dias) festgehalten.



Abb. 2: Grabungsarbeiten im Inneren des Kirchenschiffs (Schnitt 1+5)

stellen, bedeckt von einer Schicht herabgestürzter Dachziegel. Zwei Mauerzüge südlich des Apsidialbereiches bzw. westlich des Anbaus zeigten eine von den ergrabenen Kirchenmauern abweichende Orientierung.

Bisher wurde in den Schnitten 1+5 eine Fläche von 56,5 m² bis in eine Tiefe von 1 m untersucht. Insgesamt wurden 98 Stratifikationseinheiten unterschieden; deren genaue Beschreibung und Plandarstellung wird in der erwähnten VTIB-Abschlußpublikation erfolgen.

2.3.2. SCHNITT 2-4 („EINHEIT A“)

Die Grabungen begannen hier mit einer 2 m breiten und 12,5 m langen Sondage entlang einer O-W verlaufenden Mauer, die von einem beckenartigen Einbau unterbrochen wird (Schnitt 2). Rasch zeigte sich, daß ein mehrphasiger Aufbau des anfänglich anhand der Radar-Daten als Einzelraum aufgefaßten Areals bestand, weshalb zur besseren Differenzierung der sich (zeitlich) überlagernden Räume für den vorliegenden Bericht die Gesamtbezeichnung „Einheit A“ eingeführt wird.

Eine baldige Erweiterung der Grabungsfläche ergab, daß entgegen den Ergebnissen der Georadar-Messung in der Nordostmauer von „Einheit A“

kein Eingang lag, dafür aber (fast in der „Raum“-Mitte) eine massive, L-förmige Steinkonstruktion anzutreffen ist. Um den gesamten Innenraum von Einheit A erfassen zu können, wurde Schnitt 4 geöffnet. Neben den nur noch in ihren Fundamenten erhaltenen Mauerzügen von Einheit A ließen sich in der Fläche insgesamt 4 Pfostengruben, zwei rechteckige Gruben und ein Gräbchen feststellen. Die Westmauer wird durch einen verfüllten, SW nach NO verlaufenden Graben, der vor der Freilegung als Mauer interpretiert wurde, unterbrochen, der chronologisch das Ende von Einheit A signalisiert. In einem Abstand von nur 20 cm von der NO-Ecke wurde ein Mauerzug vorgefunden, der aufgrund des harten Lehmbodens vom Georadar nicht als solcher erkannt worden war. Einheit A gehört demnach einem größeren Gebäudeverbund an.

Bei den mit der zweiten Kampagne vorerst abgeschlossenen Schnitten 2–4 wurde eine Fläche von 73,5 m² bis zum anstehenden Gestein abgegraben, untersucht und wieder aufgefüllt. Insgesamt waren in der Einheit A 83 Stratifikationseinheiten zu unterscheiden; deren genaue Beschreibung und Plan-darstellung wird analog zu Schnitt 1+5 in der erwähnten VTIB-Abschlußpublikation erfolgen.

I. Ott

2.4. FUNDE

Die analytische Vorstellung des Fundmaterials erfolgt getrennt nach den beiden Grabungsarealen, wobei das umfassende Fundinventar erst in der VTIB-Abschlußpublikation veröffentlicht wird, hier nur eine Orientierung erfolgt. Als Sondergruppen werden Münzen und Freskenreste kurz in eigenen Unterkapiteln behandelt. Bei letzteren kann derzeit nur ein restauratorischer Vorbericht über die Kleinfragmente gegeben werden; eine weiterreichende Auswertung und Synthese, die auch größere Versturzstücke mit Bemalung mit einbezieht, ist sinnvollerweise erst nach Freilegung des gesamten Apsidialbereiches (vorgesehen für Kampagne III) umzusetzen.

2.4.1. FUNDINVENTAR SCHNITT 1+5

Von 98 definierten Stratifikationseinheiten, die (relativ)chronologische, bauliche und geologische Einheiten darstellen, waren 38 fundführend. Ebenso wie in Schnitt 2 (s. anschließend 2.4.2.), jedoch quantitativ noch viel massiver, war auch hier Baukeramik (Dach- und Bodenziegel) die dominante Fundgattung (ca. 3000 Kilo) mit einer annähernd gleichen quantitativen Verteilung. Im Gegensatz zu Schnitt 2 ist sie hier als Versturz des Mauerwerks und der ehemaligen Dachkonstruktion anzusprechen. Analog dazu war auch der Prozentsatz an Mörtel sehr hoch (ca. 85 Kilo) mit einer Verteilung auf acht SE. An Baukeramik sind hier sogar ganze Dach- und Bodenziegel erhalten (Taf. 4, 1).

Sehr gering fiel der Fundanfall bei der Gefäßkeramik aus, wo bisher Grobkeramik (130 Fragmente), glasierte Keramik sowie Maiolica (40 Fragmente) zum Vorschein kamen. Manchmal befanden sich Mörtelspuren an den Scherben, so daß ein Verbau im Mauerwerk zu erwägen ist. Unter den Funden befanden sich außerdem ein Glaslampeneinsatz, Fensterglasfragmente, auffällig viele Nägel, Münzen (vgl. 2.4.3.), menschliche Knochen und in hohem Maße Wandmalerei-Fragmente (vgl. 2.4.4.).

Aufgrund des geringen Anfalls aussagekräftiger Funde sind unsere Interpretationsmöglichkeiten hier vorerst noch sehr begrenzt. Speziell die Münzen erlauben es, den Bau der Kirche in normannische Zeit zu datieren¹³², die Keramik hingegen, die ja überwiegend Zeuge der jüngsten Nutzung ist, scheint gänzlich neuzeitlich zu sein¹³³ (Taf. 4, 2; Taf. 5, 1). Erst weitere Ergebnisse der folgenden dritten Kampagne, die sich schwerpunktmäßig der Kirche widmen wird, vermögen zusätzliche Aufschlüsse zu einer älteren Nutzung zu erbringen.

2.4.2. FUNDINVENTAR SCHNITT 2–4

Von den insgesamt 83 Stratifikationseinheiten waren 29 Einheiten fundführend. Schichtvermischungen durch anpassende Funde sind mehrfach zu beobachten. Rezente Funde (Plexiglas, Draht, Flaschenglas) befanden sich im Humus als auch in einigen darunterliegenden Stratifikationseinheiten, etwa beim Wurzelstock eines Olivenbaums, und in der Verfüllung im Bereich der L-förmigen Steinkonstruktion. Der Erhaltungszustand der Funde zeichnete sich im allgemeinen durch Abnutzung aus, die charakteristisch ist für ein langes Verweilen im Boden samt einer kontinuierlichen Bewegung im Erdreich, was mit der wirtschaftlichen Bearbeitung des Olivenhains in Zusammenhang stehen mag.

Bereits im Humus war eine massive Streuung an kleinteilig gebrochener Baukeramik (Ziegel) zu erkennen, die sich als Hauptfund durch alle fundführenden Schichten zog (insgesamt ca. 850 Kilo). An Quantität folgen abermals stark fragmentierte Scherben, die vorerst als Grobkeramik (3621 Wand-, 241 Rand-, 103 Henkel- und 67 Bodenfragmente) anzusprechen ist und viele Gefäßformen mit verschiedensten Funktionen abdeckt (Vorratsgefäße, Küchenware, Gebrauchskeramik, Speisegeschirr). Die keramischen Funde werden komplettiert durch ca. 270 Fragmente an Feinkeramik, wovon 93 Fragmente vorerst einer afrikanischen Herkunft zugeführt werden können. Derselben Provenienz entspringen auch die Funde an Tonlampen (35 Fragmente). Von ca. 60 Fragmenten aus Glas ließ sich der Hauptteil Trinkgläsern zuordnen. Ergänzt werden die keramischen Funde durch Nägel, Bronzeile unbestimmter Funktion, Steinwerkzeuge (v. a. Obsidiane), Handwerksabfall, schließlich Holzkohle und in hohem Maße Tierknochen (2000 Fragmente).

Scherben glasierter Keramik, die aufgrund technischer Merkmale vorerst als spätmittelalterlich und neuzeitlich anzusprechen sind (Taf. 5, 2), stammen in größtem Maße aus den Humusschichten (19 bzw. 14 Fragmente), aus den Ablagerungen innerhalb und außerhalb von (Gebäude-)Einheit A (10 Fragmente), aus dem Wurzelloch eines Olivenbaums (1 Fragment) und der Verfüllung der L-förmigen Steinkonstruktion (1 Fragment).

Eine chronologische Unterscheidung der von den Ausgräbern definierten drei Phasen „ältere Bauphase I“ (blau), „Hauptphase II“ (rot) und „jüngere Bauphase III“ (gelb) anhand der Funde kann zu diesem Zeitpunkt noch nicht

¹³² Zu architektonischen Parallelen s. unten 138.

¹³³ An dieser Stelle gilt mein Dank meiner Kollegin Joanita Vroom (Niederlande), Spezialistin für byzantinische, spätmittelalterliche und neuzeitliche Keramik, welche die Funde durchgesehen hat. Genaue Klassifikationen können nicht vorgenommen werden; technische Merkmale und Vergleiche mit Funden identischen oder ähnlichen Dekors an anderen Orten (etwa in Bötien, Albanien, dem westlichen Kleinasien), lassen die Keramik aus Schnitt 1 ins 17. (Maiolica-Schale im Kirchenanbau) bis 19. Jh. setzen.

bestätigt werden. Dies beruht einerseits auf dem zuvor beschriebenen Entwicklungsstand archäologischer Forschungen zum byzantinischen Sizilien (vgl. oben 1.2.) und der derzeit nicht möglichen Einordnung der „Grobkeramik“, andererseits darauf, daß das datierende Material zeitlich homogen ist und sich gleichermaßen durch alle Stratifikationseinheiten zieht. Aber auch innerhalb dieser Homogenität (5.–7. Jh) mögen bauliche Veränderungen stattgefunden haben, die sich aber nicht markant im Fundspektrum niederschlagen müssen.

Grobkeramik: Kochgeschirr

Aus dem Fundinventar geht hervor, dass der Hauptteil der Funde aus Grobkeramik¹³⁴ besteht. Im Gegensatz zu feinkeramischen Importen stehen, wie gesagt, unsere Kenntnisse der sizilianischen Grobkeramik jeder Zeitstellung noch an den Anfängen und es gibt momentan kein adäquates Vergleichsmaterial. Im Zuge eines Vorberichtes sollen vorerst ausgewählte Funde vorgestellt werden, die Entsprechungen an anderen sizilianischen oder außersizilianischen Orten finden und – dies vorweggenommen – eine Zeitspanne vom 5.–7. Jh. ergeben.

Erste Vergleichsstücke zu Formen des 4./5. Jhs. liegen in Funden aus Agrigent vor¹³⁵, welche hier mit einem Typ korrespondieren (Abb. 3, 1). Bessere Vergleichsmöglichkeiten für unsere Formen – da auch geographisch näher – bot das Antiquarium im benachbarten Capo d’Orlando, das die (unpublizierten) Funde aus der spätantik/frühbyzantinischen *Villa Bagnoli* ausstellt. Entsprechungen fanden dort Kasserolle-Randformen, mit einer sehr charakteristischen Randbildung und steilen Wandung, die sowohl dort als auch bei uns häufig vertreten sind (Abb. 3, 2–5) und sich nur durch Varianten voneinander unterscheiden. Während sie in Capo d’Orlando ins 5./6. Jh. datiert werden, gibt ein außersizilianischer Kontext für eine ähnliche Form eine Datierung bis ins 7. Jh. vor¹³⁶.

Vermutungen zur Raumnutzung können durch einige „verkochte“ Wandfragmente, die auf eine Verwendung über einer Feuerstelle hinweisen, abgeleitet werden. Als Rest einer Küchenausstattung zu interpretieren ist ein Eckfragment in Form eines Rosts für eine Feuerstelle aus den Verfüllungen der beiden Gruben im Bereich der L-förmigen Steinkonstruktion, das anhand ganz erhaltener Stücke in Capo d’Orlando (Antiquarium) als solcher identifiziert werden kann. Ein Zusammenhang mit der funktionell bisher nicht sicher zu deutenden Konstruktion, die ursprünglich Bestandteil eines Mauerverbandes war, in sekundärer Nutzung als Herd ist nicht auszuschließen.

Gerade durch den hohen Bestandteil an Grobkeramik wird eine wirtschaftliche Nutzung des Raumes, der auch in einem größeren Kontext gese-

¹³⁴ Der Begriff Grobkeramik umfasst im klassischen Verständnis vor allem Küchenware und Gebrauchskeramik – im Gegensatz zur Feinkeramik. Lokal hergestellte, grobe Keramik, die aufgrund eines fehlenden Überzuges/Glasur oder fehlender Bemalung/Stempelung oft als „Grobware“ angesprochen wird, kann im Mittelalter trotzdem auch Teller und Schalen, also Speisegeschirr umfassen.

¹³⁵ *Agrigento. La necropoli paleocristiana sub divo (Studi e Materiali 10)* Roma 1995, 159 (Nr. 1, Taf. XIX, 7).

¹³⁶ Nicht identisch, aber doch ähnlich sind Kasserolle-Formen in Rom, vgl. Marco Ricci, *La ceramica comune dal contesto di VII secolo della Crypta Balbi*, in: SAGUI, *Ceramica* 353 Abb. 1.1.

hen werden sollte, wahrscheinlich. Dafür spricht auch die eher periphere Lage zum (laut Georadar-Prospektion, s. oben 2.1.) zentralen Hof weiter nördlich, um den am ehesten die Wohn- und Gesellschaftsräume gruppiert waren.

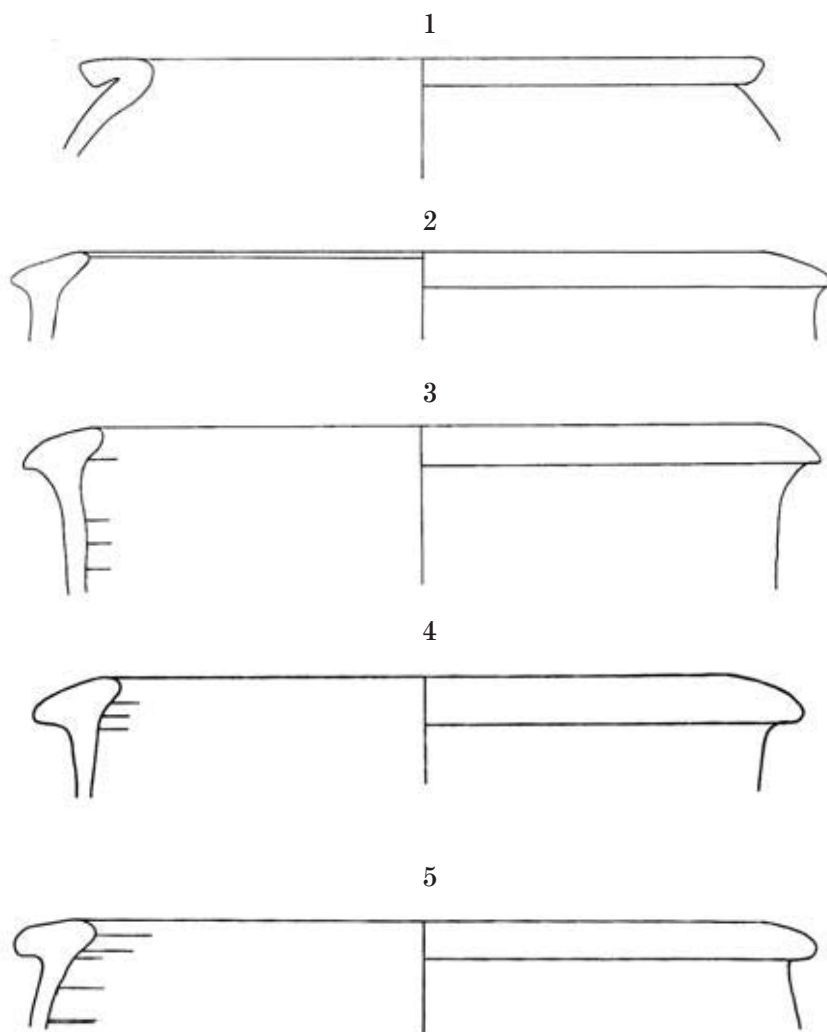


Abb. 3: Kasserole-Formen (1 : 2)

Tafelgeschirr

Die Interpretation einiger in (Gebäude-)Einheit A (Schnitt 2–4) zutage getretenen Importe (Randfragmente und gestempelte Wandfragmente) konnte sich an den bestehenden Klassifikationen von Waren, die im Mittelmeerraum während des 5.–7. Jhs. kursierten, orientieren. Sie geben auch die wichtigsten chronologischen Anhaltspunkte, wobei alle Formen eine zeitlich homogene Gruppe darstellen. Dazu gehören Teller und Schalen des 5. Jhs. der Formen *Hayes 67/Mackensen 9.1*¹³⁷ (1 Fragment/Abb. 4, 1), *Hayes 80A*¹³⁸ (1

¹³⁷ HAYES, Pottery 112–116; MACKENSEN, El Mahrine 403, Taf. 56.

¹³⁸ HAYES, Pottery 127–128.

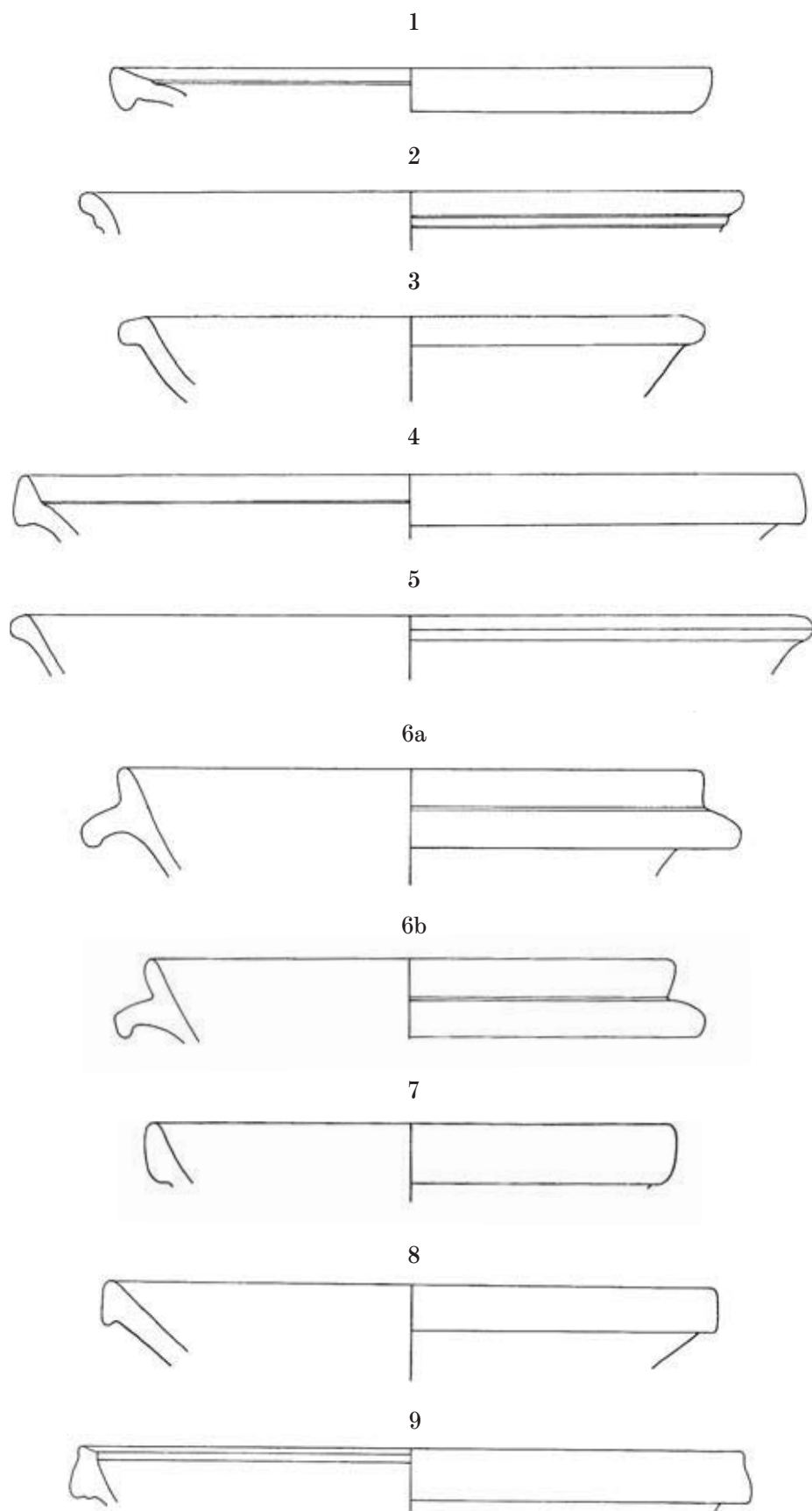


Abb. 4: African Red Slip Ware/Late Roman C Ware (1:2)

Fragment/Abb. 4, 2) und *Mackensen* 18.2¹³⁹ (1 Fragment/Abb. 4, 3) sowie gestempelte Bodeninnenseiten mit Palmetten¹⁴⁰ – (Taf. 6, 1) und Waffel-/Kreisdekor¹⁴¹ (Taf. 6, 2). Überwiegend dem 6. Jh. zuzuordnen sind die Formen *Mackensen* 28.2¹⁴² (1 Fragment/Abb. 4, 4), *Hayes* 80B/*Mackensen* 27.3¹⁴³ (1 Fragment/Abb. 4, 5), *Hayes* 91C/*Mackensen* 52.4¹⁴⁴ (6 Fragmente/Abb. 4, 6a–b), *Hayes* 99A¹⁴⁵ (1 Fragment/Abb. 4, 7) und *Hayes* 103¹⁴⁶ (1 Fragment/Abb. 4, 8). Chronologisch bedeutsam ist die Häufigkeit der „Kragenschüssel“ *Hayes* 91 C mit einer Laufzeit vom späten 5. und das ganze 6. Jh. hindurch¹⁴⁷.

Auch ein Rand- (Abb. 4, 9) und ein Bodenfragment phokäischer Feinkeramik (*LRC/Phokaeian Red Slip ware*)¹⁴⁸ der Leitform *Hayes* 3F¹⁴⁹ befanden sich im Material. LRC wurde verstärkt während der 2. Hälfte des 5. und ebenso noch im 6. Jh. vom Westen importiert¹⁵⁰.

An dieser Stelle gilt zu betonen, dass Schnitt 2 nur einen kleinen Ausschnitt des Gebäudes erfasst hat. Es bleibt vorerst offen, welches Bild sich gerade an Feinkeramikfunden in einem eindeutig zu Wohnzwecken genutzten Raum ergeben würde.

Trinkgläser

Glasfunde aus 5 Stratifikationseinheiten, welche sich fast ausschließlich zu Trinkgläsern ergänzen lassen, können der Form *Isings* 111 zugeordnet werden¹⁵¹. Solche Kalyces mit Stengel und Bodenplatte sind spätestens seit dem 5. Jh. in allen mediterranen Regionen in Verwendung und bleiben dies auch bis mindestens ins späte 7. Jh.¹⁵². Unter den Funden ließen sich zwei Gruppen herausarbeiten: eine eher grob gefertigte mit Schlieren und Luftblasen, meistens mint-/pistaziengrün (Abb. 5, 1; Taf. 7, 1) oder auch weiß und daneben eine feiner gearbeitete, hellgrüne Variante (Abb. 5, 2), deren Bodenplattenrand hohl gestaltet ist. Möglicherweise korrespondiert diese Beobachtung mit einer Unterscheidung in lokale und importierte Objekte. Konische Glasbe-

¹³⁹ MACKENSEN, El Mahrine 408, Taf. 62.

¹⁴⁰ HAYES, Pottery 229, Nr. 4 oder 5.

¹⁴¹ MACKENSEN, El Mahrine 218 Abb. 64,7 (Typ 8.4) mit der identischen Anordnung der Stempeltypen 8 und 57.

¹⁴² MACKENSEN, El Mahrine 373 Taf. 62.

¹⁴³ HAYES, Pottery 127–128; MACKENSEN, El Mahrine, Taf. 66.

¹⁴⁴ HAYES, Pottery 140–144; MACKENSEN, El Mahrine, 430–432 Taf. 75.

¹⁴⁵ HAYES, Pottery 152–155; HAYES, supplement 506f.

¹⁴⁶ HAYES, Pottery 15–160.

¹⁴⁷ HAYES, Pottery 140–144; DERS., Supplement 505–506; Stefano TORTORELLA, La sigillata africana in Italia nel VI e nel VII secolo d. C.: problemi di cronologia e distribuzione, in: SAGUI, ceramica 43 und 67, Fig. 3, 19–21

¹⁴⁸ HAYES, Pottery 323 *et passim*; DERS., Supplement 525–526.

¹⁴⁹ HAYES, Pottery 331, Abb. 69 (Nr. 25), 338; Vergleichsbeispiele aus Sizilien (Mazzarino): PANVINI, Insediamenti 205.

¹⁵⁰ HAYES, Pottery; ABADIE-REYNAL, Céramique 144; Archer MARTIN, La sigillata focese, in: SAGUI, ceramica 109–122.

¹⁵¹ ISINGS, Glass 139.

¹⁵² Ein Auswahl von Fundorten der Formen *Isings* 111: Sizilien: *Sicilia centro-meridionale* 277–283; Rom: *Roma dall'antichità al medioevo* 309; Konstantinopel: HAYES, Sarachane, 400–402, Abb. 150 (Nr. 22–23). Vgl. Margaret A. V. GILL, *Amorium Reports, Finds I: The Glass (1987–1997)* (*BAR International Series* 1070). Oxford 2002, 38–43 (“goblets”).

cher, wie sie in Sizilien vor allem im 5. Jh. verbreitet waren¹⁵³, kamen nicht zum Vorschein.

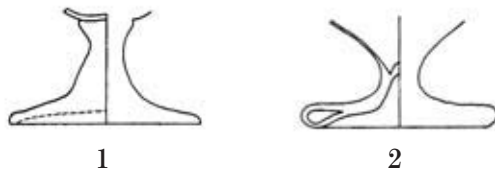


Abb. 5/1–2: Glaskalices (Isings 111)

Beleuchtung: Ton- und Glaslampen

Der Gesamtbestand der Beleuchtungskörper aus Ton ist durch charakteristische Fragmente, die dem Lampentyp Hayes II¹⁵⁴ zuzuordnen sind, repräsentiert. Dieser „klassische“ Lampentyp, der aus den gleichen afrikanischen Produktionsstätten wie das Tafelgeschirr stammt, ist in Sizilien während des 6. Jhs. massiv vertreten¹⁵⁵. Weder Vorgängertypen des 4./5. Jhs. (Hayes I) noch zeitgleiche lokale sizilianische Lampen („a rosario“), die seit dem späten 6. Jh. (wohl im Raum Syrakus) produziert wurden¹⁵⁶, kamen zum Vorschein. Der Schulterdekor von Fragmenten aus 9 Stratifikationseinheiten zeigt charakteristische Dekorelemente wie konzentrische Kreise¹⁵⁷, Dreiecke mit Punktreihen¹⁵⁸, einfache Rauten¹⁵⁹, Rauten mit Volutenzier¹⁶⁰, Quadrate¹⁶¹ oder Rosetten¹⁶² (Taf. 7, 2; Taf. 8, 1–2). Diskusdekor fand sich nur einmal als Teil eines Chi-Rho-Monogrammes mit ausschweifenden Enden¹⁶³ (wie Abb. 6; Tafel 8, 2). Die Dekortypen korrespondieren mit der Datierung des Tafelgeschirrs (5.–7. Jh.). Außer diesen Tonlampen befanden sich ebenso Bodenfrag-

¹⁵³ ISINGS, Glass 137–139, Form 109c; vgl. DANNHEIMER, Grabfunde, Taf. A; BONACASA CARRA, Archeologia cristiana, Abb. 10.

¹⁵⁴ HAYES, Pottery 310 *et passim.*; MACKENSEN, El Mahrine 151–152; die spezifische Unterteilung IIA/IIB zeigt eine regionale Differenzierung von Produktionsstätten in Zentral- und Nordtunesien an.

¹⁵⁵ Eine Zusammenstellung verschiedener Lampentypen von diversen Fundorten in Sizilien bietet BONACASA CARRA, Archeologia cristiana; Graziella FIORENTINI, La Basilica e il complesso cimiteriale presso Eraclea Minoa, in: *Congresso Sicilia bizantina 239; Sicilia centro-meridionale*. Lampen erfreuten sich früh aufgrund ihres reichen, christlichen Dekors einer regen ikonographischen Interpretation, vgl. Luigi BERNABÒ BREA, Lucerne di età cristiana del Museo di Siracusa. *Nuovo Didaskaleion* 1 (1947) 55–59; Gino Vinicio GENTILI, Lucerne cristiano-bizantine e croce normanna nella villa imperiale di Piazza Armerina. *Nuovo Didaskaleion* 5 (1953–1955) 82–89 oder Anna Maria FALLICO, Nuovi elementi iconografici in alcune lucerne ‚africane‘ del Museo di Siracusa. *Siculorum Gymnasium* 23 (1970) 89–101.

¹⁵⁶ Donald M. BAILEY, A catalogue of the Lamps in the British Museum III: Roman provincial lamps. London 1988, 208–211, Taf. 31; DERS., A catalogue of the Lamps in the British Museum II: Roman Lamps made in Italy. London 1980, 387, Taf. 88: Typ S IV; Lucilla ANSELMINO, Le lucerne tardoantiche: produzione e cronologia, in: GIARDINA, Società 234.

¹⁵⁷ ENNABLI, Lampes E2.

¹⁵⁸ ENNABLI, Lampes D2.

¹⁵⁹ ENNABLI, Lampes C2.

¹⁶⁰ ENNABLI, Lampes R3.

¹⁶¹ ENNABLI, Lampes A5.

¹⁶² ENNABLI, Lampes I5.

¹⁶³ Diese Variante wurde nicht von Hayes erfaßt, vgl. HAYES, Pottery 272–276; identisch mit dem Diskusdekor einer Lampe aus Castelvetro, vgl. BONACASA CARRA, Archeologia cristiana, Abb. 5 a.

mente mit Brandresten von Glaseinsätzen¹⁶⁴, wahrscheinlich Bestandteil eines Polykandelon, unter den Funden.



Abb. 6: Lampe aus Castelvetro mit Diskusdekor
(aus Bonacasa Carra, *Archeologia cristiana*)

Persönliche und sonstige Objekte

An persönlichen Objekten ist bisher nur im Humus ein unverzierter bandförmiger Ring zutage getreten. Ein Kuriosum stellt ein Knochen (ohne Loch oder sonstige Aufhängevorrichtung) dar (Taf. 9, 1), in den für diese Zeit typischer Würfelaugendekor (*occhi a dado*) eingeritzt wurde, welcher häufig auf spätantiken/frühbyzantinischen Objekten anzutreffen ist¹⁶⁵.

S. *Metaxas*

2.4.3. MÜNZEN

In Schnitt 1 (Sektor X3/Y3) wurde während der ersten Kampagne (2002) im Humushorizont an der Außenseite der Kirche eine Kupfermünze gefunden. Es handelt sich um einen normannischen Follis (*foliaro*) von Roger II. (reg. 1105–1154). Die Aversseite zeigt Roger II. – gekrönt, in einem bis zu den Füßen reichenden Kleid – frontal stehend mit einer Lanze in der einen und einem Kreuzglobus in der anderen Hand. Eine zweizeilige Beischrift links der Figur lautet R II. Die Reversseite, welche stark dezentriert ist, zeigt den thronenden Heiland. Der Münztyp wurde unter Roger II. noch als Conte di Sicilia in Messina geprägt, entstammt dem Zeitraum 1112 bis 1130, oder Travaini zufolge präziser 1127–1130¹⁶⁶. – Auffälligerweise im gleichen Sektor und ebenso

¹⁶⁴ Vgl. HAYES, *Saracene* 407, Nr. 37–38.

¹⁶⁵ Etwa auf Gürtelschnallen, vgl. Ferdinando MAURICI, Ancora sulle fibbie da cintura di età bizantina in Sicilia, in: *Congresso Sicilia bizantina 543–551* und jene im Museum von San Marco (ME) im Katalog des Projektes INBA/RAF (Interactive Network of Byzantine Art), ed. Maria Teresa RABBONE, Antonello PETTIGNANO, Eugenia CHALKIA, Ewald KISLINGER. S. Agata di Militello 2003, 36–37.

¹⁶⁶ GRIERSON-TRAVAINI 108–110, 618 (Nr. 154–161); Vgl. Rodolfo SPAHR, *Le monete Siciliane dai Bizantini a Carlo I d'Angio (582–1282)*. Zürich-Graz 1976, 150 und tav. XIX, 53.



Abb. 7: Normannischer Follis, von Roger II., geprägt zu Messina 1112–1130, Av und Rv (Fund aus Kampagne I)

im Humushorizont kam während der zweiten Kampagne (2003) ein weiteres, schlechter erhaltenes Exemplar des beschriebenen Follis-Typs zutage.

Eine weitere Münze wurde ebenfalls in Schnitt 1 (Sektor X5/Y7) im Dachziegelversturz außerhalb des Kirchenanbaus gefunden. Es handelt sich um einen Denar von Lodovico, aragonesischer König von Sizilien (1342–1355). Das Herrscherbild auf der Avers-Seite ist beim vorliegenden Exemplar nicht mehr erkennbar, sehr wohl aber die Umschrift *fel(ix) dei*, wobei die Beifügung „felix“ charak-

teristisch für diesen Herrscher ist. Die Revers-Seite bietet als zentrales Bildmotiv ein Kreuz, flankiert in Quadranten zwei und drei (hier schlecht erhalten) von einem Ring. Von der Umschrift *gra(tia) rex Sicilie* sind *a* und *rex* lesbar¹⁶⁷.

Innerhalb der Kirche kamen während der zweiten Kampagne (2003) zwei Münzen zutage, und zwar in Schnitt 1, Versturzbereich in der Apsis (Sektor X1/Y7) ein Denar des Königspaares Maria und Martin (1395–1402), geprägt zu Messina. Die Vorderseite weist eine Kombination von Kreuz und dem Buchstaben M auf, die Rückseite eine Krone. Die jeweiligen Umschriften – *Maria Dei gratia* (Av) und *Marti(nus) Dei gratia* (Rv) – sind nur ansatzweise leserlich¹⁶⁸. Überhaupt unleserlich sind die Umschriften des anderen Stückes wiederum aus Schnitt 1 (Sektor X2/Y5). Aufgrund des Adlers mit Kreuz oberhalb auf den Av und dem Rv-Wappenschild mit Kreuz darüber handelt es sich um einen messinesischen Denar entweder des Alfons, König von Aragon (1435–1458) und ab 1442 zusätzlich von Sizilien und Sardinien (zu weiteren Funden dieses Typs in Schnitt 4 s. gleich anschließend) oder seines Nachfolgers Johannes II. (1458–1479)¹⁶⁹.

Aus Schnitt 4 (Sektor X3/Y4, rezenter Humus) stammt ein sicher Alfons, König von Aragon (1435–1458), Sizilien und Sardinien (1442–1458) zuweisbarer Denar. Die zu Messina (wohl nach 1442) geprägte Münze zeigt auf dem Av einen Adler in einem Kreis, bekrönt von einem Kreuz. Von der Umschrift *Alfons(us) d(ei) gr(atia)* ist *A...ons* gut lesbar. Auf dem Rv weist der Denar einen aragonesischen Wappenschild auf, eingeschrieben einem Kreis. Von der üblichen Umschrift *rex Sicilie* ist hier *Sici* erhalten¹⁷⁰. Ein weiteres Exemplar wahrscheinlich dieses Typs (der schlechtere Erhaltungszustand speziell der Umschriften gestattet keine völlige Sicherheit) wurde 2003 wieder im rezenten Humus (Sektor X3/Y4) gefunden. Beide Münzen sind als Streufunde zu werten, stehen möglicherweise in Zusammenhang mit der bis 1585 gegebenen Nutzung des Geländes nahe dem Kloster als Ort einer Jahrmärktes (*fiera*)¹⁷¹.

Alle angeführten Münzen wurden nach Reinigung, Bestimmung und photographischer Dokumentation der Soprintendenza (Denkmaloberbehörde) Messina übergeben.

*E. Kislinger (unter Mitarbeit von M. Popovic)*¹⁷²

2.4.4. RESTAURIERUNG VON FRESKENFRAGMENTEN AUS DEM APSIDIALBEREICH

Die bei den Ausgrabungen geborgenen Fragmente von Wandputz (nach dem Auffinden gelagert in Obstpaletten auf Sandbettung) hatten einen Umfang von 1,5 × 3 bis 18 × 20 cm. Zu Beginn der Arbeiten war es noch nicht klar, ob sie tatsächlich Reste von Fresken trugen. Dies war die Ausgangslage für die verschiedenen restauratorischen Arbeitsschritte, welche nachstehend beschrieben werden.

¹⁶⁷ GRIERSON-TRAVAINI 269–270, 698 (Nr. 787).

¹⁶⁸ GRIERSON-TRAVAINI 280, 702 (Nr. 810, „Class B“).

¹⁶⁹ GRIERSON-TRAVAINI 307, 710 (Nr. 843–846, „Class C“ oder „Class D“) bzw. 320–321, 716 (Nr. 883–887, datiert 1467–1476).

¹⁷⁰ GRIERSON-TRAVAINI 306–307, 710 (Nr. 837–841, „Class A“).

¹⁷¹ Dazu bereits I.1., 113–114.

¹⁷² Für seine wertvolle Hilfe bei Reinigung und Bestimmung der Münzen sei Prof. W. Hahn (Institut für Numismatik und Geldgeschichte der Universität Wien) herzlich gedankt.

Die Fragmente wurden zunächst einer ersten, groben Reinigung mit Hilfe von Pinsel und Bürste unterzogen. Mit dieser Maßnahme gelang es jedoch noch nicht, die Farbschicht freizulegen. Daher wurde entschieden, einige Fragmente auszuwählen und an zwei von ihnen unterschiedliche Säuberungsmethoden zu erproben, um zu erfahren, ob es möglich sei, bessere Resultate zu erzielen, oder sich nur mit einer Reinigung mit dem Pinsel zu begnügen.

Das erste Fragment wurde in eine Flüssigkeit gelegt, die aus Ammoniumcarbonat (15 %) und destilliertem Wasser (85 %) bestand. Das zweite Fragment wurde in eine Lösung aus Benzalconium (9 %), Alkohol (6 %), Ammoniak (5 %) und destilliertem Wasser (80 %) gelegt. Beide Proben wurden in dieser Weise auf 45 Minuten eingeweicht, wonach man in der Lage war, den Grad der Festigkeit von Putz und Farbe zu bewerten und daraus zu beurteilen, welche der angewandten Methoden zu bevorzugen sei. Das bessere Resultat wurde mit der Lösung von Ammoniumcarbonat erreicht, es entsprach aber noch nicht den Vorstellungen der Unterzeichneten, so daß ein dritter Versuch angesetzt werden mußte. Dazu wurde ein weiteres Fragment ausgewählt und für eine 3/4 Stunde in eine Lösung von Ammoniumcarbonat (15 %), Benzalconium (5 %), Alkohol (5 %) und destilliertem Wasser (75 %) gelegt. Mit dieser Mischung erreichte ich das gewünschte Resultat, das auch erlaubte, festzustellen, daß es sich bei den Objekten tatsächlich um Reste von Fresken handelte.

Anschließend wurde systematisch Stück für Stück aus insgesamt 44 Obstpaletten erst mit Pinsel und Bürste gereinigt, dann in der genannten Lösung gewaschen. Die einzelnen Fragmente wurden nachher an die ursprüngliche Stelle in der gleichen – jetzt vom Sand befreiten – Lagerungsform zurückgelegt.

Der zweite Arbeitsschritt war das Festigen der Fragmente, wofür eine acrylhaltige Substanz, bestehend aus Primal AC33 (30 %), gelöst in destilliertem Wasser (69 %) und 95%igem Äthylalkohol (1 %) mit dem Pinsel aufgetragen wurde. Diese Prozedur wurde danach noch dreimal an jedem einzelnen Fragment wiederholt.

Der dritte Arbeitsschritt war die restauratorische Endsicherung, bei der eine acrylhaltige Substanz vom Typ Paraloid B72 (15 % in 85 % Lösungsmittel) mit einem Pinsel aufgetragen wurde, und zwar so oft nacheinander, bis das jeweilige Fundstück völlig durchtränkt war.

Nunmehr war es möglich, Einzelheiten an den verschiedenen Fragmenten genauer zu beobachten. So war festzustellen, daß der Putz aus gelöschtem Kalk, Strohpartikeln und Steinmehl gemischt und in einer einzigen Schicht direkt auf den Backstein aufgebracht worden war. Bei einigen Stücken hatte der Putz eine höhere Festigkeit, und bei anderen sind zwei Schichten von Putz übereinander zu beobachten, beide bemalt, aber in zwei unterschiedlichen Arten.

Die obere Bemalung zeigt auf weißem Hintergrund florenale Motive in Sinope-Rot, abgetönt mit einem Ockergelb und – um die Zeichnung hervorzuheben – mit einem Pinselstrich in Schwarz begrenzt. Die untere, auf eine dünne Schicht von roter Färbung (*bolo*) aufgebracht, zeigt eine geometrische Dekoration in Karminrot, Ockergelb und Terra di Siena.

Man wüßte gern, zu welchem Ganzen sich die Teile fügen, aber es ist im Augenblick (nach vorerst nur einer Arbeitswoche im Mai 2003) unmöglich, darüber etwas auszusagen. Auch um die Malerreste zu datieren, ihre Entstehungszeit zu ermitteln, bedarf es einer umfangreicheren Dokumentation und einer größeren Anzahl von Fragmenten, die künftige Kampagnen wohl erbringen werden.

B. Mencarelli



Abb. 8: Freskenfragmente



Abb. 9: Freskenfragmente

2.5. ERGEBNISSE

2.5.1. SCHNITTE 1+5

Zur ältesten Bauphase I (Abb. 10, blaue Signatur) gehören zwei Mauerzüge. Sie sind eingeschlossen in Schuttschichten, die als Bauhorizont der Kirche zu interpretieren sind und wurden noch nicht vollständig ergraben. Diese Mauern sind nicht im baulichen Verband mit der Kirche und dem südlichen Kirchenanbau und zeigen auch eine andere Orientierung.

Stratigraphisch über Phase I liegt Bauphase II (rote Signatur). Sie umschreibt die einschiffige Kirche ohne Anbauten, bestehend aus Apsis, (rechter) Nebenapsis, südlicher Außenmauer und gemauerter Sitzbank im Kircheninneren.

Als Bauphase III (gelbe Signatur) wurde am Ostende der südlichen Außenmauer der Kirche ein 6 m² großer Anbau errichtet. Der Zugang zu diesem Raum (Diakonikon?) erfolgte über das Kircheninnere. Zu diesem Zweck brach man einen Durchgang in die südliche Außenmauer der Kirche, von dem Teile des Türstocks und eine Schwelle aus einem rechteckig gearbeiteten Sandstein noch *in situ* erhalten sind. Da dieser Durchgang den Funktionsbereich der kleinen Seitenapsis störte, erfuhr diese, gleichzeitig mit der Anlage der Durchgangsöffnung, eine bauliche Veränderung. Die Nebenapsis wurde mit ausgewählt großen und teilweise behauenen Kalksteinblöcken vermauert.

Außerhalb der Apsis und des Kirchenanbaus konnte ein alter Humushorizont (Begehungshorizont) festgestellt werden. Darin lagen zwei normannische Folles von Roger II. (1105–1154), geprägt zu Messina im Zeitraum 1127–1130¹⁷³. Die Münzen liefern einen Anhaltspunkt für das intakte Bestehen von Phase III zumindest bis ins erste Drittel des 12. Jhdts.

Im südlichen Kirchenanbau ließen sich unter einem Dachziegelversturz die Reste eines Kalkestrichs, auf dem Keramik lag, feststellen. In den nach außen verstürzten Teilen fand sich ein Denar des Lodovico, aragonesischer König von Sizilien (1342–1355), was einen *terminus ante quem non* für den Zeitpunkt des Versturzes ergibt. Aussagekräftiger ist diesbezüglich eine im Inneren des Anbaus unten im hier massiven Versturz angetroffene, fast vollständig erhaltene Maiolica-Schale. Die Grobdatierung des Stückes (17. Jh., vgl. oben Anm. 133) korrespondiert mit der Nutzung anderer Kirchenteile bis in die Mitte des 18. Jahrhunderts (dazu l.l., 114); ob sie einen Hinweis auf den Zeitpunkt des Versturzes ergibt, hat derzeit noch offen zu bleiben.

Durch die archäologische Untersuchung des Areals kann erwiesen werden, daß die Anlage nicht schlagartig dem Verfall preisgegeben wurde. Bauphase IV (grüne Signatur) belegt eine Nutzung des Kirchenraumes auch noch nach dem Verfall des südlichen Anbaus. Im archäologischen Befund zeichnet sich dies durch eine Zumauerung des Durchgangs ab, wobei die trocken gemauerten Steine der Zumauerung deutlich auf dem Dachziegelversturz des bereits verfallenen Anbaus aufliegen.

Im Kircheninneren fanden sich nach dem vollständigen Abtragen der massiven Schuttschichten einige interessante Einbauten (gelb/grüne Schraffur), die noch nicht vollständig freigelegt sind. Zu ihnen können derzeit folgende chronologische Aussagen getroffen werden: Die bogenförmige Ziegelmauer in der Apsis ist jünger als Bauphase II, da sie an die Apsisrundung ansetzt. Gleiches trifft für einen rechteckigen, podestartigen Einbau zu, für des-

¹⁷³ Details zu diesen und anderen Fundmünzen unter 2.4.3.

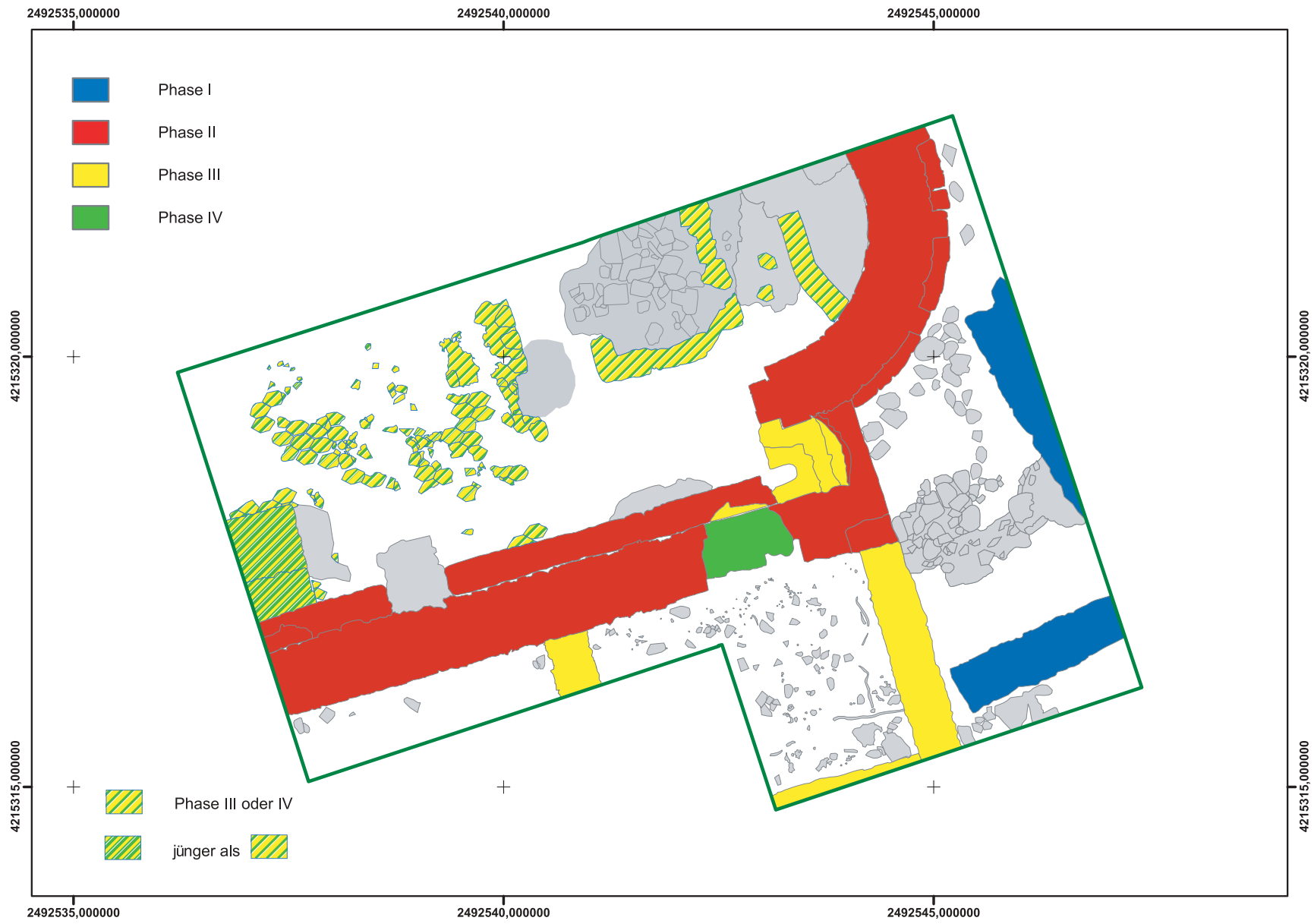


Abb. 10: Bauphasen im Kirchenschnitt 1+5



Abb. 11: Bodenziegel der Kirche in Originallage

sen Mauern älteres Material mit Freskenresten wiederverwendet wurde und der in frühere Estrichschichten eingesetzt wurde (einen Hinweis auf die Relativchronologie des Verfalls liefert der Fund einer Münze von Maria und Martin von Sizilien/Aragon, 1395–1402) in den Versturzschichten des Einbaus. Auf einem erhaltenen Estrichteil vor dem rechten Abschluß der Mittellapsis wurde eine Münze des Alfons oder Johannes II., also aus dem Zeitraum 1442–1479, angetroffen. Ebenfalls relativchronologisch nach Bauphase II sind der Fußbodenbelag aus sechseckigen Ziegeln im zweiten Drittel des Kirchenschiffes und die treppenartige Konstruktion in der Südwesthälfte einzuordnen. Beide setzen an die südliche Kirchenschiffsmauer an, die Treppen liegen zudem eindeutig über den Bodenziegeln.

Von der Baugliederung her, wie sie sich zum gegenwärtigen Zeitpunkt präsentiert, bestehen – gehen wir von publizierten Grundrissen aus dem

östlichen Sizilien aus – gerade im Apsidialbereich gewisse Ähnlichkeiten mit der Klosterkirche von Santa Maria di Mili südlich Messina, gegründet 1092¹⁷⁴. Dort fehlt allerdings die Sitzbank, welche zu S. Pietro di Deca innen entlang der Südmauer des Kirchenschiffes bis in die rechte Nebenapsis verläuft (und wahrscheinlich symmetrisch entlang der noch nicht ergrabenen Nordwand). Dafür finden sich allerdings Parallelbeispiele im lokalen Umfeld, und zwar im nur durch Sondagen festgestellten älteren Kirchenbau nördlich der aktuellen Klosterkirche von San Filippo di Fragalà (die knapp nach 1100 entstand¹⁷⁵) und in San Marco d'Alunzio¹⁷⁶. Dort weist die nur im vorderen (östlichen) Bereich erhaltene Kirche „Tutti i Santi“ an beiden Längsseiten eine solche Sitzbank (aktuelle Höhe 42 cm, Breite 31 cm) auf, ansetzend jeweils an der Basis der Nebenapsiden, und sich von dort über eine Länge von 2,95 m (Nord) bzw. 2,64 m (Süd) erstreckend. Ein weiteres Beispiel bietet die Kirche „Madonna della Natività (Casile)“ (Innenmaße: 10,85 m Länge, 4,35 m Breite). Allerdings ist dort nur ein Bankfragment (3,35 m lang, 52 cm hoch, 37 cm breit) an der nördlichen Wand des Kirchenschiffs erhalten. Diese Kirche hat starke bauliche Veränderungen erfahren. So wurde der Eingang von W nach NW verlegt, die Hauptapsis außen abgetragen. Rechts und links der ehemaligen Hauptapsis sind nur zwei Nischen, die ca. 1 m über dem Bodenniveau ansetzen, vorhanden. Möglicherweise wurden frühere Nebenapsiden im unteren Bereich vermauert, was weniger radikal zu Santo Pietro erfolgte. Beide wissenschaftlich bislang nicht untersuchten Kirchen gehören der lokalen Tradition nach zu den ältesten Kirchen des Ortes¹⁷⁷. Diesen auf die normannische Zeit hindeutenden Ansatz stützt ein aus „Tutti i Santi“ stammendes Freskenfragment (*Deesis*) mit Beischriftenrest auf Griechisch, welches aus dem schlecht erhaltenen, vor etwa 20 Jahren im Westteil eingestürzten Bau abgenommen wurde und jetzt im Museum für byzantinisch-normannische Kunst und Kultur zu San Marco d'Alunzio aufbewahrt wird¹⁷⁸.

I. Ott – E. Kislinger

2.5.2. SCHNITT 2–4

Ergebnis der archäologischen Untersuchung von (Gebäude-)Einheit A ist, daß es sich bei den baulichen Strukturen um die Reste von mindestens drei zu differenzierenden Räumen I–III und zwei Bauphasen I–II handelt.

Zur älteren Bauphase I (Abb. 12, blaue Signatur) werden die beiden rechteckigen Gruben im Bereich einer L-förmigen Steinsetzung (NW-Ecke von Raum II) und drei Pfostengruben gezählt. Die Bauanalyse der Südmauer von Einheit A ergab, dass es sich beim östlichen Teil ebenfalls um Strukturen

¹⁷⁴ FILANGERI, *Monasteri* 79–79.

¹⁷⁵ FILANGERI, *Monasteri* 36–54; Ewald KISLINGER, Un'iscrizione a graffito nel monastero San Filippo di Fragalà (ME). *Jahrbuch der österreichischen Byzantinistik* 51 (2001) 373–383; FALLA CASTELFRANCHI, I modelli culturali di Ruggero I (wie Anm. 7). Zum älteren Kirchenbau vgl. bereits oben Anm. 126.

¹⁷⁶ Die nachstehenden Angaben wurden im Zuge einer Begehung und groben Vermessung erhoben, welche Helmut Buschhausen, Ewald Kislinger und Mihailo Popovic während der Grabungskampagne II im Mai 2003 durchführten.

¹⁷⁷ Sac. Salvatore MIRACOLA, S. Marco d'Alunzio (Pagine d'Archivio). S. Marco d'Alunzio 2001, 129, 132–133.

¹⁷⁸ Abbildung im Musealkatalog „Interactive Network of Byzantine Art“ (wie Anm. 165) 6–7.

der älteren Bauphase I handelt. Das Fundament des älteren Abschnitts liegt deutlich tiefer als der jüngere Teil der Südmauer (Abb. 13).

Kombiniert man nun den Grabungsbefund mit den durch das Georadar angezeigten Mauerzügen außerhalb des Schnittes, lassen sich für Bauphase I, insgesamt zwei Räume (I und II, Abb. 12) rekonstruieren. Der singuläre Mauerzug im Nordosteck des Grabungsschnittes deutet einen weiteren Raum an. Das Georadar zeigte in diesem Bereich keine auswertbaren Meßdaten. Einziges Argument für die Zuweisung dieser Mauer zur älteren Bauphase I ist die Beobachtung, daß das NO-Eck des jüngeren Raumes III leicht versetzt ist und dem älteren, schon bestehenden Mauerzug auszuweichen scheint. Die Pfostengruben der älteren Bauphase werden als hölzerne Vordachkonstruktion von Raum II gedeutet. Den beiden rechteckigen Gruben kann keine Funktion zugeschrieben werden. Die senkrechte Form ihrer Wandung, die keinerlei Verrundung aufweist, und die einheitliche Verfüllung, lassen auf eine Holzverschalung der Gruben schließen.

Die jüngere Bauphase II (Abb. 12, rote Signatur) entspricht den Umfassungsmauern von Raum III. Bei der Analyse des Mauerwerks ergaben sich einige interessante Details: Eine sichtbare Einheit bilden die Westmauer und die Nordmauer. Beide sind im Eckbereich deutlich miteinander verzahnt, es sind bis zu vier Steinlagen erhalten, die Maueransichten wirken einheitlich (vornehmlich mittelgroße Kalk- und Flyschbrocken wahllos übereinandergelagt) und beide Mauern sind tief fundamentiert.

Die Ostmauer und der westliche Teil der Südmauer von Raum III der Bauphase II sind durch die Verwendung von größeren Kalksteinblöcken gekennzeichnet. Es gibt keine direkte Beziehung zu den anschließenden Mauern, da die Eckbereiche ausgerissen sind. Auffällig ist jedoch, daß ihre Fundamente bis zu 20 cm höher liegen als bei West- und Nordmauer von Raum I (Abb. 13). Sie werden daher als Zwischenmauern (Trennmauern zu anderen Räumen) gedeutet, während es sich bei der West- und Nordmauer um echte Außenmauern handeln dürfte.

Das „Becken“ in der östlichen Fortsetzung der Südmauer von Einheit A wird auch Bauphase II zugeordnet, stört es doch den W-O-Verlauf des Mauerzuges und setzt an die N-S gerichteten Teile der wahrscheinlich östlichen Außenmauer der beiden Räume aus Bauphase I an. Ebenfalls zu Bauphase II werden eine Pfostengrube und ein Gräbchen (Abb. 12, rote Signatur) gerechnet, die als Reste innerer Strukturen, etwa einer raumtrennenden Flechtwerkwand, zu interpretieren sind.

Allgemein ist festzuhalten, daß die Mauern innerhalb der Schnitte 2–4 nur in ihrem Fundamentbereichen erhalten sind und trocken gemauert wurden. Aufgehendes Mauerwerk wurde mit Kalkmörtel gebaut. Die Steine sind nicht regelmäßig gelegt, was für eine Nutzung als Wirtschaftsraum sprechen mag. Diese Annahme wird durch die Fundanalyse bestärkt¹⁷⁹.

Das Ende von Einheit A läßt sich durch Bauphase III (Abb. 12, gelbe Signatur) fassen. Zu dieser Zerstörungsphase zählen ein SW/NO verlaufender Graben, der die Westmauer von Raum III durchbricht und den nur in Resten erhaltenen Verstoß des N-S verlaufenden Mauerzuges der Bauphase I (gelegentlich außerhalb der NW-Ecke von Raum III) verursacht, weiters die ausgerissenen Ecksteine der Umfassungsmauern von Raum III und eine Störung am östlichen Ende der L-förmigen Steinkonstruktion.

¹⁷⁹ S. dazu 2.4.2.



Abb. 12: Bauphasen von Einheit A (Schnitt 2-4)

Torrenova - San Pietro 2003

Schnitt 2 - 4
Raum I, Mauerinnenansichten

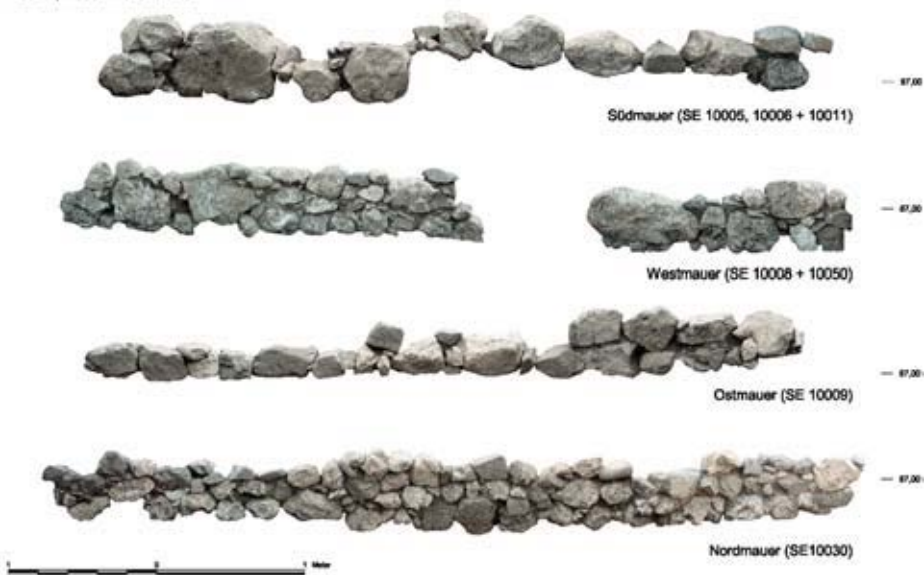


Abb. 13: Mauerinnenansichten von Raum III

Interessant ist, dass sich im gesamten Schnitt 2–4 kein Versturzmateriale fand. Die Befundsituation unterscheidet sich hier deutlich von der im „Kirchenschnitt“, die durch massive Schuttpakete gekennzeichnet ist. In Einheit A fehlen echte Verfüllschichten, die die Funktionszeit der drei Räume belegen. Interpretationsmodell für dieses Phänomen ist ein Schleifen des gesamten Gebäudekomplexes. Brauchbares Baumaterial wurde an anderer Stelle wieder verwendet und das nutzungsmäßig aufgegebene Areal planiert, was nach der vorläufigen Analyse der Funde¹⁸⁰ möglicherweise im oder nach dem 7. Jahrhundert geschah.

I. Ott

2.5.3. FUNDE

Archäologisch bestätigt werden kann vorerst eine spätantike/frühbyzantinische Nutzung im Bereich der Einheit A (Schnitt 2–4), die einem größeren Gebäudekomplex angehört, der gemäß der Geo-Radar-Prospektion vom Grundriß her einer Villa/Gutshof gleicht, wie sie an zahlreichen Orten Siziliens von der römischen Kaiserzeit bis ins 7. Jh. existierten¹⁸¹. Das Fundspektrum findet weitgehende Entsprechung in dem benachbarter Villen Siziliens, so zu *Patti* oder in *Bagnoli*. Auf eine spezifische Nutzung des ergrabenen Raumes lassen die Funde keine konkreten Rückschlüsse zu. Sicher kann vorerst nur das Standardrepertoire eines „Hauskontextes“ konstatiert werden mit einer eindeutig wirtschaftlich dominierten Nutzung.

¹⁸⁰ Man beachte allerdings die in 1.2. dargelegten Kautelen hinsichtlich des Wissensstandes.

¹⁸¹ WILSON, Sicily 189–214; vgl. für das nahe gelegene Kalabrien Simona ACCARDO, *Villae romanae nell'ager Bruttius. Il paesaggio rurale calabrese durante il dominio romano (Studia Archeologica 107)*. Roma 2000.

Die afrikanischen Importe im Fundmaterial konzentrieren sich vor allem auf das 6. Jh., ein bisheriges Ausbleiben von Leitformen, die erstmals im 7. Jh. auftreten, mag durchaus mit einem Rückgang der afrikanischen Importe auf Sizilien in Zusammenhang stehen¹⁸². Trifft dies zu, dann ist entweder mit einer vermehrten lokalen Keramikproduktion zu rechnen¹⁸³ oder es trat eine Reduktion der Siedlung ein.

In Zukunft gilt also zu untersuchen, wie lange die Nutzung des Conventazzo-Areals bestand. Ob aus den Funden eine Kontinuität über das 7. Jh. hinaus an diesem Ort abgeleitet werden kann, wäre zu diesem Zeitpunkt verfrüht, zu beantworten. Falls mittelalterlich zu datierende Grobkeramik unter den Funden ist, dann gilt vor allem zu differenzieren, ob selbige eine Kontinuität oder eine Rückbesiedelung zu einem späteren Zeitpunkt belegt.

Eine sichere Besiedlung des untersuchten Areals nach dem 7. Jh. kann derzeit aufgrund der bestimmbareren Funde erst wieder vom 12. Jh an (Schnitt 1+5/Baubefund und Münzen) bis in die Neuzeit (Keramik) als gesichert gelten. Die Funde aus der Kirche bestätigen demnach auch die schriftliche Überlieferung, die bezeugt, dass der Bau bis ins 18. Jh. genutzt wurde.

S. Metaxas

3. Das Conventazzo-Oktogon – Baubeschreibung und Abfolge der Bauphasen

Die Forschungen zu Santo Pietro di Deca galten vor den Wiener Projektaktivitäten fast ausschließlich und isoliert vom örtlichen Kontext dem einzig erhaltenen Klosterteil, dem Conventazzo-Oktogon (Taf. 9, 2). Dabei handelt es sich um einen außen oktogonalen bzw. innen runden, durch Nischen gegliederten Bau. Schon die erste diesbezügliche Publikation von Salinas (1880) konstatierte¹⁸⁴ – gefolgt hierin von allen anderen einschlägigen Studien (s. oben Anm. 10) – die im Vergleich zur sonstigen Klosteranlage älteren Ursprünge des Baues, wahrscheinlich in spätantiker Zeit. Trotz dieser Existenz über rund 1500 Jahre gibt es kaum ein Quellenzeugnis zum Conventazzo-Oktogon selbst. Über eine antike Inschrift auf Marmor, die zu Santo Pietro di Deca offensichtlich als Spolie verwendet worden war, heißt es in der Ortsgeschichte von San Marco d'Alunzio aus dem 18. Jahrhundert, man habe sie am Klostereingang (*nel portale dell' antico cenobio*) gefunden, nahe dem Turm (*presso a la torre*)¹⁸⁵, womit sicher der Conventazzo gemeint ist. Weitere Belege sind allenfalls in den noch unpublizierten Visitationsberichten des 16. Jahrhunderts enthalten¹⁸⁶.

Angesichts dieser Ausgangslage sind Fakten zu seiner Geschichte primär aus dem Monument selbst zu gewinnen, sei es künftig durch Ausgrabungen dortselbst, sei es vorerst über eine Bauaufnahme und anschließende Analyse.

¹⁸² BONACASA CARRA, *Archeologia cristiana* 41: "Si tratta solo di indizi, per il momento, ma ci bastano per intuire, che proprio nel corso del VI secolo, avvenne un progressivo allontanamento della Sicilia dall'Africa, con il conseguente affievolirsi di quegli intensi rapporti commerciali che avevano caratterizzato i secoli precedenti."

¹⁸³ DELOGU, *Mondo antico* 8–9.

¹⁸⁴ SALINAS (wie Anm. 10) 304.

¹⁸⁵ MELI, S. Marco 267, vgl. (zur Inschrift) 65 (*nella porta del monastero di S. Pietro*) und 70 (Verbringung nach Palermo). Die vom modernen Editor der Meli-Ortschronik, Oscar Bruno, im Kommentar (*op. cit.* 394, Anm. 73) vermutete Identität mit IG XIV 370 (dazu Maria Teresa MANNI PIRAINO, *Iscrizioni greche lapidarie del Museo di Palermo* 1972, 67, Nr. 42) ist unzutreffend, sowohl vom unterschiedlichen Fundort als auch (aufgrund der Skizze in MELI, S. Marco 70) vom jeweiligen Text her auszuschließen.

¹⁸⁶ Dazu 1.1., Anm. 91.

Die hier nachstehend publizierten Ergebnisse stellen (gleich den übrigen Beitragsteilen) einen Zwischenbericht dar, in dem etliche Fragen noch nicht (definitiv) beantwortet werden können, etwa das Innendekor oder die Funktion des Conventazzo im Klostersverbund betreffend. Erwünschte Diskussionsbeiträge seitens der wissenschaftlichen Öffentlichkeit und weitere Projektarbeiten mögen zudem zu Modifikationen der aktuellen Interpretation führen.

G. Scharrer-Liška – E. Kislinger

3.1. BAUAUFNAHME

Der Conventazzo liegt eingebettet in dem oberirdisch nicht mehr erhaltenen Gebäudekomplex des Klosters Santo Pietro di Deca. Die Ergebnisse der Georadar-Prospektion (dazu oben 118–119) lassen vermuten, daß der Conventazzo im östlichen Randbereich eines ausgedehnten Gebäudeverbandes steht. Knapp südöstlich des Bauwerks liegen inzwischen ergrabene Reste einer Kirche. Ob ein direkter baulicher Zusammenhang zwischen Conventazzo und dieser Kirche besteht, ist derzeit nicht klar, da die Meßfläche der geophysikalischen Prospektion bis maximal drei Meter an das Gebäude heranreichte. Auch die archäologische Grabungsfläche hat sich dem Conventazzo bisher nur etwa acht Meter angenähert.

Nach ersten Publikationen¹⁸⁷ zum Conventazzo im letzten Drittel des 19. Jahrhunderts veröffentlichte Camillo Filangeri 1980 eine architektonische Bestandsaufnahme und grobe Vermessung des Zentralbaus¹⁸⁸. Was bislang fehlte, war eine exakte Bauaufnahme, d. h. eine ausführliche schriftliche, photographische und zeichnerische Dokumentation des Conventazzo. An dieser Stelle wird nun eine erste zusammenfassende Beschreibung sowie eine Auswahl der zeichnerischen und photographischen Dokumentation vorgestellt.

3.1.1. METHODE

Die Bauaufnahme des Conventazzo erfolgte – erstmals an einem byzantinischen Bauwerk in Sizilien – auf ausschließlich digitalem Weg. Zunächst wurde das Gebäude mittels einer kalibrierten digitalen Spiegelreflexkamera Nikon D1X mit 35-mm-Objektiv aufgenommen. Diese photographischen Originalbilder dokumentieren den augenblicklichen (= Mai 2002) Bau- und Erhaltungszustand. Gleichzeitig bildeten sie die Grundlage für eine photogrammetrische Auswertung, welche mit den Programmen „Monobild 1.5.0“ und „AutoCad 2000“ erfolgte. Mit Hilfe von „Monobild“ wurden Ebenenentzerrungen vorgenommen. Dazu wurden die Bilder mit Hilfe von Paßpunkten¹⁸⁹ mit dem Koordinatensystem in Verbindung gebracht. Ergebnisse der Auswertung mit Monobild waren Orthophotos, also entzerrte, maßstäblich korrekte Photos (Bildpläne). In einem weiteren Schritt wurden aus den Orthophotos mit Hilfe von „AutoCad“ steingerechte Strichzeichnungen erzeugt. Dabei wurden Vektorgrafiken von jeder Außenseite des Oktogons sowie eine Abrollung der Innenrotunde angefertigt. Diese Darstellungsweise beinhaltet – im Gegensatz

¹⁸⁷ Dazu oben Anm. 10.

¹⁸⁸ FILANGERI, *Monasteri* 56–61.

¹⁸⁹ Ich danke Wolfgang Neubauer (VIAS der Universität Wien) für die Vermessung der Passpunkte am Conventazzo während der Prospektion 2001 sowie der Grabungskampagne II (2003) und Thomas Pertlwieser für die Anfertigung der Passpunktskizzen.

Conventazzo

Grundriss

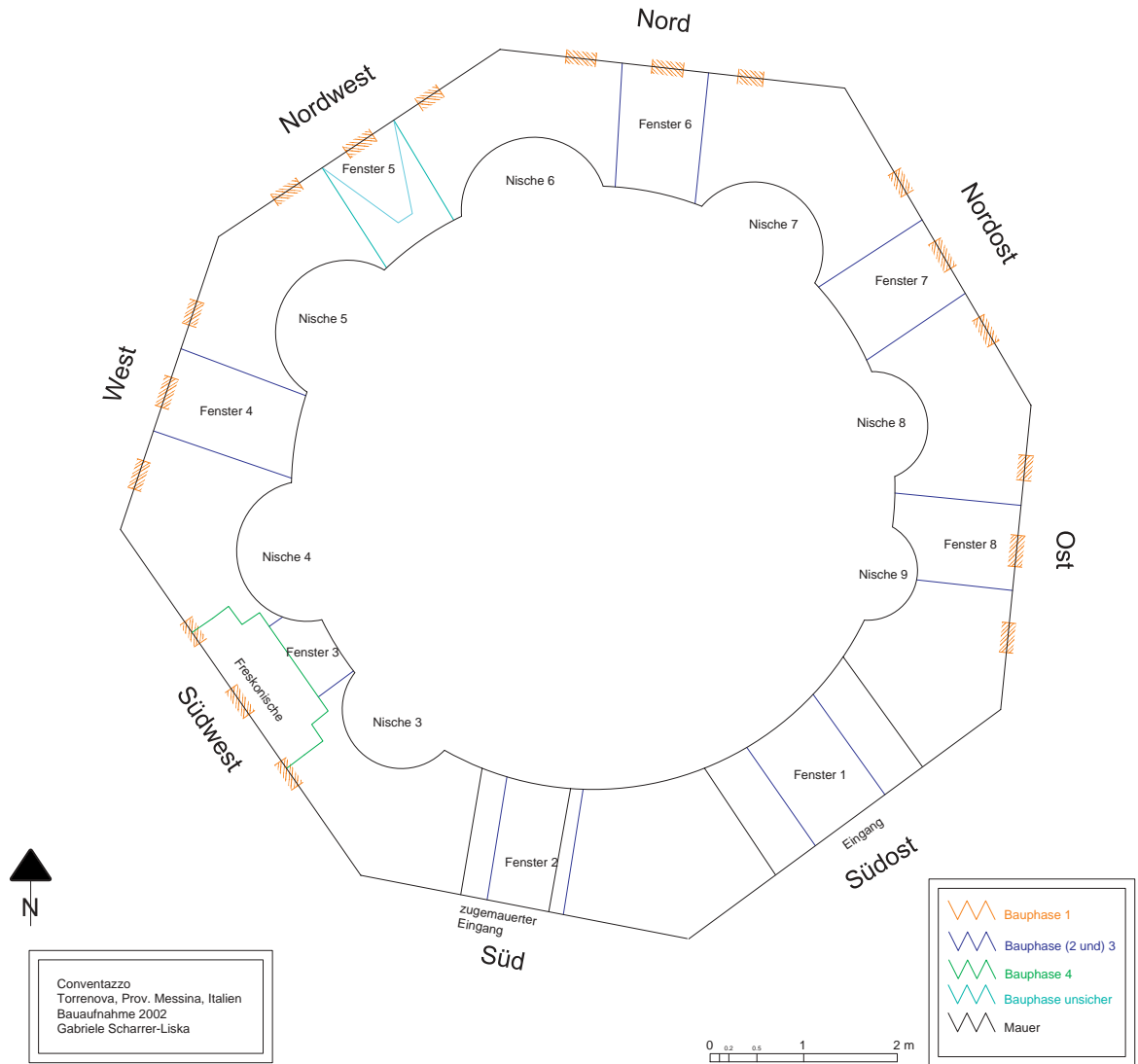


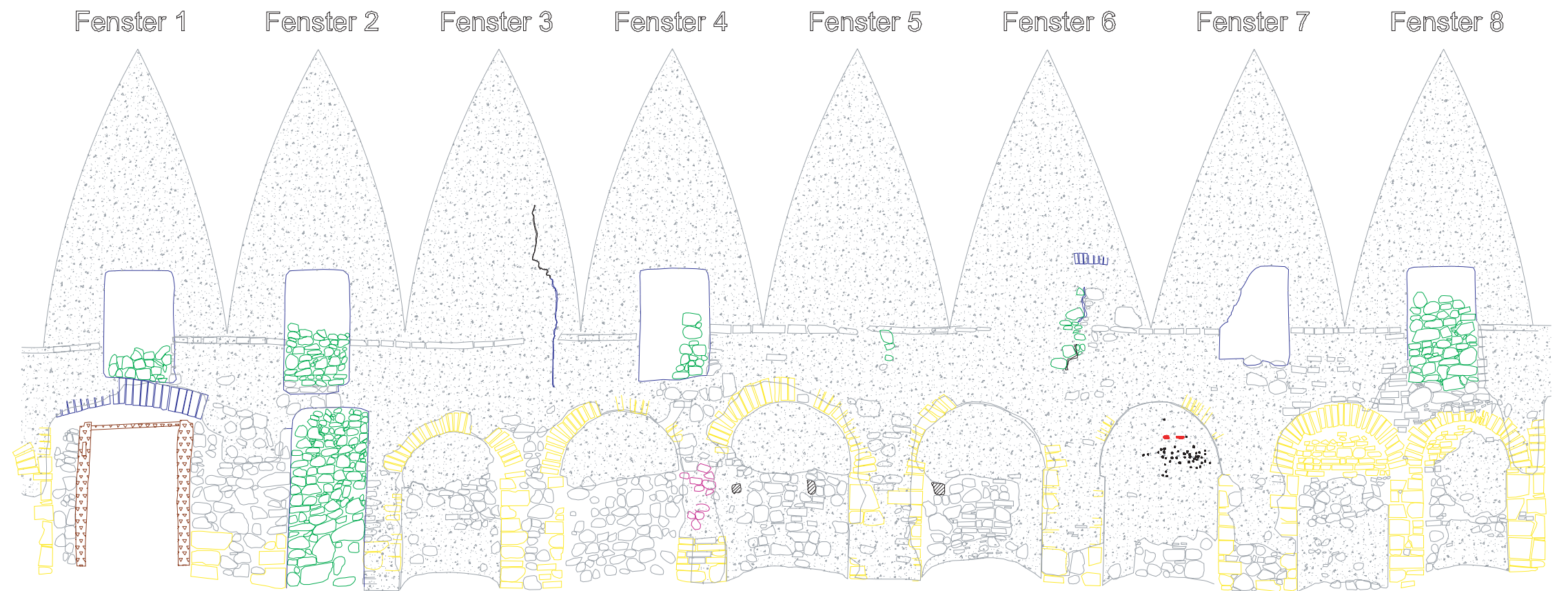
Abb. 14: Grundriß des Conventazzo

zum Orthophoto – eine Interpretation des Bearbeiters und kann zur Präsentation einer Bauphasenabfolge genutzt werden.

Die Analyse und Interpretation des Bauwerks erfolgte teilweise aus den gewonnenen Orthophotos bzw. Strichzeichnungen, größtenteils jedoch durch die genaue Betrachtung und Beschreibung des Objekts vor Ort. Dabei wurde – ähnlich wie bei einer Grabung – die Stratigraphie des Gebäudes dokumentiert, woraus sich die relative Abfolge des ehemaligen Baugeschehens und damit die der einzelnen Bauphasen ergab.

Conventazzo

Abrollung der Innenrotunde



Fenster 1 Fenster 2 Fenster 3 Fenster 4 Fenster 5 Fenster 6 Fenster 7 Fenster 8

Eingang "Nische" 1 "Nische" 2 Nische 3 Nische 4 Nische 5 Nische 6 Nische 7 Nische 8 Nische 9

Conventazzo
 Tomenova, Prov. Messina, Italien
 Bauaufnahme + Bauphasen 2002
 Gabriele Scharer-Liska

0 0.5 1 2 m

	Bauphase 2		Fresko/Unterfreskolöcher
	Bauphase 3		Verputz/Mörtel
	Bauphase 4		Balkenlöcher
	Mauer		Holz
	Mauerkern		

Probleme bei der photogrammetrischen Auswertung entstanden überall da, wo störender Bewuchs (hohes Gras, Gebüsch oder Bäume) Gebäudeteile am Photo verdeckten. Solche Bereiche waren unauswertbar und daher auch nicht darstellbar. Dies war vor allem außen im Bodenbereich aber auch am Dach und vereinzelt an den Mauern (besonders im Nordwesten und Süden) der Fall. Im Innenraum des Conventazzo erschwerte der noch großflächig vorhandene Verputz an den Wänden die Rekonstruktion einer Bauphasenabfolge.

Da es sich beim Conventazzo um ein Gebäude mit nur einem Raum handelt, konnte das Anlegen eines Raumbuches¹⁹⁰ im eigentlichen Sinn entfallen. Die Außenmauern wurden entsprechend der jeweils zugewandten Himmelsrichtungen bezeichnet. Die Nischen im Inneren des Bauwerks wurden im Uhrzeigersinn nummeriert, wobei der Eingang als Nische 1 bezeichnet wurde, der zugemauerte Eingang rechts davon ist Nische 2, die erste tatsächlich erhaltene Nische ist Nische 3. Mit Eingang und vermauertem Eingang sind somit insgesamt neun Nischen vorhanden. Analog wurde bei den „inneren Fenstern“ (so bezeichnet, da in ihrem vollen Ausmaß nur von Innen erkennbar) vorgegangen. Fenster 1 befindet sich über dem Eingang, die weitere Numerierung erfolgte wie im Falle der Nischen im Uhrzeigersinn. Insgesamt sind acht „innere Fenster“ nachweisbar.

3.1.2. BAUBESCHREIBUNG UND STRATIGRAPHIE

Der Conventazzo läßt zahlreiche bauliche Veränderungen, welche im Laufe der Zeit vorgenommen wurden, erkennen. Der Erhaltungszustand des Gebäudes ist kurz als desolat aber stabil zu beschreiben.

Beim Monument handelt es sich um einen Zentralbau, der außen die Form eines Oktogons, innen – unsymmetrisch zum Äußeren – die einer durch Nischen gegliederten Rotunde besitzt. Die Seitenlängen der Außenmauern betragen zwischen rund 3,90 und 4,10 m, der Durchmesser der Rotunde zwischen 6,40 und 6,50 m. Die Mauerdicke beträgt zwischen rund 0,70 und 1,50 m. Sowohl im Inneren wie auch außerhalb des Conventazzo ist zur Zeit das ursprüngliche Gelniveau nicht faßbar, da von Schutt und Sedimenten überlagert.

3.1.2.1. AUSSENSTRATIGRAPHIE

Südseitig liegt ein ehemaliger, nun vermauerter Zugang in den Conventazzo (Abb. 14). Der aktuelle Eingang ins Gebäude befindet sich an dessen Südostseite. Er ist durch einen elliptischen, flachen Bogen an seinem oberen Ende sowie weiter oben durch einen Rund- oder Segmentbogen¹⁹¹, welche beide vorwiegend aus Ziegeln aufgebaut waren, charakterisiert. An letzterem befinden sich geringe Putz- und auch Freskoreste in Rot. Rechts vom Eingang ist deutlich eine senkrechte Baufrage erkennbar. Hier fehlt die äußere Mauer- schale. In der relativ ebenen Mörtelschicht an dieser Stelle sind Abdrücke des erwähnten Rund- oder Segmentbogens erhalten. Dieser Bogen überdeckt das „innere Fenster“ 1.

¹⁹⁰ Ulrich GROSSMANN, Einführung in die historische Bauforschung. Darmstadt 1993, 72–73.

¹⁹¹ Günther BINDING, Architektonische Formenlehre. Darmstadt 1998, 72.

Conventazzo Nordwestmauer



Conventazzo
Torrenova, Prov. Messina, Italien
Orthofoto 2002
Gabriele Scharrer-Liska

0 0,2 0,5 1 2 m

Abb. 15: Orthophoto der Nordwestmauer

Conventazzo Nordmauer



Conventazzo
Torrenova, Prov. Messina, Italien
Orthofoto 2002
Gabriele Scharrer-Liska

0 0,2 0,5 1 2 m

A horizontal scale bar with markings at 0, 0.2, 0.5, 1, and 2 meters. The bar is divided into segments corresponding to these measurements.

Abb. 16: Orthophoto der Nordmauer

Alle Außenseiten des Conventazzo, ausgenommen Südost- und Südseite, lassen Reste je eines aus Ziegeln gefertigten Doppelbogenfensters¹⁹² erkennen. Besonders gut sind diese Doppelbogenfenster noch in der Nord- und Nordwestmauer sichtbar. Ihre innere Weite entspricht mit 58–64 cm in etwa einer byzantinischen Bau-Elle zu 62,46 cm¹⁹³. An sieben Seiten, ausgenommen im Südosten, sind zudem weiter nach oben reichende (nunmehr ebenfalls zugemauerte) Rundbogenfenster zu beobachten. In der Nordwestmauer – genau gegenüber dem Eingang im Südosten – präsentiert sich das Rundbogenfenster als nach außen geöffnetes Trichterfenster (Abb. 15). In der Südmauer, von deren äußerer Mauerschale (wie im Südosten) große Teile fehlen, läßt sich ein solches Rundbogenfenster lediglich durch die Form des Mauerausbruches erahnen.

Die Bögen der Rundbogenfenster sind aus Ziegeln konstruiert, die Gewände zum Teil aus Kalkquadern. Dabei setzen die Bögen leicht nach außen versetzt auf den Gewände-Innenseiten an. Die Rundbogenfenster sind schmaler und höher eingesetzt als die Doppelbogenfenster. Allein schon aufgrund der Stratigraphie sind die Doppelbogenfenster früher als die Rundbogenfenster entstanden. Durch die Rundbogenfenster hindurch lassen sich tiefer gelegte Fensterstürze mit einem elliptischen, flachen Ziegelbogen bzw. aus Ziegeln und Mörtel gefertigte Fensterstürze erkennen (die sogenannten „inneren Fenster“). Alle inneren und Rundbogenfenster weisen eine mehr oder minder gut erhaltene Vermauerung vorwiegend aus Geröllern auf.

Singulär im Conventazzo ist eine aus Ziegeln konstruierte Nische in der Südwestmauer welche an Stelle des ursprünglichen Rundbogenfensters in die Außenmauer eingesetzt wurde (Abb. 17). Sie scheint ausschließlich aus Ziegeln konstruiert und weist an ihrem oberen Ende einen Segmentbogen auf. Die Nische ist annähernd so breit wie das Doppelbogenfenster, wodurch letzteres nur mehr durch die Reste der äußeren Bogenansätze erkennbar ist. Damit ist die Nische auch breiter als das Rundbogenfenster, wodurch von diesem nur mehr Reste des Bogens, aber kein Gewände, wie an den übrigen Fensterseiten, erhalten ist. In die Segmentbogennische ist eine weitere nischenartige, annähernd rechteckige Vertiefung eingebaut. Aufgrund der Stratigraphie ist sie jünger als das Rundbogenfenster (und damit auch als das Doppelbogenfenster) zu datieren. Die Nische weist umfangreiche Putz- und auch Freskoreste auf. Besonders im oberen rechten Bereich der inneren Vertiefung sind noch lineare Farbreste in Rot, Gelb und flächige in Blau erhalten.

3.1.2.2. INNENSTRATIGRAPHIE

Da, wie gesagt, große Flächen der Innenmauern von Verputzschichten bedeckt sind, mußte sich die Innenbeschreibung auf formale Merkmale wie auch Mörtel- und Verputzschichten sowie Freskoreste beschränken.

Neben dem aktuellen Eingangsbereich wie auch dem Bereich des ehemaligen, nun zugemauerten Zuganges weist das Gebäude sieben Nischen auf (vgl. Faltplan 1). Nur „Nische 2“ weist rechteckige Form auf. Es könnte sich um einen ehemaligen, allerdings jetzt von außen schwer erkennbaren Eingang handeln, der, nachdem er seine Funktion verloren hatte, mit Trockenmauerwerk verschlossen wurde.

¹⁹² Die Idee, dass es sich dabei um Blendarkaden handeln könnte, äußerte Vittorio GIUSTOLISI, *Alla ricerca di Lipari bizantina*, I. Palermo 2001, 106–107.

¹⁹³ Erich SCHLBACH, *Byzantinische Metrologie (Handbuch der Altertumswissenschaften XII 4)*. München 1970, 21.

Conventazzo Südwestmauer



Conventazzo
Torrenova, Prov. Messina, Italien
Orthofoto 2002
Gabriele Scharrer-Liska

0 0,2 0,5 1 2 m

Abb. 17: Orthophoto der Südwestmauer

Die Nischen schließen nach oben hin mit aus Ziegeln gefertigten und mit Ziegeln verblendeten Halbkuppeln ab. Dabei sind die Anfänge des Ziegelblendbogens im Vergleich zum darunter befindlichen inneren Nischengewände leicht nach außen versetzt. Sie erinnern daher an die Konstruktionsweise der Rundbogenfenster in den Außenmauern des Conventazzo (vgl. Abb. 15 und 19–20). Die unteren Bereiche der Nischen sind aus Mischmauerwerk, bestehend aus Kalkquadern, Geröll- oder Lesesteinen sowie Ziegeln, aufgebaut. Die Nischen besitzen unterschiedliche Ausmaße; ihre Abstände zueinander sind unterschiedlich groß.

Das aufgehende Mauerwerk der Rotunde schließt mit einem Ziegelgesims ab. Oberhalb dieses Gesimses setzt auf der Rotundenmauer eine Kuppel an, die das Gebäude nach oben hin abschließt. Ihre Form ist auch von außen erkennbar.

Das erwähnte Ziegelgesims wird durch die acht „inneren Fenster“ durchbrochen. Diese schließen nach oben hin mit elliptischen, flachen, aus Ziegeln gebauten Bögen ab, welche aufgrund von Form und Konstruktion an den Bogen über dem derzeitigen Eingang zum Gebäude erinnern. Die Fensterbögen wurden mit Hilfe einer Balkenkonstruktion und Mörtel gefüllt, wodurch diese Fenster eine rechteckige Form erhielten. Zum Teil sind die Fenster als solche deutlich zu erkennen, da die Fensteröffnungen frei liegen bzw. nur teilweise durch Geröllsteine zugemauert sind. Die Fenster 3, 5 und 6 sind nur durch die teilweise unter dem Verputz frei liegenden elliptischen Ziegelbögen bzw. durch Bruchlinien im Verputz, welche die Fensterform und -position andeuten, erkennbar.

Der Conventazzo weist eine von innen wie von außen sichtbare Kuppel auf, welche außen – soweit erkennbar – mit einer Mörtelschicht überdeckt ist. Oben auf liegen teils lose Ziegel, was eine ehemalige komplette Dacheindeckung mit Ziegeln wahrscheinlich macht. Im Inneren des Conventazzo ist zu erkennen, daß die Kuppel oberhalb des erwähnten Ziegelgesimses ansetzt. Ein Vergleich der inneren und äußeren Erscheinung zeigt, daß diese Kuppel auf dem Innenteil der Mauern, also auf der Rotunde aufliegt und nicht auf den äußeren, oktogonalen Mauerteilen. Die wenigen verputzfreien Flächen sowie die durch den Verputz erkennbaren Konturen stärken die Vermutung, daß die Kuppel vollständig aus Ziegeln konstruiert ist.

3.1.2.3. MAUERWERK

Die Mauerstruktur des Conventazzo präsentiert sich als Mischmauerwerk in Mörtelmauertechnik¹⁹⁴. Bereits mit freiem Auge ist zu erkennen, daß das Gebäude aus unterschiedlichsten Baumaterialien¹⁹⁵ besteht. Es wurden Ziegel, sorgfältig bearbeitete Kalksteinquader aus jungen fossilen Kalken maritimer Herkunft wie auch (Fluß-)Geröll- bzw. Lesesteine¹⁹⁶ (vor allem dichte Kalke und Sandstein) verbaut. Letztere wurden vor der Verwendung als Baumaterial im wesentlichen nicht bearbeitet. Lediglich bei größeren dichten Kalksteinen konnte die plane Zurichtung der Schauseite beobachtet werden.

¹⁹⁴ BINDING, Architektonische Formenlehre (wie Anm. 191) 181.

¹⁹⁵ Ich danke Erich Draganits (Institut für Ingenieurgeologie der TU Wien) für eine erste Einschätzung des Steinmaterials anhand von Photos. Diese ersetzt jedoch keinesfalls ein geologisches Gutachten.

¹⁹⁶ Zur Definition des Steinmaterials vgl. GROSSMANN, Bauforschung (wie Anm. 190) 152.



Abb. 18: Nische 7 mit Hackspuren und Freskorestern: 1 – Stein- und Ziegelmauer 2 – grauer Verputz über Mauer 3 – darüber hellbrauner Verputz (Untergrund für erste Freskophase?) 4 – in diesem Verputz (3) kleine absichtlich geschlagene Löcher, um weitere Verputzschicht besser haften zu lassen. 5 – darüber weitere Verputzschicht (=Fresko-Unterlage?) 6 – Fresko (rote Farbreste)

Die Mauerschale wurde zum Großteil aus sorgfältig behauenen Quadern, Ziegeln oder einigermaßen zugerichteten Steinen aufgebaut. Dabei fanden die Kalksteinquader im allgemeinen Mauerbestand aber vor allem beim Bau der Gewände der Rundbogenfenster und Nischen sowie dem Eingangsbereich im Südosten Verwendung, wo sie offenbar auch stets als architektonisches Gestaltungselement auftreten. Hingegen besteht der Mauerkerne vor allem aus kleinformatigeren Geröllen, Bruchsteinen und Ziegelbruch, gebunden mit Mörtel.

In den Außenmauern scheinen in der Zone oberhalb der Bogen der Rundbogenfenster vor allem kleinformatigere Bausteine Verwendung gefunden zu haben. In diesem Bereich sind an manchen Seiten (so Nordwest- und Nordseite) auch noch umfangreich Mörtel bzw. Verputz erhalten. Trotz zahlreicher anzunehmender Ausbesserungsarbeiten im Laufe der Jahrhunderte sind an den Außenmauern (etwa im Westen, Norden und Osten) bisweilen noch horizontale Ausgleichslagen bzw. Arbeitsniveaus des Bauprozesses erkennbar. Ebenfalls als Spuren des Bauprozesses einzustufen sind an zahlreichen Stellen erhaltene Balkenlöcher, welche wohl als Spuren des verwendeten Baugerüsts zu interpretieren sind.

Für die Vermauerung der Fensteröffnungen sowie des ehemaligen Portals in der Südmauer wurden ausschließlich Gerölle und Ziegelbruch verwendet.

Etlliche Kalkstein-Quader zeigen beschädigte Stellen, speziell an den Ecken, oder dürften ursprünglich größer gewesen sein. Zudem gibt es Quader aus maritimen Kalken, deren Form keine Bedeutung für ihre Funktion im Mauerverband des Conventazzo hat. Dies und auch die Verwendung beschädigter Ziegel und solcher unterschiedlicher Formate lassen den Schluß auf eine Sekundärverwendung von Baumaterial zu.

Insgesamt sind im Innern des Conventazzo noch deutlich mehr Mörtel- und Verputzreste erhalten als an den Außenmauern. Die dort verbliebenen Verputzreste an den Mauern tragen teilweise – zwar nur mehr sehr kleinteilige aber doch zahlreiche – Freskenreste. Zumindest zwei Pakete von Freskounterlagen und Freskos sind nachweisbar, was besonders gut in Nische 7 (Abb. 18) erkennbar ist.

Über den Freskoschichten befindet sich zumindest eine (vielleicht sogar zwei) Lage(n) eines weißen (Kalk-?) Anstriches. Dieser wiederum ist von einer deutlichen Rußschicht bedeckt, die vermutlich weniger von einem Brand, sondern vielmehr durch die Funktion des Conventazzo in jüngeren Nutzungsphasen (als Unterstand für Hirten bei Schlechtwetter) bedingt sein dürfte.

Die im Inneren festgestellten Freskoreste (vorwiegend in Rot) lassen vermuten, daß das Gebäude während bestimmter Nutzungsphasen dort flächendeckend bemalt war.

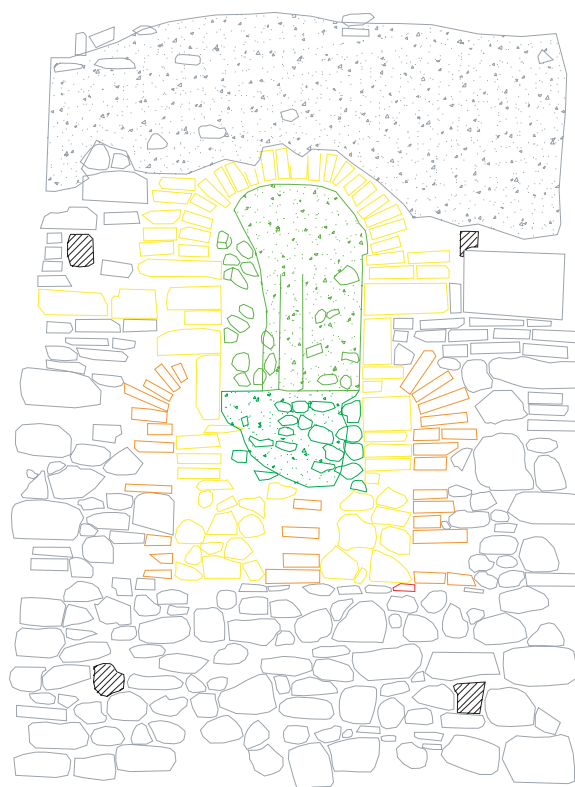
3.2. BAUANALYSE

Die Stratigraphie des Conventazzo kann zur Zeit nicht bis ins letzte Detail geklärt werden. Zu diesem Zweck müßten kleinere Eingriffe am Gebäude vorgenommen werden. Bis dato konnten immerhin vier Hauptbauphasen unterschieden werden.

3.2.1. BAUPHASE I

Der Conventazzo in Form eines Oktogons weist aus Ziegeln gefertigte Doppelbogenfenster auf. Höchstwahrscheinlich besitzt das Gebäude auch innen Oktogonform. Mit Sicherheit existieren die Nischen der Rotunde noch nicht, da sie vom Niveau her mit den Doppelbogenfenstern nicht korrespondieren

Conventazzo Nordwestmauer



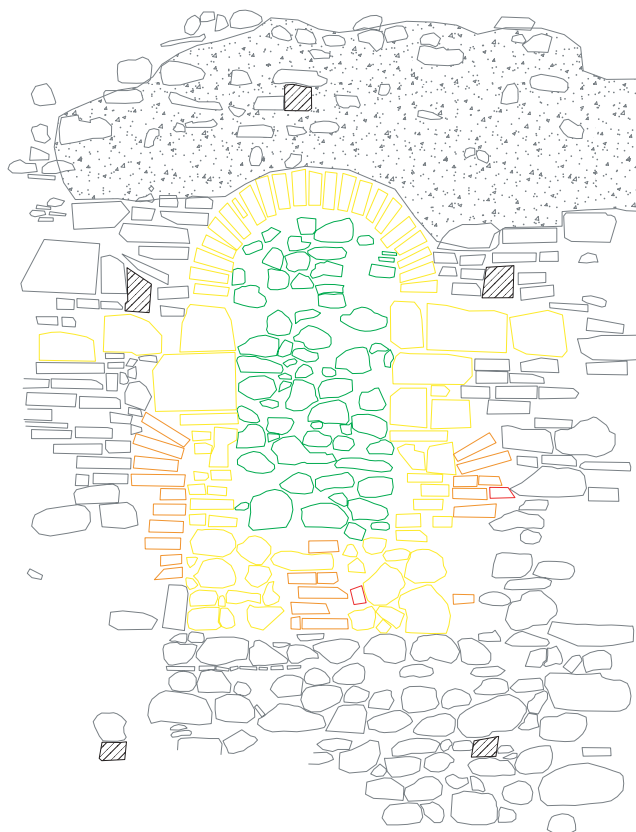
0 0.2 0.5 1 2 m

Conventazzo
Torrenova, Prov. Messina, Italien
Baufaufnahme + Bauphasen 2002
Gabriele Scharrer-Liska

-  Bauphase 1
-  Bauphase 2
-  Bauphase 3a
-  Bauphase 4
-  Mauer
-  Verputz/Mörtel
-  Balkenlöcher

Abb. 19: Bauphasenplan der Nordwestmauer

Conventazzo Nordmauer



0 0.2 0.5 1 2 m

Conventazzo
Torrenova, Prov. Messina, Italien
Bauaufnahme + Bauphasen 2002
Gabriele Scharrer-Liska

- Bauphase 1
- Bauphase 2
- Bauphase 4
- Mauer
- Verputz/Mörtel
- Balkenlöcher

Abb. 20: Bauphasenplan der Nordmauer

könnten¹⁹⁷. Möglicherweise liegt der Eingang im Süden. Das Oktogon hat vermutlich kein Kuppeldach; eher ist bei den gegebenen Grundrißmaßen (Abb. 14) und einer Mauerstärke von mindestens 50 cm eine Überdachung in Form eines flach geneigten pyramidalen Zeltdaches aus acht Dreiecksflächen vorstellbar¹⁹⁸.

3.2.2. BAUPHASE 2

Das Oktogon erhält ein Dach in Form einer Kuppel. Dazu wird dem Conventazzo eine Rotunde mit Nischen eingebaut. Auf dieser Rotunde setzt das Kuppeldach auf. Eine nach außen abschließende Überdachung mit Dachziegeln in Form eines flach geneigten pyramidalen Zeltdaches aus acht Dreiecksflächen ist weiterhin denkbar. Mit dem Einbau der Rotunde verlieren die Doppelbogenfenster der ersten Bauphase ihre Funktion, da sie ja durch den Rotundeneinbau verschlossen werden. Die inneren Nischen schließen nach oben hin mit aus Ziegeln gefertigten und verblendeten Halbkuppeln ab, ihre unteren Bereiche sind aus Mischmauerwerk, die Nischengewände zu einem großen Teil aus Kalkquadern aufgebaut. Die Ziegelblendbögen setzen leicht nach außen versetzt am Nischengewände an (Faltplan 1). Diese Konstruktionsweise gleicht damit jener der Rundbogenfenster in den Außenmauern des Conventazzo. Nun ersetzen die Rundbogenfenster die älteren Doppelbogenfenster. Die typologische Entsprechung von Nischen und Rundbogenfenstern spricht für ihre Gleichzeitigkeit. Die Rundbogenfenster sind höher in der Mauer eingesetzt als die Doppelbogenfenster (Abb. 20). Es besteht der Eindruck, daß in dieser Umbauphase Kalksteinquader (in Sekundärverwendung) beim Bau der Rundbogenfenster, der Nischen sowie der Gestaltung der Außenmauern bewußt als architektonisches Gestaltungselement eingesetzt werden. Die Änderung der Mauerstruktur mit dem oberen Abschluß der Rundbogenfenster spricht für eine Erhöhung des Gebäudes insgesamt im Zuge der Umbauten.

Möglicherweise wird zu diesem Zeitpunkt auch bereits der Eingang von der Süd- an die Südostseite des Gebäudes verlegt. Jedoch kann vorerst keine Rekonstruktion des Portals zu jenem Zeitpunkt schlüssig dargestellt werden. Für eine Verlegung des Einganges in die Südostmauer spricht, daß keine erkennbaren Reste eines Rundbogenfensters in dieser zu finden sind, dafür aber eine bogenförmige Ausbruchkontur in der Mauerschale der Südmauer. Nicht erklärbar ist zur Zeit, warum der ursprüngliche Zugang in der Südmauer im Inneren des Conventazzo als rechteckiges Portal erkennbar ist und an dieser Stelle keine Nische eingebaut wurde. Dieser Umstand würde eher für eine damalige Beibehaltung des Einganges im Süden sprechen¹⁹⁹. Insgesamt erscheint Bauphase 2 mit dem Einbau der Rotunde mit Nischen, dem Aufsetzen der Kuppel und gravierender Änderung der Durchfensterung und damit auch Lichtführung im Inneren als Ausbauphase.

¹⁹⁷ Doppelbogenfenster und Nischen könnten nur dann gleichzeitig existieren, wenn erstere keine Fenster, sondern die zitierten Blendarkaden (so GIUSTOLISI, s. Anm. 192) wären. Die stilistischen Unterschiede sprechen allerdings gegen diese Annahme.

¹⁹⁸ Vgl. GIGLIO (wie Anm. 10) 207 (Abb.).

¹⁹⁹ Ob es sich dabei um einen ehemaligen Zugang zum Conventazzo selbst oder einen Zugang in einen ehemals gegebenen Vor- oder Nebenraum handelt, ist zur Zeit nicht zu bestimmen.

3.2.3. BAUPHASE 3

Die Rundbogenfenster des Conventazzo werden durch annähernd rechteckige, weniger hohe Fenster, deren oberer Abschluß aus einem flachen, elliptischen Ziegelbogen besteht (der vermutlich als Entlastungsbogen zu interpretieren ist), abgelöst. Dieser Ziegelbogen wird mit Hilfe einer Balkenkonstruktion und Mörtel zu rechteckigen Fenstern aufgefüllt. Ob die Umgestaltung des Fensters in der Nordwestmauer zu einem Trichterfenster (Abb. 15) schon dieser Bauphase zugerechnet werden kann (Bauphase 3a) oder erst Bauphase 4, kann nicht mit Sicherheit bestimmt werden. Möglicherweise wird auch erst in dieser Bauphase der Eingang von der Süd- an die Südostseite des Conventazzo verlegt. Dafür würde die stilistische Gleichheit der annähernd rechteckigen Fenster mit flachem, elliptischem Ziegelbogen und des Zugangs im Südosten, der ebenfalls von einem solchen Ziegelbogen überspannt wird, sprechen.

3.2.4. BAUPHASE 4

Die rechteckigen Fenster der Bauphase 3 verlieren ihre Funktion und werden, wie schon der ehemalige Zugang in den Conventazzo an der Südseite, mit Trockenmauerwerk geschlossen. Vielleicht wird noch vor der endgültigen Schließung der Fenster jenes in der Nordwestmauer – genau gegenüber dem Eingang – zu einem Trichterfenster umgestaltet. In der Südwestmauer kann nun außen eine Nische, die nach oben hin mit einem aus Ziegeln gefertigten Segmentbogen abschließt, eingebaut werden (Bauphase 4a) (Abb. 17). Diese Nische zeigt noch Freskenreste in Rot, Blau und Gelb. Dabei bilden die gelben und roten Farbreste lineare Begrenzungen des Freskos, während die blauen Farbreste zum ehemaligen Bildhintergrund zu zählen sein dürften.

Der Eingang zum Oktogon im Südosten erfährt eine Veränderung. Der flache, elliptische Ziegelbogen am oberen Ende wird durch einen höheren Rund- oder Segmentbogen mit Tympanon ersetzt (Bauphase 4a). Dieser Segmentbogen überlagert das Fenster („inneres Fenster“ 1) über dem Eingang, was für eine Gleichzeitigkeit des Umbau des Portals und der Aufgabe der Fenster spricht. Wie im Falle der Nische in der Südwestmauer sind auch hier Putz- und Freskenreste (in Rot) erhalten. Der Conventazzo hat nun (bis auf das Trichterfenster im Nordwesten) keine Fenster mehr; der Lichteinfall ist somit drastisch reduziert. Möglicherweise signalisiert diese Umgestaltung auch einen Funktionswandel des Gebäudes.

Eine Korrelierung der Putz- und Freskenreste im Inneren des Conventazzo mit jenen an den Außenmauern ist aufgrund des schlechten Erhaltungszustandes mit Hilfe der Bauforschung nicht möglich. Archäometrische Untersuchungen der Putz- und Farbreste mögen hier entscheidende Hinweise liefern.

3.3. KULTURHISTORISCHE INTERPRETATION

Die Entstehungszeit des Conventazzo ist zur Zeit noch ungeklärt. Allgemein kann konstatiert werden, daß der Typ des Zentralbaus in Italien auf (spät)antiken Wurzeln fußt. Im 4. bis 5. Jahrhundert ist diese Bauform typisch für Baptisterien und Memorialkapellen²⁰⁰. Stilgeschichtlich läßt sich der Convent-

²⁰⁰ Matthias UNTERMANN, *Der Zentralbau im Mittelalter. Form – Funktion – Verbreitung*. Darmstadt 1989, 254 ff.; KISLINGER, *Moneta* 294, Anm. 5 (weiterführende Literatur).

tazzo derzeit nicht einordnen. Die Entstehungszeit ist in der Spätantike bzw. in der Zeit bis ins 6. Jahrhundert zu vermuten, auf jeden Fall vor der mittelbyzantinischen Zeit. In normannische Zeit ist das Oktogon entstehungsmäßig mit Sicherheit nicht zu datieren²⁰¹.

Auch Bedeutung und Funktion des Conventazzo harren noch einer (wohl nur archäologisch zu leistenden) Klärung. Zu denken wäre an einen Memorialbau oder ein Baptisterium, wobei allerdings seine Dimensionen im Vergleich zur südöstlich gelegenen Kiche erstaunlich groß ausfallen. Ob und ab wann überhaupt ein direkter baulicher Zusammenhang mit der Kirche besteht, wird ebenso erst durch künftige archäologische Forschungen zu ermitteln sein.

G. Scharrer-Liška

Anhang

METHODISCHE GRUNDLAGEN DES GEORADARS

Methodik

Das Georadar (ground penetrating radar = GPR) nützt eine elektromagnetische Welle als Signalträger. Ein elektromagnetischer Impuls mit einer bestimmten Frequenz (zwischen 110 und 900 MHz) wird mittels einer Sendeanenne in den Untergrund abgestrahlt. Er breitet sich im Untergrund mit einer materialabhängigen Geschwindigkeit aus und wird an den Grenzflächen archäologischer Ablagerungen, Mauern oder natürlicher Schichten mit unterschiedlichen physikalischen Eigenschaften reflektiert. Das an die Oberfläche zurückkehrende elektromagnetische Signal wird von einer Empfängerantenne erfaßt und in einem Raster von $0,5 \times 0,05$ m digital aufgezeichnet. Die Veränderungen der Signalf orm (Amplitude und Frequenz) erlauben Rückschlüsse auf die physikalischen Eigenschaften der von der elektromagnetischen Welle durchlaufenen anthropogenen und natürlichen Ablagerungen, wie ihre Mineralzusammensetzung, Feuchtigkeit, Porosität etc. Die Laufzeit des Signals ist proportional zu der Entfernung der reflektierenden Grenzfläche.

Im wesentlichen beeinflussen die Materialeigenschaften der Ablagerungen, wie die Dielektrizitätskonstante und die elektrische Leitfähigkeit neben gerätespezifischen Parametern, wie die Antennenabstrahlcharakteristik oder die Frequenz des Impulses die Ausbreitung der elektromagnetischen Wellen im Untergrund. Der Kontrast der Dielektrizitätskonstanten zweier Schichten bestimmt den Betrag der reflektierten Energie an den Schichtgrenzen. Die in den Boden abgestrahlte elektromagnetische Energie wird, abhängig von den Materialeigenschaften der Schichten, unterschiedlich gedämpft; man spricht von einem materialbedingten Absorptionsverlust. Die Amplitudenabnahme des ausgesandten Energieimpulses hängt dabei im wesentlichen von der Leitfähigkeit der Schicht und dem zurückgelegten Weg ab. Die Leitfähigkeit ist die bestimmende Größe für die effektive Eindringtiefe der elektromagnetischen Wellen. Durch den Vergleich der Amplituden ist es möglich, einzelne Bereiche der Stratifikation nach ihrer Absorptionseigenschaft zu unterscheiden.

²⁰¹ Für entsprechende Informationen danke ich Helmut Buschhausen und Ewald Kislinger.



Abb. 21: Messung im Oktober 2001

Meßgerät und Meßvorgang

Für die Georadarmessungen wird ein von Archeo Prospections® speziell für die Archäologie adaptiertes digitales Meßsystem „PULSEKKO® 1000“ verwendet. Es besteht im wesentlichen aus vier Komponenten: der Kontrolleinheit, der Sender- und der Empfängerantenne sowie einem Notebook zur Steuerung der Messung und zur Datenerfassung. Das System wird von einer 12 V Batterie extern versorgt. Das Gerät ist handlich, rasch und vielseitig einsetzbar. Es stehen Antennen mit einer Frequenz von 110, 225, 450 und 900 MHz zur Verfügung. Die Steuerung und Signalübertragung erfolgt über ein optisches Kabel, das einen ausgezeichneten Schutz gegen elektrische Störungen von außen gewährleistet. Durch Stapelung des Signals an jedem Meßpunkt läßt sich das Signal-Noise-Verhältnis zu Lasten des Meßfortschritts wesentlich verbessern. Durch die getrennte Ausführung von Sender- und Empfängereinheit ist es möglich, den Abstand zwischen den Antennen an die Problemstellung anzupassen. Dadurch kann auch die Ausbreitungsgeschwindigkeit der elektromagnetischen Wellen direkt mit CMP (common-mid-point) Geometrie bestimmt werden.

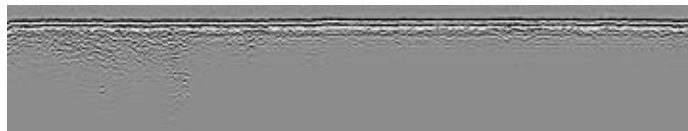


Abb. 22: Radargramm

In der normalerweise verwendeten Reflexions-Methode werden die Sende- und Empfängerantenne entlang eines Profils in gleichmäßigen Schritten versetzt, gesteuert durch ein Distanzmeßgerät. Die Abstände der einzelnen Profile sollten 0,5 m nicht übersteigen. Entlang des Profils werden Meßpunktabstände zwischen 0,05 und 0,1 m gewählt.

Datenverarbeitung und Visualisierung

Georadarmessungen erzeugen ausgesprochen große Datenmengen im Bereich von Gigabytes. Solche Datenmengen wie sie bei archäologischen Anwendungen anfallen, lassen sich mit kommerzieller Software nicht effizient verarbeiten. Aus diesem Grund mussten eigene Datenverarbeitungsprogramme für den archäologischen Einsatz erstellt werden. Die Visualisierung von Georadardaten erfolgt konventionell zumeist in Form vertikaler Sektionen, die jedoch in der Archäologie einen geringen Aussagewert aufweisen. Aufbauend auf den durch die Geomagnetik gemachten Erfahrungen wurden deshalb Visualisierungen in Form digitaler Graustufenbilder angestrebt.

Dazu werden aus den vertikal in einzelnen Profilen aufgenommenen Georadardaten horizontale Schnittbilder berechnet. Dabei wird aus den Daten ein dreidimensionaler Datenblock erstellt, aus dem die einzelnen horizontalen beziehungsweise auch vertikalen Visualisierungen abgeleitet werden

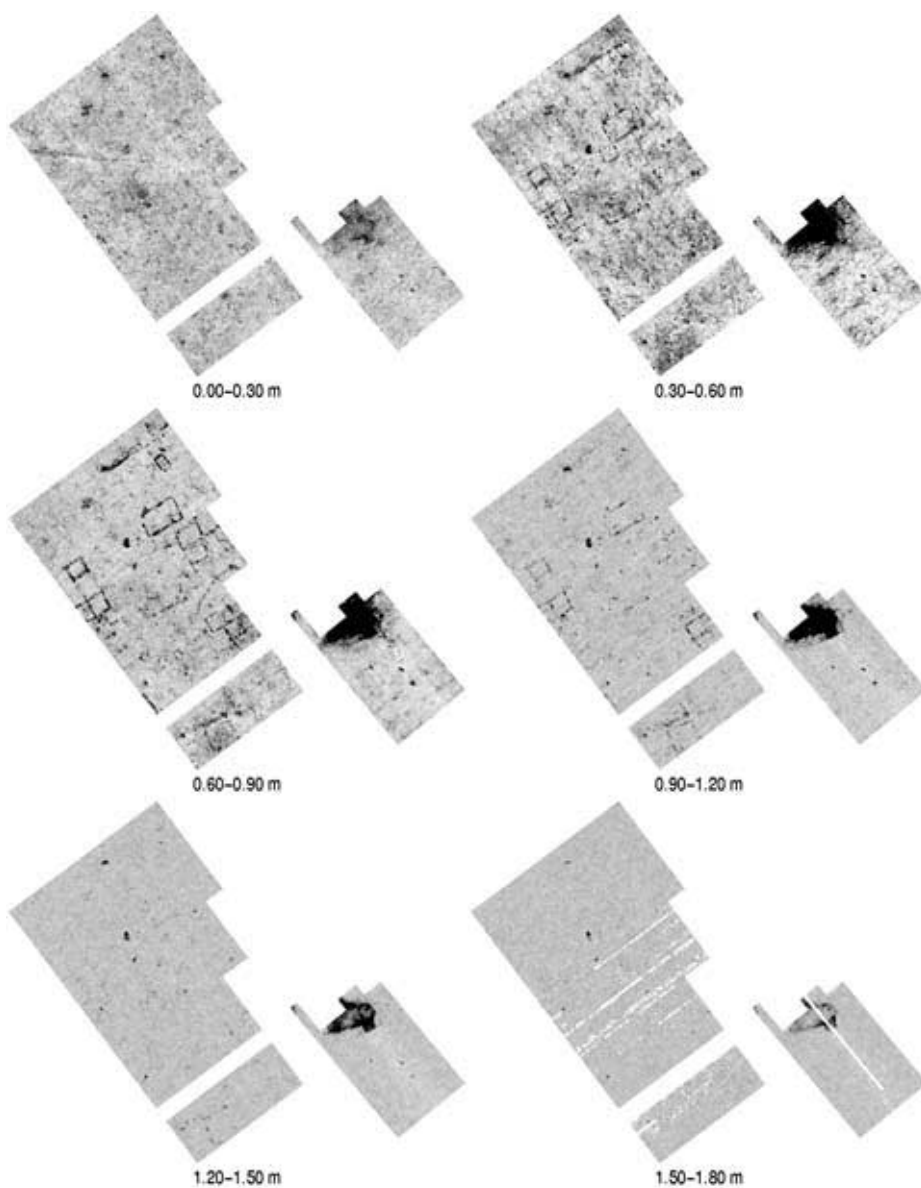


Abb. 23: Amplitudenflächenpläne

können. Die Verteilung der Amplituden der Reflexionen in einem bestimmten Zeitbereich wird als Zeitscheibe (time-slice) bezeichnet. Es wird dabei der Absolutbetrag der Amplitude für die Berechnung der Zeitscheiben verwendet, eine Methode, die sich für archäologische Aufgabenstellungen sehr gut bewährt hat. Der Absolutbetrag der Amplitude in den jeweiligen Tiefenbereich wird durch Aufsummieren der Amplitudenbeträge über ein Zeitintervall berechnet. Die Amplitudenwerte sind ein Maß für die Reflexivität des Untergrundes in einem bestimmten Tiefenintervall.

Während hohe Amplitudenwerte relativ zur Umgebung auf erhöhte Reflektivität durch Strukturen und Objekte wie zum Beispiel Mauern hindeuten, repräsentieren niedrige Amplitudenwerte die stark dämpfenden, humosen oder lehmigen Schichten. Alle Amplitudenflächenpläne ergeben zusammen einen dreidimensionalen Datenblock des untersuchten Tiefenbereiches. Der Energieverlust der Zeitscheiben mit der Tiefe wird durch eine multiplikative Angleichung aller Zeitscheiben an ein gemeinsames Niveau beseitigt. Alle Zeitscheiben können dadurch im gleichen Grauwertebereich visualisiert werden. Die Amplitudenflächenpläne bilden die Grundlage für eine Einbindung in das GIS und die anschließende archäologische Interpretation.

W. Neubauer – S. Seren

GEODÄTISCHE KAMPAGNE – AUFBAU EINES ARCHÄOLOGISCHEN GEOINFORMATIONSSYSTEMS

Nachstehende Darlegungen gelten zum einen der Generierung eines digitalen Geländemodells des Grabungsareals und seines näheren Umfeldes, zum anderen dem Konzept eines archäologischen Geoinformationssystems, welches auf den Funden der ersten Grabungskampagne aufbaut. Beides wurde 2002 durch den Autor im Rahmen einer Diplomarbeit an der Hochschule für Technik und Wirtschaft Dresden (FH), Fachbereich Vermessung/Kartographie erstellt, dies in Zusammenarbeit mit dem Institut für Ur- und Frühgeschichte an der Universität Wien, weiters dem Institut für Byzantinistik und Neogräzistik ebendort.

Ein Impuls für diese Bestrebungen war und ist in der Intention gegeben, die Geodäsie und Informatik – besonders die Geoinformatik – stärker in die archäologischen Wissenschaften einzubinden. Der Diplomarbeit bei Prof. Ing. Dr. Reppchen (Dresden) und Univ.-Prof. Dr. Daim (Wien) lag folgende Problemstellung zugrunde: Durch die Universität Wien, Institut für Ur- und Frühgeschichte, erfolgen innerhalb des Projekts „Conventazzo“ im Gebiet um Torrenova (Nordsizilien/Italien) u. a. archäologische Feldforschungen in Form von Schichtgrabungen. Zur Unterstützung der Feldforschungen ist eine vermessungstechnische Kampagne zur Erschließung des ländlichen Areals geplant. Auf der Grundlage dieses Raumbezuges soll ein archäologisches Geoinformationssystem zur Einordnung, Verwaltung, Analyse und Präsentation der Forschungsdaten angelegt werden.“

Topographischer Lageplan und Oberflächenmodell

Es liegt im Interesse des Archäologen, durch die Kartographie eine klare Sichtweise von Topographie und Oberflächenrelief zu erhalten. Über das Grabungsareal „Santo Pietro di Deca“ existierten bislang kaum wissenschaftlich verwendbare Kartenunterlagen; sie entstammen der italienischen photo-

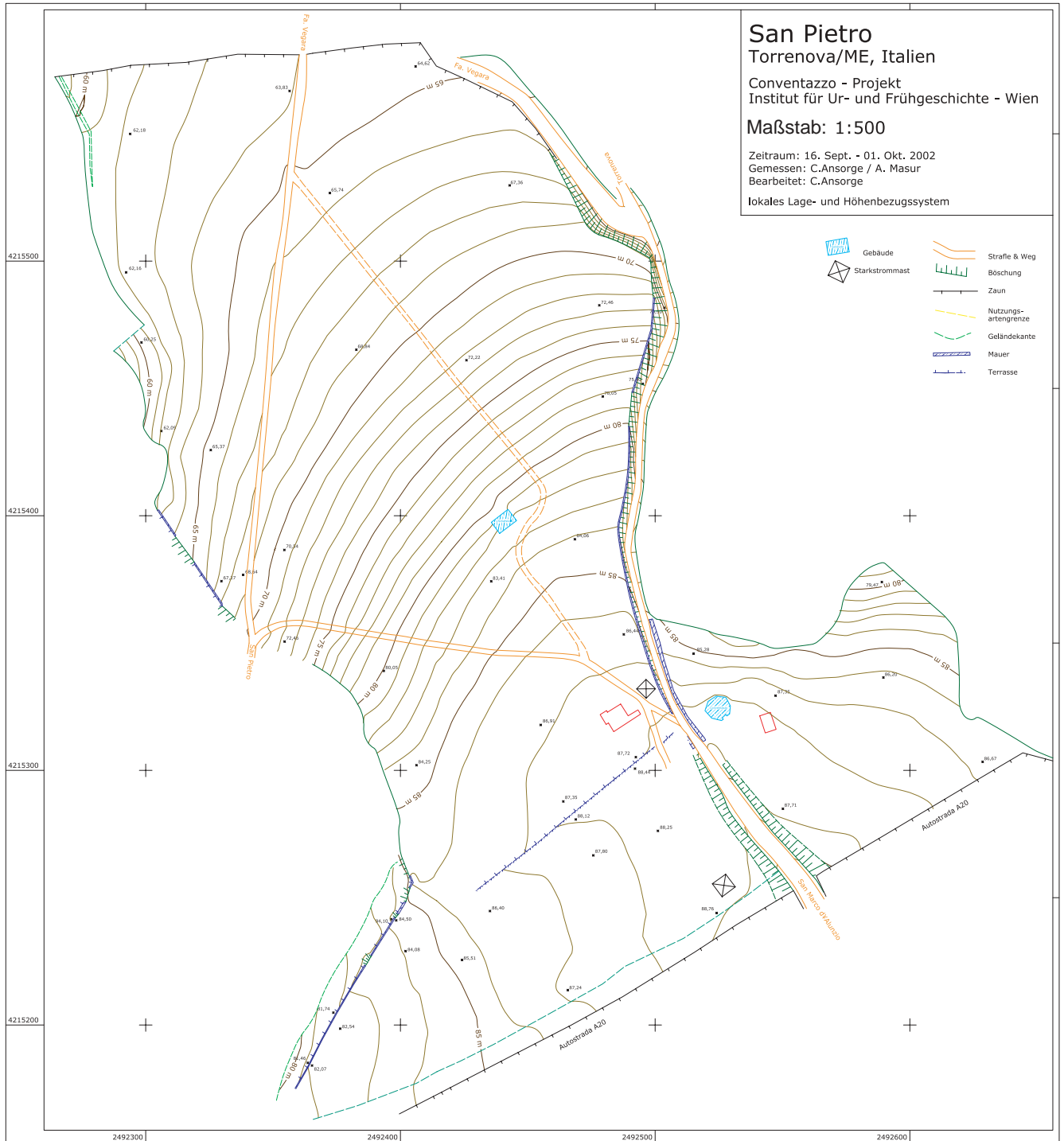


Abb. 24: Digitales Geländemodell des aufgemessenen Areals (blau) und der näheren Umgebung

grammetrischen Luftbildauswertung und sind in ihrer Lage- und Höhen-
genauigkeit sowie im Maßstab ungeeignet. Daher definierte sich ein Ziel meiner
Arbeiten, diesbezüglich geeignete Grundlagen zu erstellen, eine Darstellung
als Lage- und Höhenplan zu erzielen. Dabei wurde besonderes Augenmerk auf
die archäologisch relevanten Details gelegt. Zur besseren Darstellung des Gel-
ändes wurde noch zusätzlich die nähere Umgebung des Grabungsareals

durch Digitalisierung von bestehendem Kartenmaterial in das Oberflächenmodell integriert. Geographisch umfangreichere Höhenschichtenmodelle oder eine Rekonstruktion der klösterlichen Anlage wären als Folgeprodukte denkbar.

Als Aufnahmetechnologie kam durch den intensiven Bewuchs des Geländes und die aufzunehmenden Details nur eine Vermessung mittels Tachymetrie in Frage. Die zur Vermessung benötigte technische Ausrüstung wurde zum Teil von der Hochschule für Technik und Wirtschaft Dresden (FH) zur Verfügung gestellt, zum Großteil jedoch über das Institut für Ur- und Frühgeschichte von der in Wien ansässigen Firma Rost bezogen.

Die geodätische Grundlage stellten betonierte Festpunkte dar. Diese Festpunkte sind über das Gelände verteilt und nur in einem lokalen Koordinatensystem bestimmt. Die Transformation in das übergeordnete italienische Landeskoordinatensystem erwies sich aufgrund einer sehr ungünstigen Passpunktsituation als zu aufwendig und wurde, da keine dringende Notwendigkeit gegeben war, fallengelassen. Das bereits vorhandene geodätische Punktfeld wurde durch den Autor noch verdichtet, ausgeweitet und lage- sowie höhenmäßig bestimmt. Dies geschah durch eine umfangreiche Richtungs- und Streckenmessung und die anschließende mathematische Ausgleichung der Widersprüche durch das Programm „KAFKA“ (basierend auf dem Gauss-Markoff-Modell). Dadurch wurde unter anderem auch der Genauigkeitsnachweis für das Aufnahmepunktfeld und das darauf basierende Geländeaufmaß geführt. Die Lagestandardabweichung der Festpunkte liegt im arithmetischen Mittel bei 18 mm. Somit sind alle Anforderungen seitens der Meßgenauigkeit für eine kartographische Darstellung im Maßstab 1:500 oder 1:250 erfüllt.

Das eigentliche Geländeaufmaß wurde in einem Zeitraum von fünf Tagen abgeschlossen. Ausgehend von den Aufnahmestandpunkten wurden über 600 Geländepunkte aufgenommen. Ebenso konnte der eigentliche Conventazzo, ebenso ein Stallgebäude nördlich davon sowie zahlreiche, teils nur noch als Schuttanhäufung erkennbare Mauerzüge geodätisch erfasst werden. Erschwerend für die Aufnahme stellte sich die dichte Vegetation des Olivenhaines heraus. So mußten für die Geländeaufnahme mit einer Ausdehnung von circa acht Hektar 22 Aufnahmestandpunkte angelegt werden.

Als Schnittstelle für die Datenregistrierung wurde die Software „LIS-CAD“ angewandt, welche freundlicherweise durch das Landesamt für Archäologie/Sachsen zur Verfügung gestellt wurde. Dieses Programm, welches auf einem graphischen Feldbuch installiert wurde, erlaubt neben der Online-Registrierung der polaren Daten und der Berechnung der Stationierungsparameter die Ansicht der aufgenommenen Topographie während der Messung und die Generierung eines TIN (Dreiecksvermaschung).

Die gewonnenen Daten wurden anschließend in „AutoCad“ importiert und bearbeitet. Das Produkt ist ein topographischer Lage- und Höhenplan des Areals im Maßstab 1:500.

Archäologisches Geoinformationssystem

Die Dokumentation einer archäologischen Grabung ist die einzige Möglichkeit, die gewonnenen Informationen zu bewahren, denn eine Ausgrabung stört bis zerstört in der Regel den Originalbefund. Die Befundsituation muß daher in einer Dokumentation festgehalten werden. In der heutigen Praxis lassen sich für diese drei Grundelemente festlegen:

- graphische Dokumentation (Zeichnungen, Vermessungsdaten)

-
- beschreibende Dokumentation (Beschreibungen, Formulare, Protokolle, Datenbanken)
 - photographische Dokumentation (analog und digital)

Wie auch in der Grabungstechnik gibt es in der Dokumentation verschiedene methodische und technologische Ansatzweisen. Die analoge Dokumentation unterscheidet sich von der Aufnahmemethodik und ihrem Produkt her wesentlich von der digitalen Dokumentation. Obwohl letztere durch ihre Effizienz und die direkte dritte Dimension zu bevorzugen ist, hat sie doch gewisse Nachteile durch das zur sinnvollen Anwendung notwendige Know-how und die Hardwareabhängigkeit.

Heutzutage hat sich die graphische Dokumentation mittels CAD und die Befundverwaltung über Datenbanken bereits weitgehend durchgesetzt. Für zahlreiche Anwendungen besteht das Problem der kombinierten Auswertung von Sach- und Geometriedaten. Die digitale Schnittstelle zwischen den unterschiedlichen Datenformaten (alphanumerische Datenfelder und Vektor- oder Rasterdaten) ist ein Geographisches Informationssystem (GIS): Ein Geoinformationssystem ist nun ein System zur Erfassung, Analyse und Präsentation von Daten, welche sich auf räumliche Objekte beziehen. Dieses GIS besteht nach gängigem Verständnis aus einer geographisch adressierbaren Datenbank und einer darauf abgestimmten Anwendungssoftware. Raumbezogene Informationen sollen zu topologischen Objekten zusammengefaßt werden und über Attribute für eine erweiterte Auswertung mittels Datenbank zugänglich gemacht werden.

Die Geoinformatik ist in der Archäologie bisher kaum zum Einsatz gekommen. Die wenigen Systeme dienen fast ausschließlich globalen Funktionen, wie zum Beispiel als Bodendenkmalkataster und Fundstellenkartierung. Ansätze und Konzepte, die sich mit der archäologischen Dokumentation befassen, sind bis dato hingegen sehr selten.

Das Ziel des zweiten Abschnittes der Arbeit war bei der geschilderten Ausgangssituation, ein Konzept für ein archäologisches Geoinformationssystem zu erstellen. Das System ist allgemein konzipiert und nicht auf eine Grabungs- oder Dokumentationsmethodik fokussiert. Der Grundgedanke und die Intention dieses Projektes ist es, die gesamten, mit der Grabung in Zusammenhang stehenden Informationen in einem Projekt zu bündeln und zu strukturieren. Dies dient vor allem der Verwaltung, Analyse und Präsentation und soll einem späteren Bearbeiter eine bessere Auswertung und Übersicht über die Grabungsdokumentation ermöglichen. Dies kann in Form von Metadaten oder – wie in diesem Fall – über die direkten Informationen geschehen. Mit dem Geländemodell als Geobasisdaten und den Daten des Schnittes I der Grabungskampagne I (2002) als repräsentativer Datensatz wurde – das Ergebnis kurz vorweggenommen – ein System entwickelt, welches beliebig ausweitbar ist und sich gegenwärtig bis in die Keramikauswertung erstreckt.

Die archäologische Feldforschung in San Pietro wird mittels der stratigraphischen Grabungsmethodik durchgeführt. Bei Grabungskampagne I (2002) lag eine konventionelle Dokumentationsmethodik vor, bei welcher nur die photographische Dokumentation auf digitalem Weg erfolgte. Basierend auf „Access“ wurde mit den Formularen und Protokollen der beschreibenden Dokumentation eine Grabungsdatenbank aufgebaut. Diese besteht aus sechs Tabellen, die sich an den in den Formularen erfaßten Informationen orientieren. Es war notwendig, das Befundformular in drei einzelne Tabellen zu zerle-

gen, um die stratigraphischen Beziehungen der Stein- und Erdbefunde datenbanktechnisch eindeutig verarbeiten zu können. Der Primär- und Fremdschlüssel ist hierbei die Bezeichnung des jeweiligen Befundes. Neben dem Befundformular wurde auch das Fundprotokoll in die Datenbank integriert und über das gemeinsame Attribut „Fundnummer“ mit dem Fundinventar verknüpft. Mittels eines solchen Datenbankprojektes wird es künftig möglich sein, alle während der Grabung und der nachfolgenden Auswertung gewonnenen Informationen digital zu erfassen, auszuwerten und zu präsentieren.

Ch. Ansorge

DIGITALE BEFUNDDOKUMENTATION

Mit der Grabungskampagne II (2003) erfolgte die Umstellung auf digitale Befunddokumentation²⁰², nur einzelne Elemente werden weiterhin „händisch“ durchgeführt.

- Unverändert bleibt die konventionelle Photodokumentation (digital, Dia und Farbbilder), ebenso die Beschreibung der Stratifikationseinheiten auf den Stratifikationseinheitsblättern.
- Sämtliche in einem Dokumentationsvorgang dokumentierten Stratifikationseinheiten (SE) werden mittels einer Skizze festgehalten, diese dient als Hilfe bzw. Anleitung und Überblicksplan bei der digitalen Dokumentation.
- Die Oberfläche jeder SE wird durch einen Umriß (Grenze der horizontalen Ausdehnung der SE) und Punkte (Grenze der vertikalen Ausdehnung der SE) erfaßt und dokumentiert. Dies geschieht mittels eines Tachymeters.
- Die derart dokumentierte SE wird zusätzlich photographiert (digital). Für dieses Photo werden (mit dem Tachymeter) mindestens 4 Paßpunkte eingemessen.

Die mittels Tachymeter (Leica TCR 407, Gerätenummer 689555) erfaßten Daten werden während der Messung kodiert. Das Kodiersystem basiert auf einem Konzept von Mag. Dr. Michael Doneus, wurde aber verändert und an die Grabungskonventionen in Torrenova angepaßt. Die so kodierten Daten werden von dem Tachymeter als Leica-GSI-Dateien ausgegeben.

Die Weiterverarbeitung und Generierung von Umrissen und Oberflächen der einzelnen Stratifikationseinheiten erfolgt mit einer Extension für die Software „ArcView GIS 3.2a“. Diese Extension „ArcTOR 1.0“ wurde in „Avenue“ programmiert und ist aus einem Teil der Extension „ArcDig 0.6“ von Michael Doneus hervorgegangen. „ArcTOR 1.0“ liest die Leica-GSI-Dateien und produziert für jede Stratifikationseinheit folgende Dateien im ESRI Shapefile-Format: eine 3D-Umrißlinie, ein 2D-Umrißpolygon, 3D-Oberflächenpunkte und 3D-Paßpunkte.

Die Digitalphotos werden mit Hilfe der Passpunkte entzerrt, d. h. es können Orthophotos, in denen Entfernungen gemessen werden können, produ-

²⁰² Es wird dabei auf Erfahrungen in der digitalen Grabungsdokumentation des Instituts für Ur- und Frühgeschichte der Universität Wien (Mag. Dr. Michael Doneus) und des Vienna Institute for Archaeological Science der Universität Wien (Mag. Dr. Wolfgang Neubauer) zurückgegriffen (Michael DONEUS – Wolfgang NEUBAUER – Nikolaus STUĐNICKA, Digital Recording of Stratigraphic Excavations, in: O. Altan (Hrsg.), *New Perspectives To Save Cultural Heritage. Proceedings of the XIXth International Symposium CIPA 2003, Antalya (Turkey), 30 September – 04 October, 2003.* O. O. 2003, 451–456). Michael Doneus sei an dieser Stelle für die Erlaubnis gedankt, die Extension „ArcDig 0.6“ für „ArcView GIS 3.2“ verwenden zu dürfen.

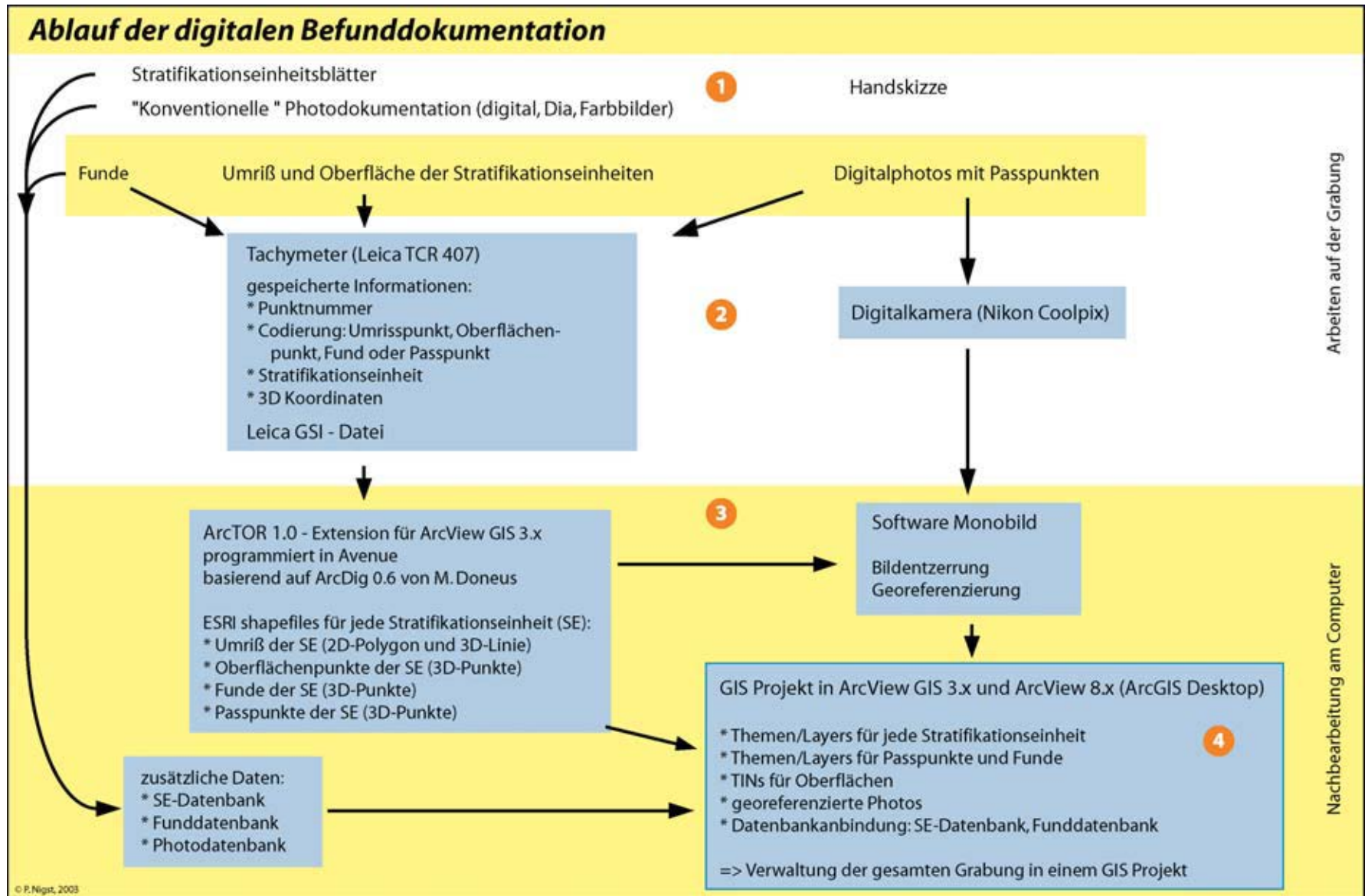


Abb. 25: Ablauf der digitalen Befunddokumentation

ziert werden. Diese dienen beim angewandten Dokumentationsprozeß einer detailreicheren Umzeichnung des Umrisses von Stratifikationseinheiten (SE) und der Umzeichnung auf Interfaces bzw. SE-Oberflächen liegender Funde. Auch können eventuell unklare Umrißverläufe von SE in einzelnen Bereichen der Photos mittels digitaler Bildverarbeitung (Kontrastverstärkung etc.) sichtbar gemacht werden. Während der Grabungskampagne II (2003) wurde für die Entzerrung die Software „Monobild“ verwendet; es wurde eine zweidimensionale Ebenenentzerrung angewandt, da diese den geforderten Genauigkeitsansprüchen bei weitem genügt. Es sei hier aber angemerkt, daß mit denselben Daten (3D-Paßpunkte und Digitalphotos) jederzeit eine 3D-Entzerrung vorgenommen werden kann.

Nächstes Ziel ist eine Einbindung der Grabungsdokumentation in ein Geographisches Informationssystem (GIS). Ein GIS besteht im Grunde aus der Hard- und Software und den georeferenzierten archäologischen Daten – im vorliegenden Fall alle Daten der Grabungsdokumentation. Es erlaubt alle möglichen Formen geographisch referenzierter Daten nicht nur anzuzeigen und auszugeben, sondern auch zu manipulieren, zu analysieren und zu speichern. Ein GIS ist somit ein analytisches Werkzeug. In einem GIS werden nicht nur graphische Daten (Vektor- und Pixelgraphik) gespeichert, sondern mit einer Datenbank, die auch nicht-räumliche Daten enthält, verknüpft. Außerdem können all diese Daten innerhalb des GIS ausgewertet und die Ergebnisse davon interpretiert werden. Die archäologische Interpretation läßt sich als Kartierung und Beschreibung innerhalb eines GIS realisieren²⁰³. Ein GIS bietet somit optimale Voraussetzungen für die räumliche Datenanalyse und es ist geplant, die gesamte Grabung in einem „ArcView“ GIS-Projekt zu verwalten.

Das kann auch über konventionelle „händische“ Grabungsdokumentation (bes. Zeichnungen) erreicht werden, jedoch fällt ein Teil des zeitintensiven Digitalisierens der Grabungszeichnungen weg. Weiters bietet die digitale Datenerfassung schnelle dreidimensionale Visualisierung der Rohdaten und damit neue „Einblicke“ in die dokumentierten SE-Zusammenhänge. Dies stellte sich als nützlich bei der Diskussion der Stratifikationseinheitszusammenhänge vor Ort als auch in der Aufarbeitungs- und Analysephase danach dar.

Ph. Nigst

Abkürzungsverzeichnis

- ABADIE-REYNAL, Céramique = Catherine ABADIE-REYNAL, Céramique et commerce dans le bassin égéen du IV au VII siècle, in: Hommes et richesses dans l'empire byzantin I: IVe – VIIe siècle. Paris 1989.
- AMARI, Storia = Michele AMARI, Storia dei Musulmani di Sicilia, I-III. Seconda edizione modificata e accresciuta dall'autore. Pubblicata con note a cura di C. A. Nallino. Catania 1933–1939.
- BEJOR, Insediamenti = Giorgio BEJOR, Gli insediamenti della Sicilia romana: distribuzione, tipologie e sviluppo da un primo inventario dei dati archeologici, in: GIARDINA, società 463–519.
- BIANCO, Monete = Fausto BIANCO, Due monete d'oro rinvenute a San Marco d'Alunzio (ME). *Jahrbuch der österreichischen Byzantinistik* 46 (1996) 157–162.

²⁰³ Für ein Anwendungsbeispiel an einer jungpaläolithischen Fundstelle in Österreich s. Philip R. NIGST – Thomas B. VIOLA – Michael DONEUS – Walpurga ANTL-WEISER, Digitale Dokumentation paläolithischer Grabungen. *Archäologie Österreichs* (im Druck).

- BIONDI, Documento inedito = Clara BIONDI, Mentalità e cultura materiale a San Marco d'Alunzio in un documento inedito del 1323. *Archivio storico per la Sicilia Orientale* 91 (1995) 255–286.
- BONACASA CARRA, Archeologia cristiana = Rosa Maria BONACASA CARRA, Quattro note di archeologia cristiana in Sicilia. Palermo 1992.
- BRESC, Economie = Henri BRESC, Un monde méditerranéen. *Économie et société en Sicile, 1300–1450*, I-II. Rome 1986.
- BURGARELLA, Bisanzio in Sicilia = Filippo BURGARELLA, Bisanzio in Sicilia e nell'Italia meridionale: i riflessi politici, in: A. GUILLOU – F. BURGARELLA, *L'Italia bizantina. Dall'esarcato di Ravenna al tema di Sicilia*. Torino 1988, 251–370.
- CECI – PATTERSON, Lucerne = Monica CECI, Note sulla circolazione delle lucerne a Roma nell'VIII secolo: i contesti della Crypta Balbi – Helen PATTERSON, Analisi petrologiche delle lucerne dell'VIII secolo dalla Crypta Balbi. *Archeologia Medievale* 19 (1992) 749–764.
- Céramique Médiévale en Méditerranée* = VIIe Congrès sur la Céramique Médiévale en Méditerranée, Thessalonique, 11–16 Octobre 1999. *Praktika/Actes*. Edités par Ch. BAKIRTZIS. Athen 2003.
- CHALANDON, Histoire = Henri CHALANDON, Histoire de la domination normande en Italie et en Sicile, I-II. Paris 1907 (Nachdruck New York 1960).
- Congresso Sicilia bizantina* = Atti del I congresso internazionale di archeologia della Sicilia bizantina (Corleone, 28 luglio – 2 agosto 1998). *Byzantino-Sicula IV* (2002), a cura di Rosa Maria BONACASA CARRA. Palermo 2002.
- CRACCO RUGGINI, Sicilia = Lella CRACCO RUGGINI, La Sicilia fra Roma e Bisanzio, in: *Storia di Sicilia*, III. Napoli 1980, 1–96.
- CUSA, Diplomi greci = Salvatore CUSA, I diplomi greci ed arabi di Sicilia, I/1–2. Palermo 1868/1884 (Nachdruck Köln–Wien 1982).
- DANNHEIMER, Grabfunde = Herrmann DANNHEIMER, Byzantinische Grabfunde aus Sizilien. Christliches Brauchtum im frühen Mittelalter (*Ausstellungskataloge der Prähistorischen Staatssammlung* 15). München 1989.
- DELOGU, Mondo antico = Paolo DELOGU, La fine del mondo antico e l'inizio del medioevo: nuovi dati per un vecchio problema, in: FRANCOVICH – NOYÉ 7–23.
- DISTILO – JACOB, Omelia = Rocco DISTILO – André JACOB, Un'omelia trilingue nel Crypt. Z. á VII. *Helikon* 29/30 (1989/1990) 409–431.
- ENNABLI, Lampes = Abdelmajid ENNABLI, Lampes chrétiennes de Tunisie (Musée du Bardo et de Carthage). Paris 1976.
- EPIFANIO, Valli = Vincenzo EPIFANIO, I valli della Sicilia nel Medio Evo e la loro importanza nella vita dello stato. Napoli 1938.
- EPSTEIN, Island = Stephan R. EPSTEIN, An island for itself. Economic development and social change in late medieval Sicily. New York 1992.
- FALKENHAUSEN VON, Archimandritato = Vera von FALKENHAUSEN, L'archimandritato del S. Salvatore in lingua phari di Messina e il monachesimo italo-greco nel regno normanno-svevo (secoli XI–XIII), in: *Il ritorno della memoria*. Palermo 1994, 41–56.
- FALKENHAUSEN VON, Presenza dei greci = Vera von FALKENHAUSEN, La presenza dei greci nella Sicilia normanna. L'apporto della documentazione archivistica in lingua greca, in: *Congresso sicilia bizantina* 31–72.
- FALKENHAUSEN VON, Regentschaft = Vera von FALKENHAUSEN, Zur Regentschaft der Gräfin Adelasia del Vasto in Kalabrien und Sizilien (1101–1112), in: *Aetos. Studies in honour of C. Mango*, ed. I. Sevckenko – I. Hutter. Stuttgart – Leipzig 1998, 87–115.
- FALKENHAUSEN VON, Testamente = Vera von FALKENHAUSEN, Die Testamente des Abtes Gregor von San Filippo di Fragalà, in: *Okeanos (= Harvard Ukrainian Studies 7)*. Cambridge/Mass. 1983, 174–195.
- FILANGERI, Agora = Camillo FILANGERI, Dall'agora al presbiterio. *Storia di architetture della Sicilia*. Palermo – Sao Paulo 1988.
- FILANGERI, Monasteri = Camillo FILANGERI, Monasteri basiliani di Sicilia. Messina 1980.
- FIORILLA, Territorio nisseno = Salvina FIORILLA, Il territorio nisseno in età bizantina: dati archeologici e riflessioni, in: *Congresso Sicilia bizantina* 243–273.
- FRANCOVICH – NOYÉ = Riccardo FRANCOVICH – Ghislaine NOYÉ (Hrsg.), *La storia dell'alto medioevo italiano (VI–X secolo) alla luce dell'archeologia*. Atti del convegno internazionale di Siena, 1992. Firenze 1994.
- GELICHI, Ceramica = Sauro GELICHI (Hrsg.), *La ceramica nel mondo bizantino tra XI e XV secolo e i suoi rapporti con l'Italia*. Firenze 1993.

- GIARDINA, Società = Andrea GIARDINA (Ed.), Società romana e impero tardoantico III: le merci, gli insediamenti. Roma-Bari 1986.
- GRIERSON – TRAVAINI = Philip GRIERSON – Lucia TRAVAINI, Medieval European Coinage, 14: Italy III (South Italy, Sicily, Sardinia). Cambridge 1998.
- GUILLOU, Sicile = André GUILLOU, La Sicile byzantine. Etat des recherches. *Byzantinische Forschungen* 5 (1977) 95–145.
- HAYES, Pottery = John W. HAYES, Late Roman Pottery. London 1971.
- HAYES, Saraçhane = John W. HAYES, Excavations at Saraçhane in İstanbul II: The pottery. Princeton 1992.
- HAYES, Supplement = John W. HAYES, A supplement to Late Roman Pottery. London 1980.
- ISINGS, Glass = Clasina ISINGS, Roman glass from dated finds. Groningen 1957.
- ISLER, Ietina = Hans-Peter ISLER, Byzantina Ietina. *Quaderni ticinesi di numismatica e antichità classiche* 29 (2000) 357–385.
- KISLINGER, Moneta = Ewald KISLINGER, Una moneta bizantina trovata nel “Conventazzo”. *Jahrbuch der österreichischen Byzantinistik* 41 (1991) 293–296.
- KISLINGER, Monumenti = Ewald KISLINGER, Monumenti e testimonianze greco-bizantine di San Marco d’Alunzio (ME). S. Agata Militello 1995.
- KISLINGER, Regionalgeschichte = Ewald KISLINGER, Regionalgeschichte als Quellenproblem. Die Chronik von Monembasia und das sizilianische Demenna. Eine historisch-topographische Studie (*Österr. Akad. Wiss., phil.-hist. Kl., Denkschriften* 294 = *Veröffent. der Komm. für die Tabula Imperii Byzantini* 8). Wien 2001.
- KISLINGER, Tarda testimonianza = Ewald KISLINGER, Una tarda testimonianza per la grecità nel territorio di San Marco d’Alunzio: il codice Vaticanus graecus 2032 (s. XVI), in: *Miscellanea Nebroidea (Contributi alla conoscenza del territorio dei Nebrodi III)*. S. Agata Militello 1999, 115–120.
- KISLINGER, Vandalen = Ewald KISLINGER, Zwischen Vandalen, Goten und Byzantinern: Sizilien im 5. und frühen 6. Jahrhundert, in: *Byzantina et Slavica Cracoviensia*. Cracow 1994, 31–51.
- MACKENSEN, El Mahrine = Michael MACKENSEN, Die spätantiken Sigillata- und Lampentöpfereien von El Mahrine (Nordtunesien). Studien zur nordafrikanischen Feinkeramik des 4. bis 7. Jahrhunderts. München 1993.
- MANNI, Geografia fisica = Eugenio MANNI, Geografia fisica e politica della Sicilia antica (*Supplementi a Kokalos* 4). Roma 1981.
- MAURICI, Castelli = Ferdinando MAURICI, Castelli medievali in Sicilia. Dai Bizantini ai Normanni (*La pietra vissuta* 5). Palermo 1992.
- MELI, San Marco = Antonino MELI, I storia antica e moderna della città di S. Marco. Ms. (sec. XVIII) della Biblioteca dell’Assemblea Regionale Siciliana. A cura di Oscar Bruno (*Biblioteca dell’Archivio Storico Messinese* II). Messina 1984.
- MOLINARI, Popolamento rurale = Alessandra MOLINARI, Il popolamento rurale in Sicilia tra V e XIII secolo: alcuni spunti di riflessione, in: FRANCOVICH – NOYÉ 361–377.
- NICHANIAN – PRIGENT = Mikael NICHANIAN – Vivien PRIGENT, Les stratèges de Sicile. De la naissance du thème au règne de Léon V. *Revue des Etudes Byzantines* 61 (2003) 97–141.
- ORSI = Paolo ORSI, Sicilia bizantina. Roma 1942.
- ORSI, Grotticelli = Paolo ORSI, Di una necropoli dei bassi tempi riconosciuta nella contrada “Grotticelli”. *Notizie degli Scavi* (1896) 334–356.
- PANVINI, Insediamenti = Rosalba PANVINI, Insediamenti bizantini nella Sicilia centro-meridionale, in: *Congresso Sicilia bizantina* 191–213.
- PACE, Barbari e Bizantini = Biagio PACE, Arte e civiltà della Sicilia antica, IV: Barbari e Bizantini. Roma-Napoli Città di Castello 1949.
- PAROLI, Ceramica invetriata = Lidia PAROLI, La ceramica invetriata tardoantica e altomedievale in Italia. Firenze 1992.
- PATTUCCI-UGGERI, Ceramica = Stella PATTUCCI-UGGERI, Il sepolcreto di Vittoria. Contributo alla conoscenza della ceramica del IX secolo in Sicilia. *Rivista di Archeologia Cristiana* 52 (1976) 115–156.
- RAVEGNANI, Bizantini = Giorgio RAVEGNANI, I Bizantini in Italia. Bologna 2004.
- RIEMER, Grabfunde = Ellen RIEMER, Romanische Grabfunde des 5.–8. Jahrhunderts in Italien (*Internationale Archäologie* 57). Rahden/Westf. 2000.
- Roma dall’antichità al medioevo* = Roma dall’antichità al medioevo. Archeologia e storia (Museo Nazionale Romano, Crypta Balbi). Roma 2001.
- SAGUI, Ceramica = Lucia SAGUI, Ceramica in Italia VI–VII secolo. Atti del convegno in onore di J. W. Hayes, Roma 1995. Firenze 1998.

- SCADUTO, Monachesimo = Mario SCADUTO, Il monachesimo basiliano nella Sicilia medievale. Rinascita e decadenza, sec. XI–XIV (*Storia e letteratura. Raccolta di studi e testi* 18). Roma ²1982.
- Sicilia centro-meridionale* = Rosa Maria BONACASA CARRA – Rosalba PANVINI (Ed.), La Sicilia centro-meridionale tra il II ed il VI sec. d. C. (Catalogo della mostra, Caltanissetta-Gela, aprile-dicembre 1997). Caltanissetta 2002.
- TALBI = Mohamed TALBI, L'émirat aghlabide, 184–196/800–909. Histoire politique. Paris 1966.
- VITALE, Metodi = Emma VITALE, Metodi e prospettive nella ricerca archeologica sulla Sicilia bizantina, in: *Congresso Sicilia bizantina* 147–159.
- WILSON, Sicily = Roger J. A. WILSON, Sicily under the Roman Empire. The Archaeology of a Roman Province, 36BC – AD 535. Warminster 1990.
- ZANINI, Archeologia = Enrico ZANINI, Introduzione all'archeologia bizantina. Roma 1994.

Verzeichnis der Textabbildungen und Tafeln

TEXTABBILDUNGEN

- Abb. 1: Lageplan der Grabungsschnitte 1–5 auf Basis der Prospektionsergebnisse
- Abb. 2: Grabungsarbeiten im Inneren des Kirchenschiffes (Schnitt 1+5)
- Abb. 3, 1–5: Umzeichnungen von Kasserole-Randfragmenten im Maßstab 1 : 2 aus Schnitt 2–4 (Zeichnungen: S. Metaxas; M. Frauenglas)
- Abb. 4, 1–9: Umzeichnungen von ARS- und LRC-Randfragmenten im Maßstab 1 : 2 aus Schnitt 2–4 (Zeichnungen: S. Metaxas)
- Abb. 5, 1–2: Umzeichnungen von Kalyx-Bodenfragmenten der Form Isings 111 im Maßstab 1 : 2 aus Schnitt 2–4 (Zeichnungen: S. Metaxas)
- Abb. 6: Lampe aus Castelvetro mit Diskusdekor (aus BONACASA CARRA, *Archeologia*, Abb. 5a)
- Abb. 7: Normannischer Follis von Roger II., geprägt zu Messina 1112–1130, Av und Rv
- Abb. 8: Freskenfragmente
- Abb. 9: Freskenfragmente
- Abb. 10: Bauphasen im Kirchenschnitt 1+5
- Abb. 11: Bodenziegel der Kirche in Originallage
- Abb. 12: Bauphasen von Einheit A (Schnitt 2–4)
- Abb. 13: Mauerinnenansichten von Raum III
- Abb. 14: Grundriß des Conventazzo
- Abb. 15: Orthophoto der Nordwestmauer
- Abb. 16: Orthophoto der Nordmauer
- Abb. 17: Orthophoto der Südwestmauer
- Abb. 18: Nische 7 mit Hackspuren und Freskenresten
- Abb. 19: Bauphasenplan der Nordwestmauer
- Abb. 20: Bauphasenplan der Nordmauer
- Abb. 21: Messung im Oktober 2001
- Abb. 22: Radargramm
- Abb. 23: Amplitudenflächenpläne
- Abb. 24: Digitales Geländemodell des aufgemessenen Areals und der näheren Umgebung
- 1 Faltplan: Conventazzo-Bauphasen – Abrollung der Innenrotunde

TAFELN

- Taf. 1, 1–2: Georadar, Tiefenschnittbilder 0,60–0,90 m, 0,90–1,20 m
- Taf. 2: Georadar, Archäologische Gesamtinterpretation aller Tiefenbereiche

-
- Taf. 3, 1: Schnitt 1, Kirchenapsis mit Anbau, Stand 2002
Taf. 3, 2: Schnitt 2–4, Einheit A, Stand 2003
Taf. 4, 1: Dachziegel/Schnitt 1+5
Taf. 4, 2: Neuzeitliches Keramikfragment/Schnitt 1+5
Taf. 5, 1: Neuzeitliche Maiolica-Schale/Schnitt 1+5
Taf. 5, 2: Spätmittelalterliche glasierte Keramik/Schnitt 2–4
Taf. 6, 1: ARS-Fragment mit Palmettenstempel/Schnitt 2–4
Taf. 6, 2: ARS-Fragment mit Waffel- und Kreisstempel/Schnitt 2–4
Taf. 7, 1: Bodenfragment mit Stiel eines Glaskalyx der Form Isings 111/
Schnitt 2–4
Taf. 7, 2: Schulterdekor einer ARS-Lampe/Schnitt 2–4
Taf. 8, 1: Schulterdekor einer ARS-Lampe/Schnitt 2–4
Taf. 8, 2: Henkel-, Boden-, Wand- und Diskusfragmente einer ARS-Lampe/
Schnitt 2–4
Taf. 9, 1: Verzierter Knochen/Schnitt 2–4
Taf. 9, 2: Ansicht des Conventazzo-Oktogons von Osten

Chronik und Mitarbeiter der Grabungskampagnen I (2002) und II (2003)

Grabungskonzession vom 19. Jänner 2001 der Regione Siciliana, Assessorato Beni Culturali e Ambientali, Soprintendenza BB.CC.AA, Sezione per i Beni Archeologici, Messina (Dr. Giovanna M. Bacci), erteilt für fünf Jahre vom Beginn der Arbeiten an, ergangen an Institut für Byzantinistik und Neogräzistik der Universität Wien, ao. Prof. Dr. Ewald Kislinger.

Grabungsort: Italien, Reg. Sizilien, Provinz Messina, Gemeinde Torrenova, Flur S. Pietro (Besitz Familie Vergara), Parzelle 261 FM 15. Grabungsaufsicht: Geom. C. Franchina, Sig. E. Niosi, Sig. F. Carmelo, alle Istruttori direttivi della Soprintendenza BB.CC.AA di Messina.

Projektteam-Unterkunft: „Case nuove“ (Anna Vergara Noto, Dr. Silvia Vergara Barbera), Torrenova, S. Pietro.

GRABUNGSKAMPAGNE I: 6.–31. MAI 2002

Vierwöchige Grabung, vorausgehend eine Woche technische Vorbereitung
Beteiligte (in alphabetischer Reihenfolge): Dipl.-Ing. Ingrid Adenstedt, Prof. Dr. Falko Daim (stv. Projektleiter), ao. Prof. Dr. Ewald Kislinger (Projektleiter), Mag. Monika Lantschner, Mag. Susanne Lochner (Fundbearbeitung), Silvia Müller, Mag. Iris Ott (Grabungsleitung), Thomas Pertlwieser, Nicole Pieper, Mag. Mihailo Popovic, Mag. Dr. Gabriele Scharrer, Mag. Alexander Sokolicek, Barbala Tomka, Carmen Zekaj.

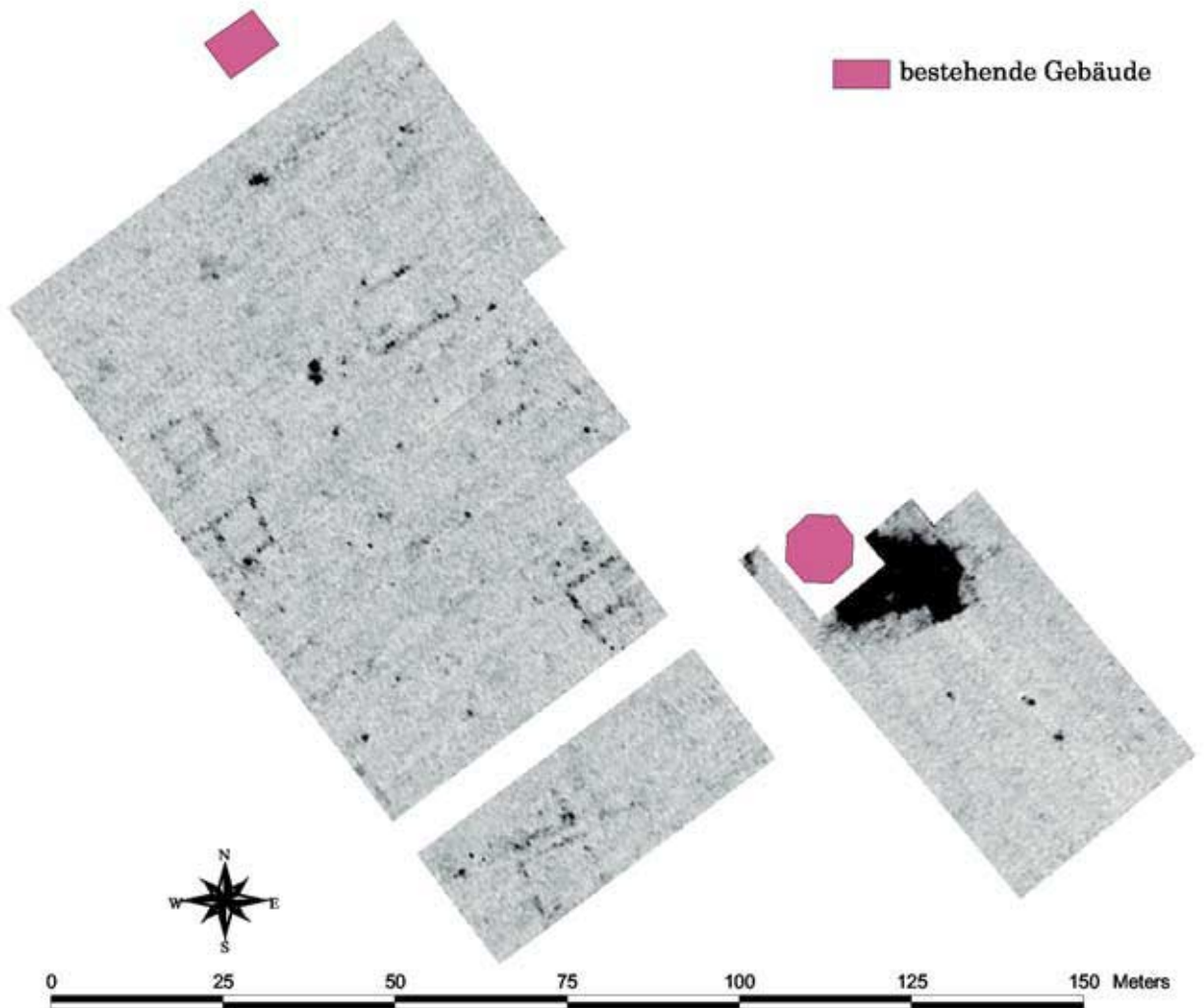
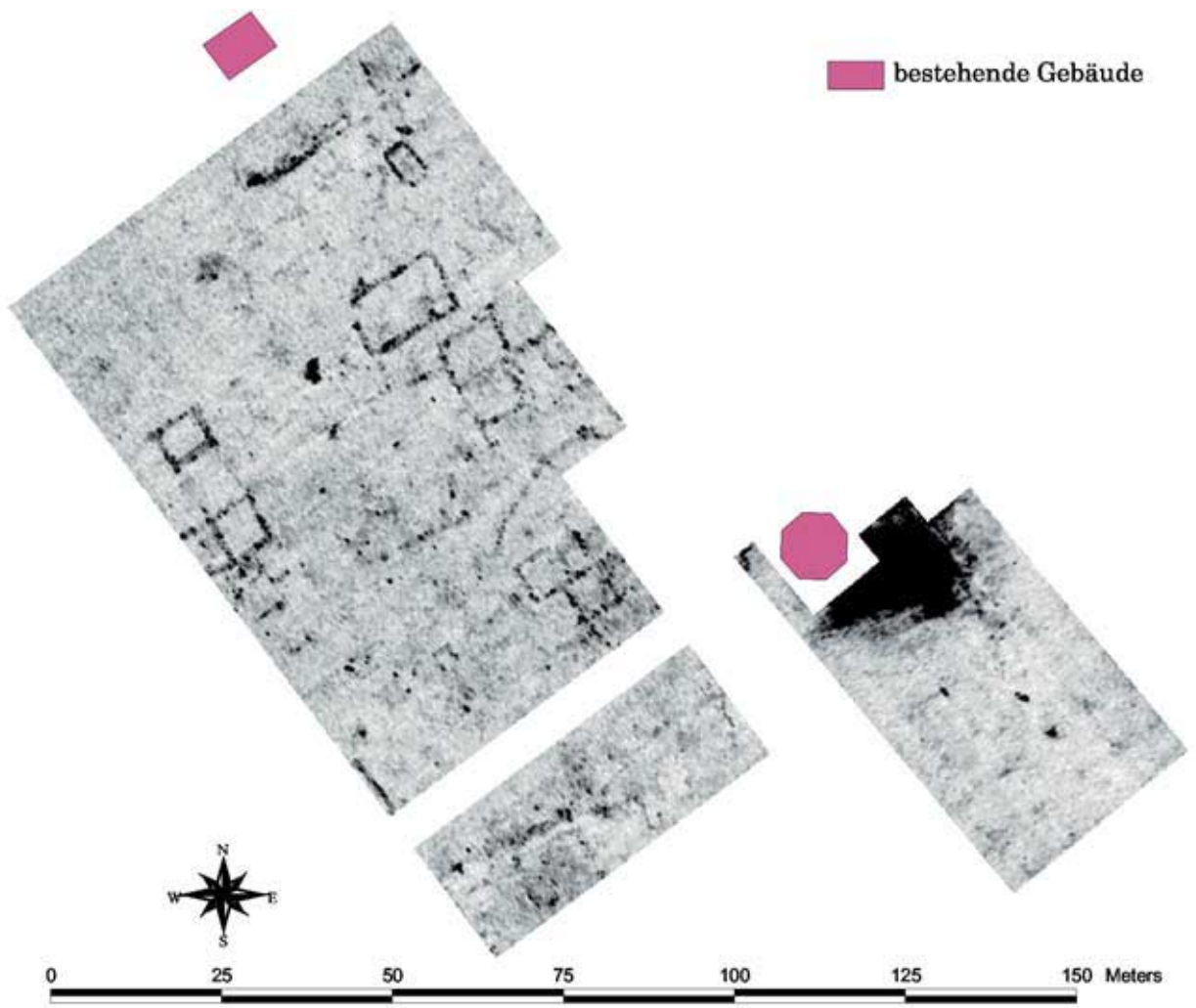
GRABUNGSKAMPAGNE II: 28. APRIL – 30. MAI 2003

Fünfwöchige Grabung

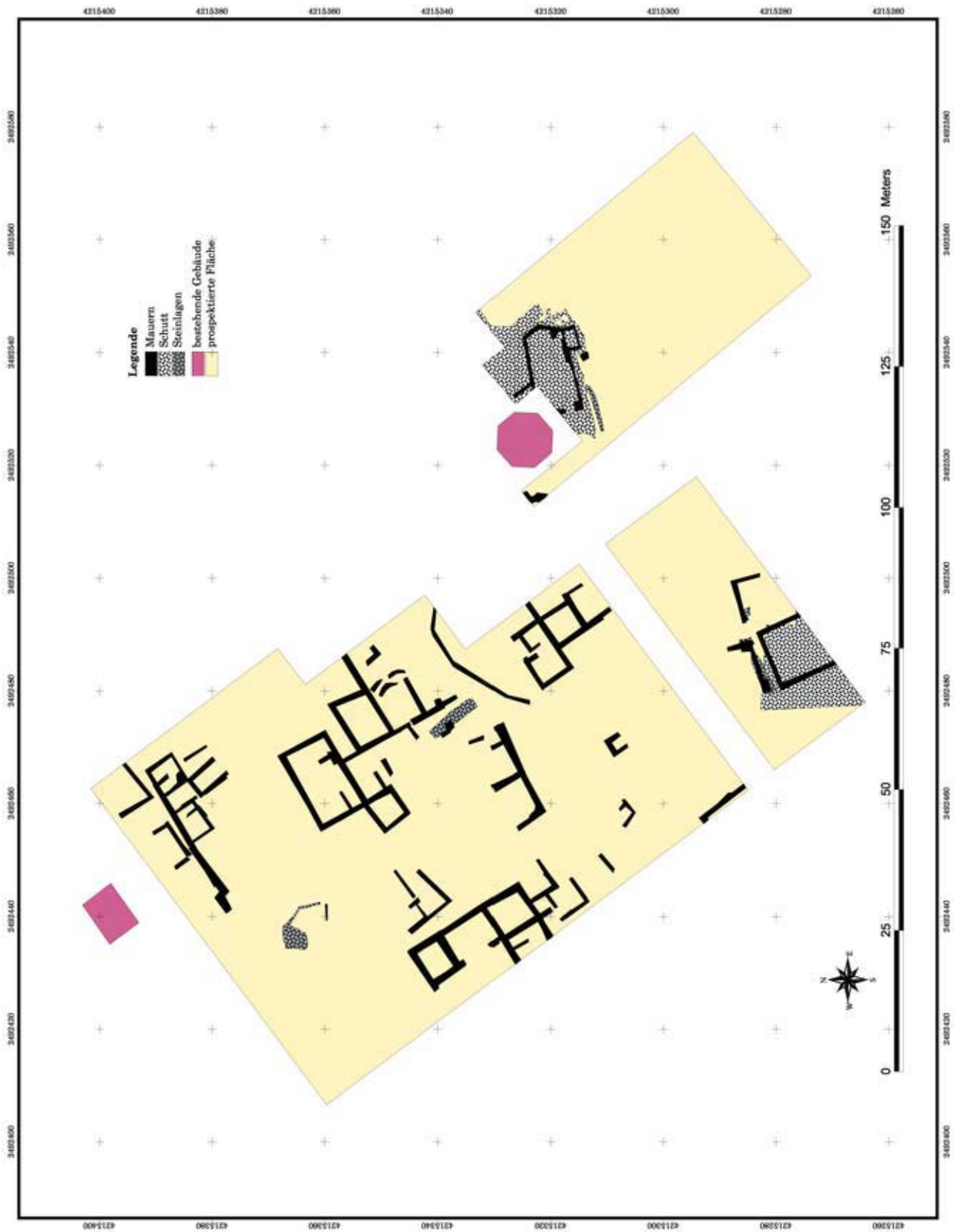
Beteiligte (in alphabetischer Reihenfolge): Prof. Dr. Helmut Buschhausen (stv. Projektleiter), Daniel Capek, Prof. Dr. Falko Daim (stv. Projektleiter), Mag. Nives Doneus, Mag. Marion Frauenglas, Lia Gudaitis, ao. Prof. Dr. Ewald Kislinger (Projektleiter), Barbara Mencarelli (Restauratorin), Mag. Susanne Metaxas-Lochner (Fundbearbeitung), Thomas Muhsil, Mag. Dr. Wolfgang Neubauer, Mag. Philipp Nigst, Mag. Iris Ott (Grabungsleitung), Thomas Pertlwieser, Mag. Mihailo Popovic, Mag. Sandra Sam, Georg Schilcher.

-
- An der **Georadar-Prospektion vom 21. bis 24. Oktober 2001** nahmen teil,
- a) seitens des Projektes: Prof. Dr. Falko Daim, ao. Prof. Dr. Ewald Kislinger, Mag. Iris Ott, Thomas Pertlwieser
 - b) als Mitglieder des durchführenden ZAMG/VIAS-Teams: Erol Bayirli, Mag. Dr. Wolfgang Neubauer, Dr. Sirri Seren, Djorde Stankovic. Die geophysikalische und archäologische Auswertung führten durch Dipl. Ing. Alois Eder-Hinterleitner, Dr. Sirri Seren bzw. Klaus Löcker, Mag. Dr. Wolfgang Neubauer.

Vorgelegt von w. M. JOHANNES KODER
in der Sitzung am 25. Juni 2004.



Taf. 1, 1-2: Georadar, Tiefenschnittbilder 0,60–0,90 m, 0,90–1,20 m



Taf. 2: Georadar, Archäologische Gesamtinterpretation aller Tiefenbereiche



Taf. 3, 1: Schnitt 1, Kirchenapsis mit Anbau, Stand 2002



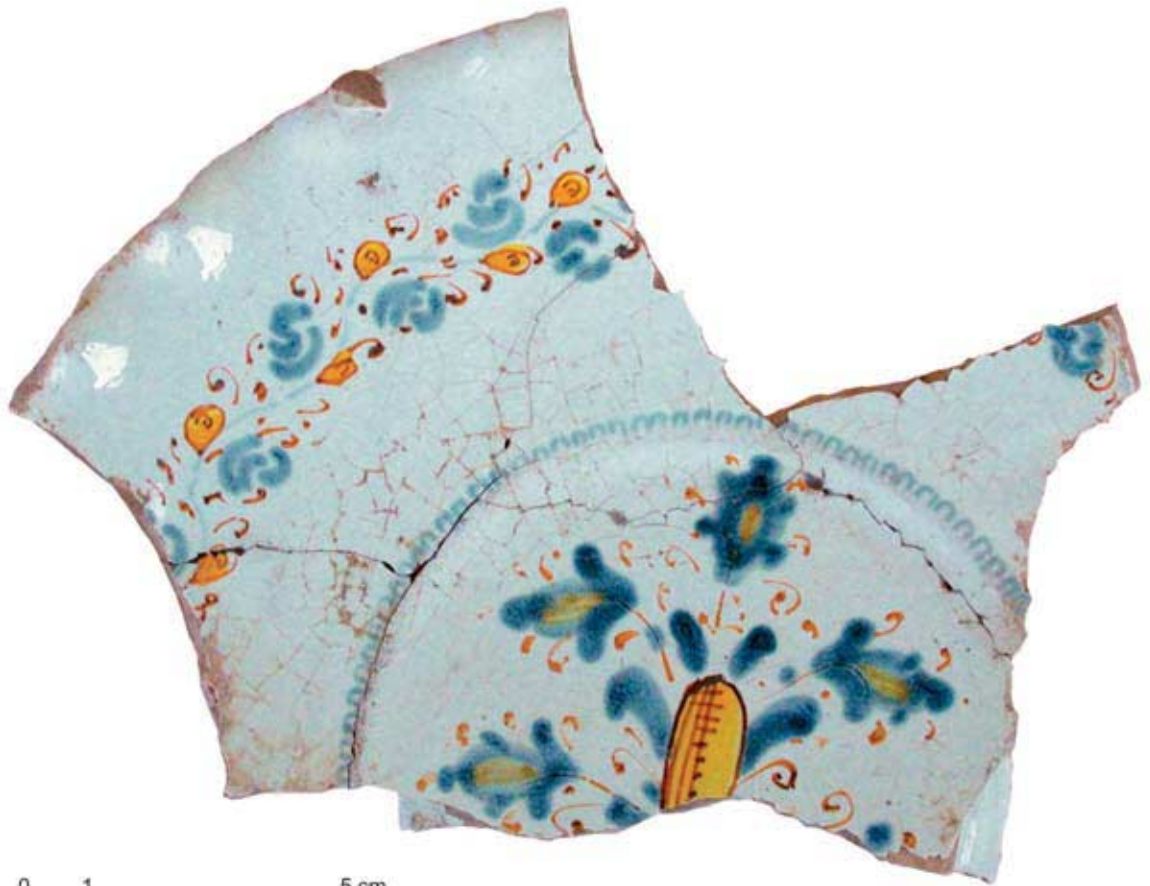
Taf. 3, 2: Schnitt 2-4, Einheit A, Stand 2003



Taf. 4, 1: Dachziegel/Schnitt 1+5



Taf. 4, 2: Neuzeitliches Keramikfragment/Schnitt 1+5



Taf. 5, 1: Neuzeitliche Maiolica-Schale/Schnitt 1+5



Taf. 5, 2: Spätmittelalterliche glasierte Keramik/Schnitt 2-4



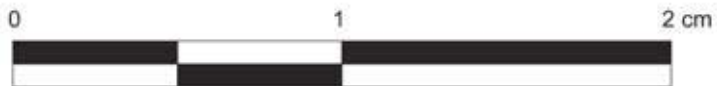
Taf. 6, 1: ARS-Fragment mit Palmettenstempel/Schnitt 2-4



Taf. 6, 2: ARS-Fragment mit Waffel- und Kreisstempel/Schnitt 2-4



Taf. 7, 1: Bodenfragment mit Stiel eines Glaskalyx der Form Isings 111/Schnitt 2-4



Taf. 7, 2: Schulterdekor einer ARS-Lampe/Schnitt 2-4



Taf. 8, 1: Schulterdekor einer ARS-Lampe/Schnitt 2-4



Taf. 8, 2: Henkel-, Boden-, Wand- und Diskusfragmente einer ARS-Lampe/Schnitt 2-4



Taf. 9, 1: Verzierter Knochen/Schnitt 2-4



Taf. 9, 2: Ansicht des Conventazzo-Oktogons von Osten